EMS Brüel & Kjær

ENAC ENSAYOS Nº 1311/LE2466

Los datos marcados con * no están amparados por la acreditación de ENAC

INFORME MENSUAL DE RUIDO

Aeropuerto Adolfo Suárez Madrid-Barajas

Noviembre 2018

Cliente: AENA SME, S.A.

Código ref. BK_9617_MAD_02A_11_2018_Vs1

Expediente: DPM 96/17

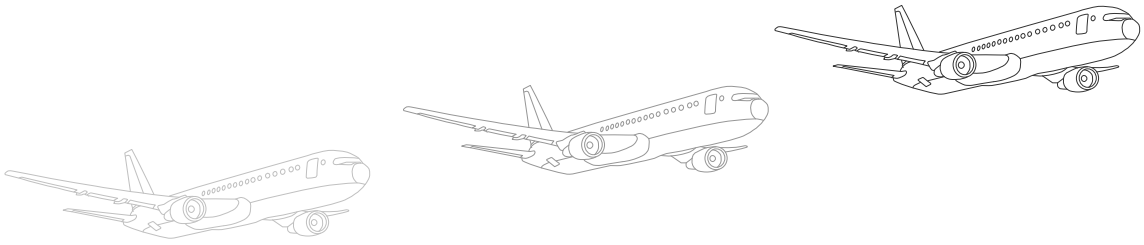

Realizado por:	*Revisado por:*
Yolanda Montalbán Castellanos Responsable de aeropuerto – Laboratorio B&K-M	Leopoldo Ballarín Marcos Director de Proyecto – Laboratorio B&K-M

Contacto

Laboratorio de Monitorado
EMS Brüel & Kjær Ibérica, S. A.
- **CIF: A-08349649**
- **Dirección: C/Telde, S. 28703 - San Sebastián de los Reyes**
- **Persona de contacto: Leopoldo Ballarín Marcos**
  Teléfono: +34 629110370
  E-mail: Leopoldo.Ballarin@emsbk.com

Aeropuerto Adolfo Suárez Madrid-Barajas
- **Localización: Terminal 2-Control C**
- **Persona de contacto: Yolanda Montalbán Castellanos**
  E-mail: Yolanda.montalban@emsbk.com

ÍNDICE

1 Introducción 4

2 Abreviaturas y definiciones 5

3 Informe ejecutivo 6

4 Resumen de configuración y usos de pista 9

5 Análisis de las emisiones acústicas[1] 14

5.1. TABLA SUCESOS CORRELACIONADOS POR TMR 17
5.2. SAN SEBASTIÁN DE LOS REYES 18
5.3. ALGETE 25
5.4. MADRID 32
5.5. PARACUELLOS DE JARAMA 36
5.6. ALCOBENDAS 41
5.7. FUENTE EL SAZ DE JARAMA 44
5.8. MEJORADA DEL CAMPO 47
5.9. SAN FERNANDO DE HENARES 51
5.10. COSLADA 54
5.11. TRES CANTOS 57
5.12. EL MOLAR 59
5.13. TORREJÓN DE ARDOZ 62

6 Análisis de dispersión vertical y horizontal de trayectorias 65

1 Introducción

El presente documento tiene por objeto el análisis mensual de:

- Información relativa a las configuraciones de operaciones aeronáuticas y usos de pistas.
- Mediciones acústicas de los últimos 13 meses, con la discriminación del ruido atribuible a las operaciones aeronáuticas en las zonas urbanas próximas al Aeropuerto, obtenidas a partir del "Sistema de Monitorado de Ruido y Sendas de Vuelo del Aeropuerto Adolfo Suárez Madrid-Barajas" (SIRMA).
- Dispersión vertical y horizontal de trayectorias en los municipios del entorno aeroportuario, obtenido a partir del "Sistema de Monitorado de Ruido y Sendas de Vuelo del Aeropuerto Adolfo Suárez Madrid-Barajas" (SIRMA).

2 Abreviaturas y definiciones

ARP. Punto de referencia del aeropuerto. Punto cuya situación geográfica designa al aeródromo.

PRNAV. Navegación de Área de Precisión. Método de navegación que permite la operación de aeronaves en cualquier trayectoria de vuelo deseada, dentro de la cobertura de las ayudas para la navegación referidas a la estación, o dentro de los límites de las posibilidades de las ayudas autónomas, o de una combinación de ambas.

SID. Salida Normalizada por Instrumentos. Ruta de salida designada según reglas de vuelo por instrumentos (IFR) que une el aeródromo, o una determinada pista del aeródromo, con un determinado punto significativo, normalmente en una ruta ATS, en el cual comienza la fase en ruta de un vuelo.

TMR. Terminal de Monitorado de Ruido.

Índices acústicos

L_{Aeq}. Nivel Continuo Equivalente con ponderación A, representa el nivel sonoro que manteniéndose constante durante el tiempo de medida tiene el mismo contenido energético que el nivel variable observado.

L_{Aeq} Total. Nivel Continuo Equivalente con ponderación A generado por todas las fuentes de ruido para un TMR y durante un período de evaluación.

L_{Aeq} Avión. Nivel Continuo Equivalente con ponderación A que se habría generado si no hubiera existido más ruido que el producido por los aviones durante el período de evaluación.

Índices conforme RD 1367/2007

L_{Aeq} Día. Nivel de presión sonora continuo equivalente ponderado A, determinado en el período de 12 horas, comprendido entre las 07:00 y 19:00 horas (hora local).

L_{Aeq} Tarde. Nivel de presión sonora continuo equivalente ponderado A, determinado en el período de 4 horas, comprendido entre las 19:00 y 23:00 horas (hora local).

L_{Aeq} Noche. Nivel de presión sonora continuo equivalente ponderado A, determinado en el período de 8 horas, comprendido entre las 23:00 y 07:00 horas (hora local) y asignado al día al que pertenece la hora 23:00 h.

3 Informe ejecutivo

Operatividad

Durante el pasado mes de noviembre el aeropuerto operó 184,1 horas en configuración sur, un 25,6% del tiempo total. Se realizaron un 27,4% de operaciones bajo condiciones de configuración sur, respecto al total de operaciones realizadas. El porcentaje acumulado de horas en configuración sur en noviembre de 2018 ha sido de un 21,3%.

Se realiza un análisis por cabeceras, tanto en período diurno como nocturno y para las dos operativas del aeropuerto; es decir, configuración norte y configuración sur. En lo que se refiere a las operaciones nocturnas, y debido a las labores contempladas en el Programa Anual de Mantenimiento de las pistas, así como a otras actuaciones puntuales en las mismas por motivos de seguridad, se pueden registrar algunas operaciones por las cabeceras 18R y 32L, que quedan reflejadas en el apartado “Incidencias” de este informe ejecutivo.

Mediciones acústicas

Las variaciones más significativas se producen en aquellos terminales donde el cambio de configuración, el cierre de pistas por mantenimiento, fiestas o eventos puntuales en las inmediaciones del micrófono, así como fenómenos meteorológicos (viento, lluvia...) generan una desviación significativa respecto a los resultados de las mediciones que habitualmente se registran.

En las gráficas correspondientes a cada TMR no se observan cambios significativos con respecto al mes anterior; salvo en los TMR que se ven afectados por las operaciones aeronáuticas en configuración sur, al haberse registrado esta circunstancia un 25,6% frente al 13,4% del mes anterior.

El TMR20 está pendiente del cambio a una nueva ubicación.

Incidencias

Los cierres de pistas por mantenimiento programado y otros motivos (causas meteorológicas, reparaciones, baja visibilidad,…) durante este mes están indicados en la tabla siguiente. Estas incidencias fueron comunicadas a los Ayuntamientos con antelación, en caso de suponer afección a los mismos.

A partir del mes de febrero de 2018, los planos verticales de estudio sobre los municipios (puertas) muestran datos de altitud.

DÍAS	PERIODO CIERRE	PISTAS
04-05/11/18	23h00-07h00	14R/32L
05-06/11/18		
06-07/11/18		
07/11/2018	17h00-18h00	14L/32R
07-08/11/18	23h00-07h00	14R/32L
11/11/2018	01h30-03h00	14L/32R
11-12/11/18	23h00-07h00	18L/36R
		14R/32L
12-13/11/18	23h00-06h00	14L/32R
13/11/2018	02h00-04h00	18R/36L
13-14/11/18	23h00-07h00	18L/36R
		14R/32L
14-15/11/18	23h00-07h00	14R/32L
15-16/11/18	23h00-07h00	18L/36R
16/11/2018	00h00-06h00	14L/32R
16-17/11/18	23h00-07h00	14R/32L
18-19/11/18		
19-20/11/18		
20-21/11/18		
21-22/11/18		
22/11/2018	15h00-18h00	14L/32R
22-23/11/18	23h00-07h00	18R/36L
		14R/32L
23/11/2018	15h20-17h40	14L/32R
23-24/11/18	23h00-07h00	14R/32L
25/11/2018	00h00-02h30	14L/32R
25-26/11/18	23h00-07h00	14R/32L
26/11/2018	15h20-18h00	14L/32R
26-27/11/18	23h00-07h00	14R/32L
27/11/2018	15h30-18h00	14L/32R
27-28/11/18	23h00-07h00	18L/36R
		14R/32L
28/11/2018	15h30-17h40	14L/32R
28-29/11/18	23h00-07h00	14R/32L
29/11/2018	15h35-17h40	14L/32R

29-30/11/18	23h00-07h00	18R/36L
		14R/32L
30/11/2018	15h00-17h40	14L/32R
30-01/12/18	23h00-07h00	14R/32L

4 Resumen de configuración y usos de pista

Dado que el L_{Aeq} Avión registrado en cada TMR depende de las trayectorias y configuraciones de usos de pista, resulta conveniente realizar un análisis de la distribución de los movimientos de aeronaves con origen o destino en el Aeropuerto Adolfo Suárez Madrid-Barajas.

Esquema de las pistas del Aeropuerto Adolfo Suárez Madrid-Barajas:

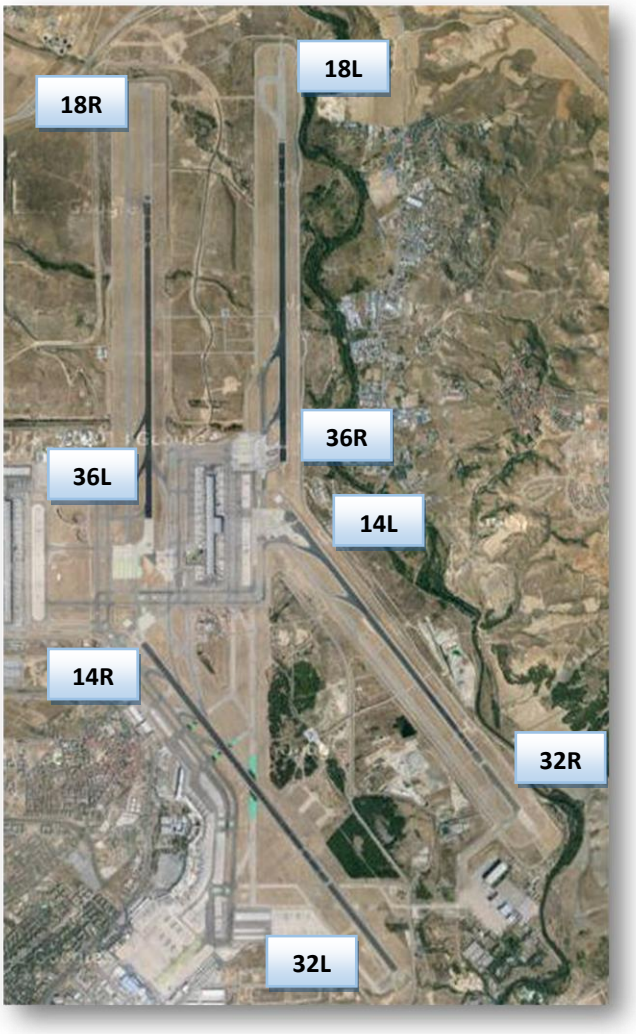

La siguiente tabla muestra las pistas preferentes por configuración y periodo:

CONFIGURACIÓN	NORTE			SUR		
PERIODO	DIA		NOCHE	DIA		NOCHE
Pista DEP	36L	36R	36L	14L	14R	14L
Pista ARR	32L	32R	32R	18L	18R	18L

Estadística del número de operaciones

Desde la perspectiva de la estadística del número de movimientos aeronáuticos (un movimiento equivale a un aterrizaje o a un despegue) por cada tipo de configuración, se manejan los siguientes datos:

NOVIEMBRE 2018	36L	36R	32L	32R	14L	14R	18L	18R	Movimientos Totales
Movimientos día	4.715	6.244	6.742	4.041	2.459	1.835	2.501	1.633	33.009
Movimientos noche	916	57	77	1.168	274	1	337	9	
	Conf. Norte %	72,6			Conf. Sur %	27,4			

A continuación, se muestra la evolución de los últimos 12 meses en número de movimientos según la configuración:

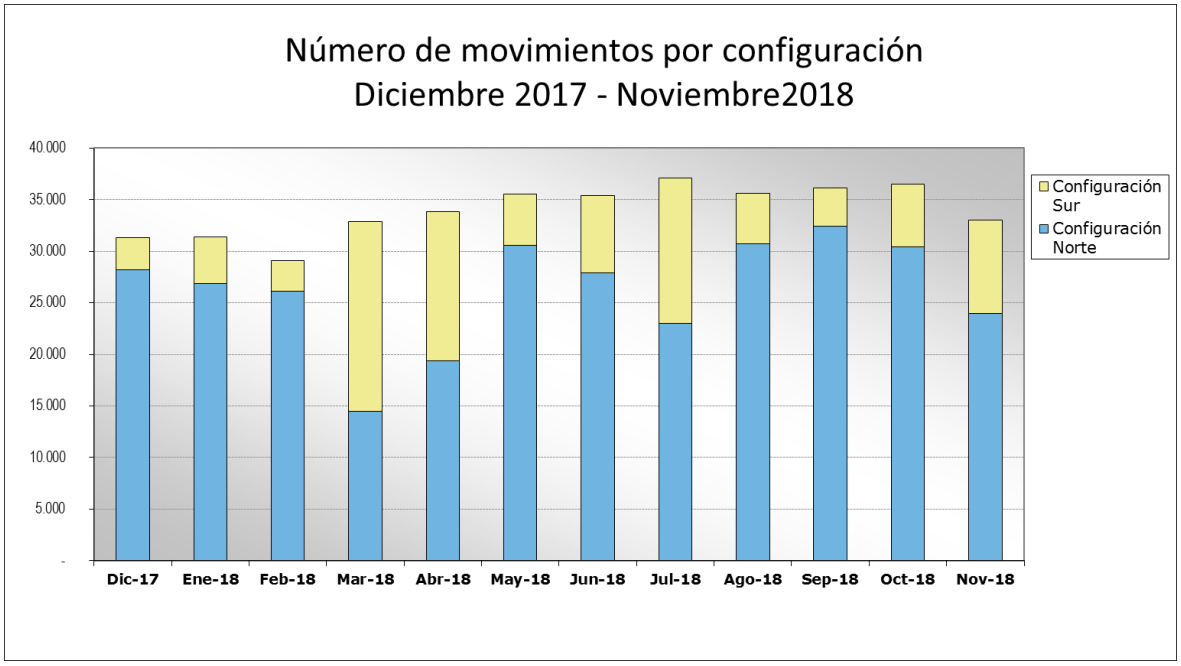

En configuración norte, configuración preferente en el aeropuerto y la más utilizada en el mes de noviembre del 2018 (despegues 36L/36R y aterrizajes 32L/32R), se han registrado un total de 23.960 operaciones (72,6%). Porcentaje menor que el registrado en el mes de octubre (83,3%).

Se puede observar como el número de aterrizajes en el mes de noviembre por la pista 32L (6.742) es mayor que por la pista 32R (4.041) en periodo diurno. En configuración sur y en este periodo, también se aprecia un número mayor de aterrizajes por la pista 18L (2.501) que por la pista 18R (1.633).

En periodo nocturno, la pista 32R sigue siendo la pista preferente en aterrizajes nocturnos durante el mes de noviembre, operando un total de 1.168 aeronaves frente a las 77 operadas por la pista 32L, las cuales corresponden a los cierres programados de pista. La pista 18L es la pista preferente en configuración sur, registrándose 337 operaciones por ella, frente a los 9 aterrizajes registrado por la pista 18R.

El número de despegues por la pista 36R es de 6.244 en periodo diurno, frente a las 4.715 operados por la pista 36L. En periodo nocturno, la pista 36L (pista preferente) registra un mayor número de despegues (916) que la pista 36R (57).

En configuración sur y periodo diurno, 2.459 despegues operan por la pista 14L y 1.835 operan por la pista 14R. En periodo nocturno, se registran 274 operaciones por la pista 14L y una operación por la pista 14R.

En la siguiente gráfica se muestra el porcentaje acumulado del nº de horas en Configuración Sur (comparativa de los últimos cinco años):

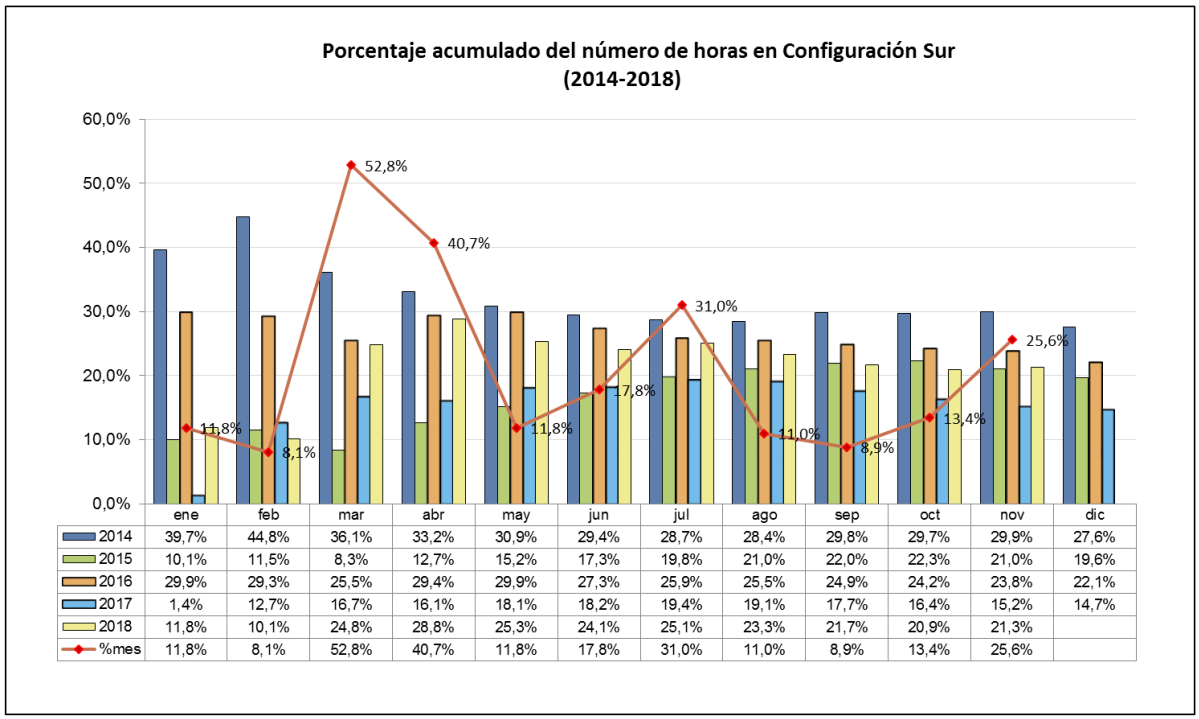

	ene	feb	mar	abr	may	jun	jul	ago	sep	oct	nov	dic
2014	39,7%	44,8%	36,1%	33,2%	30,9%	29,4%	28,7%	28,4%	29,8%	29,7%	29,9%	27,6%
2015	10,1%	11,5%	8,3%	12,7%	15,2%	17,3%	19,8%	21,0%	22,0%	22,3%	21,0%	19,6%
2016	29,9%	29,3%	25,5%	29,4%	29,9%	27,3%	25,9%	25,5%	24,9%	24,2%	23,8%	22,1%
2017	1,4%	12,7%	16,7%	16,1%	18,1%	18,2%	19,4%	19,1%	17,7%	16,4%	15,2%	14,7%
2018	11,8%	10,1%	24,8%	28,8%	25,3%	24,1%	25,1%	23,3%	21,7%	20,9%	21,3%	
%mes	11,8%	8,1%	52,8%	40,7%	11,8%	17,8%	31,0%	11,0%	8,9%	13,4%	25,6%	

Gráfica con el número de horas mensuales diurnas y nocturnas en configuración sur (de enero 2017 a diciembre 2018):

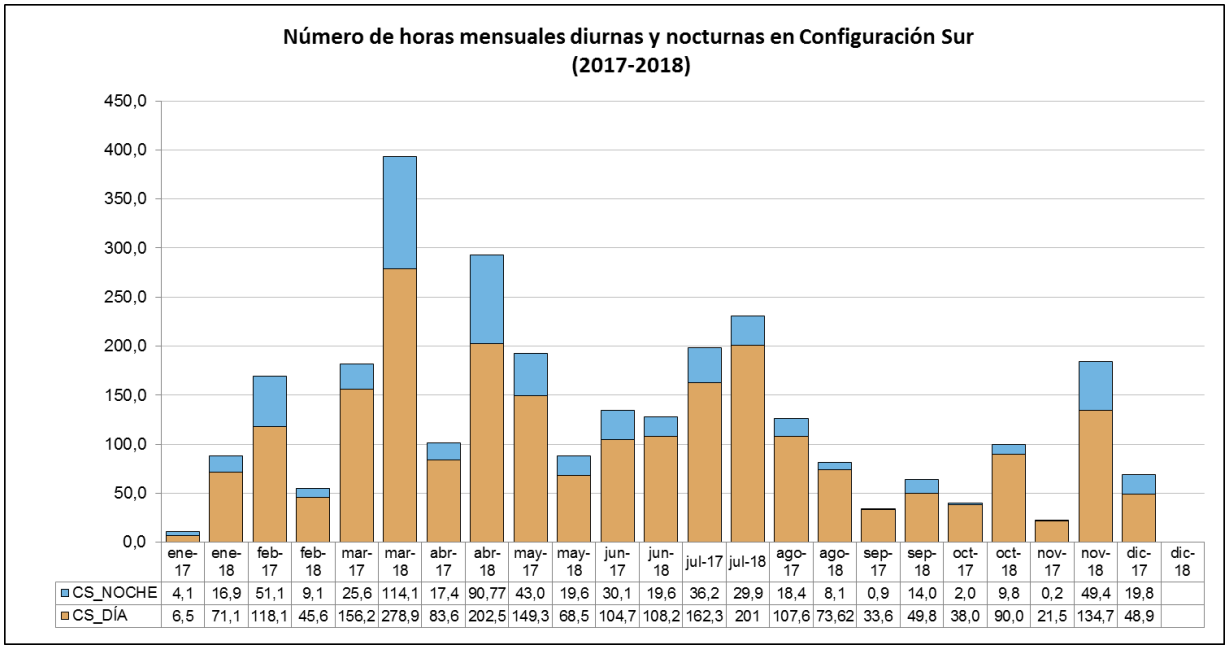

	ene-17	ene-18	feb-17	feb-18	mar-17	mar-18	abr-17	abr-18	may-17	may-18	jun-17	jun-18	jul-17	jul-18	ago-17	ago-18	sep-17	sep-18	oct-17	oct-18	nov-17	nov-18	dic-17	dic-18
CS_NOCHE	4,1	16,9	51,1	9,1	25,6	114,1	17,4	90,77	43,0	19,6	30,1	19,6	36,2	29,9	18,4	8,1	0,9	14,0	2,0	9,8	0,2	49,4	19,8	
CS_DÍA	6,5	71,1	118,1	45,6	156,2	278,9	83,6	202,5	149,3	68,5	104,7	108,2	162,3	201	107,6	73,62	33,6	49,8	38,0	90,0	21,5	134,7	48,9	

Respecto a la Configuración Sur, se pueden citar los siguientes aspectos:

- El porcentaje acumulado de horas en configuración sur en noviembre de 2018 ha sido de un 21,3%. Este porcentaje es mayor frente al valor del mismo mes en 2017 que fue del 15,2%.
- Durante el pasado mes de noviembre el aeropuerto operó un 25,6% del tiempo total en configuración sur.
- En noviembre el aeropuerto operó 184,1 horas en configuración sur frente a las 99,78 horas de octubre.

5 Análisis de las emisiones acústicas[1]

El SIRMA cuenta con un total de 22 TMR públicos en los distintos municipios del entorno aeroportuario, y a continuación se detallan los datos obtenidos en cada uno de los TMR.

Localización de los TMR:

- TMR-1: La Moraleja.
- TMR-2: Algete.
- TMR-3: Dehesa Vieja.
- TMR-4: Fuente del Fresno.
- TMR-5: Urbanización Santo Domingo Sur.
- TMR-6: Fuente el Saz.
- TMR-7: Paracuellos del Jarama.
- TMR-8: Mejorada del Campo.
- TMR-9: Belvís de Jarama.
- TMR-10: San Fernando de Henares.
- TMR-11: Coslada (Estación).
- TMR-12: Alameda de Osuna.
- TMR-13: Barajas.
- TMR-16: Tres Cantos.
- TMR-18: El Molar.
- TMR-20: Torrejón.
- TMR-21: Ciudad Santo Domingo Norte.
- TMR-23: Los Berrocales.
- TMR-24: Ciudalcampo.
- TMR-25 Urb: Prado Norte
- TMR-26 Urb: Club de Campo.
- TMR-27 Urb: La Granjilla.

1 Datos amparados por la acreditación de ENAC

Cabe destacar los siguientes aspectos:

- La metodología seguida para la realización de las medidas de ruido y el procesado de datos que permiten obtener los resultados reflejados en este informe es acorde a la ISO 20906:2009 y el RD 1367/2007.
- La incertidumbre expandida de medida se ha obtenido multiplicando la incertidumbre típica de medición por el factor de cobertura k=2 que, para una distribución normal, corresponde a una probabilidad de cobertura de aproximadamente el 95%. Dicha incertidumbre ha sido calculada para cada uno de los TMR y se encuentra a disposición del cliente para su consulta.
- Toda instrumentación utilizada para la realización de las medidas, incluyendo micrófonos, pantallas antiviento y cableados, cumple los requisitos establecidos para instrumentos de Clase 1 según se específica en la IEC 61672-1:2013.
- La disponibilidad de datos de trayectorias (radar) y datos de ruido (TMR) puede no ser del 100%, debido a problemas técnicos, trabajos de mantenimiento, tareas de verificación metrológica legal, etc.
- En cumplimiento del Real Decreto 1367/2007 que desarrolla la Ley del Ruido 37/2003, los cálculos realizados para los valores mensuales del L_{Aeq}_total y L_{Aeq}_avión se dan como índices de ruido continúo equivalente para los periodos día, tarde y noche.
- Los cálculos de los niveles sonoros equivalentes (L_{Aeq}) para cada periodo de integración (acumulado mensual) se basan en los datos diarios para los periodos día, tarde y noche. Los datos diarios de los diferentes periodos se publican en la Web de Aena: www.aena.es en el apartado de Mediciones acústicas del Aeropuerto Adolfo Suárez Madrid-Barajas.
- En este apartado se presentan las gráficas de cada uno de los TMR fijos situados en el entorno aeroportuario, con la evolución mensual de los niveles del L_{Aeq}_total y L_{Aeq}_avión día, tarde y noche desde noviembre de 2017 hasta noviembre de 2018 agrupados por municipio, y que se corresponden con las siguientes localizaciones.

Municipio	TMR	LOCALIZACIÓN
San Sebastián de los Reyes	3	Dehesa Vieja
	4	Fuente del Fresno
	24	Ciudalcampo
	26	Club de Campo
	27	La Granjilla

Algete	2	Algete
	5	Urbanización Santo Domingo Sur
	21	Urbanización Santo domingo Norte
	25	Prado Norte
Madrid	12	Alameda de Osuna
	13	Barajas (CM Acuario)
Paracuellos de Jarama	7	Paracuellos
	9	Belvis
	23	Los Berrocales
Alcobendas	1	La Moraleja
Fuente el Saz de Jarama	6	Fuente el Saz
Mejorada del Campo	8	Mejorada
San Fernando de Henares	10	San Fernando
Coslada	11	Coslada
Tres Cantos	16	Tres Cantos
El Molar	18	El Molar
Torrejón de Ardoz	20	Torrejón

5.1. TABLA SUCESOS CORRELACIONADOS POR TMR

El número de sucesos correlacionados se corresponde con el número de eventos acústicos que el TMR ha asociado a operaciones aeronáuticas y, por tanto, el utilizado para el cálculo del L_{Aeq} Avión mensual. En la siguiente tabla se resume el número de eventos correlacionados en cada TMR en este mes.

TMR	SUCESOS CORRELACIONADOS NOVIEMBRE 2018			
	Total	Día	Tarde	Noche
1	586	243	61	282
2	5819	4290	1427	102
3	3696	2762	753	181
4	5388	3574	1060	754
5	3582	2076	527	979
6	6703	4454	1441	808
7	8455	5983	1801	671
8	8630	6057	2136	437
9	11649	7893	2529	1227
10	9473	6847	2355	271
11	9113	6583	2261	269
12	56	42	12	2
13	2762	1714	716	332
16	305	238	66	1
18	1934	1358	311	265
20 [1]		501	89	363
21	4627	2763	852	1012
23	2894	1840	483	571
24	4007	3074	932	1
25	9298	6162	1935	1201
26	6535	4706	968	861
27	5147	3711	1041	395

1 Pendiente del cambio a una nueva ubicación.

5.2. SAN SEBASTIÁN DE LOS REYES

En el análisis se ha tenido en cuenta la ubicación de los TMR con respecto a las rutas nominales más cercanas, así como la afección acústica en las distintas configuraciones y su distancia al aeropuerto.

El ruido medido en los TMR3 Dehesa Vieja, TMR4 Fuente el Fresno, TMR24 Ciudalcampo, TMR26 Club de Campo y TMR27 La Granjilla durante el periodo diurno y en Configuración Norte, proviene principalmente por las operaciones de las rutas conocidas como Oeste Corta y Oeste Larga. En periodo nocturno, las rutas discurren alejadas de la mayoría de los TMR del municipio, salvo el TMR26 que se encuentra cercano a éstas.

En Configuración Sur, los TMR4 y TMR26 son que se encuentran más cerca de la ruta de aproximación de los aterrizajes de la pista 18R en periodo diurno. Durante la noche, ninguno de los TMR presenta afección acústica de los aterrizajes al operar estos por la pista 18L.

El mapa incluido a continuación muestra las ubicaciones de los TMR respecto al aeropuerto y las rutas nominales tanto de despegues como aterrizajes, más cercanas al municipio:

Rutas día Configuración Norte

Rutas noche Configuración Norte

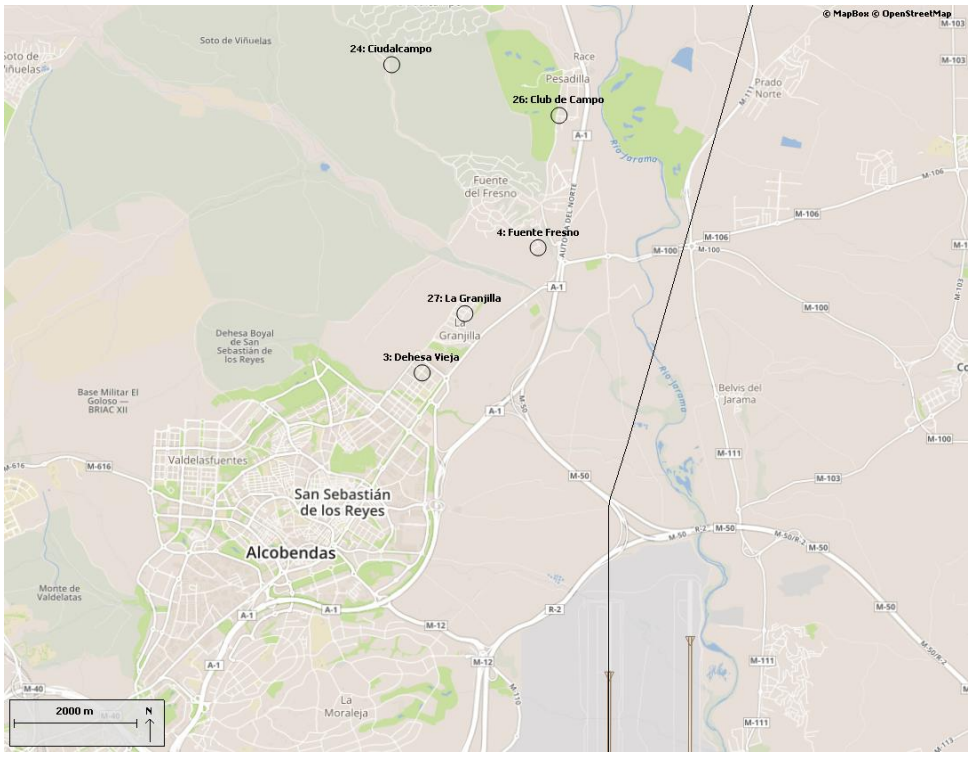

Rutas día Configuración Sur.

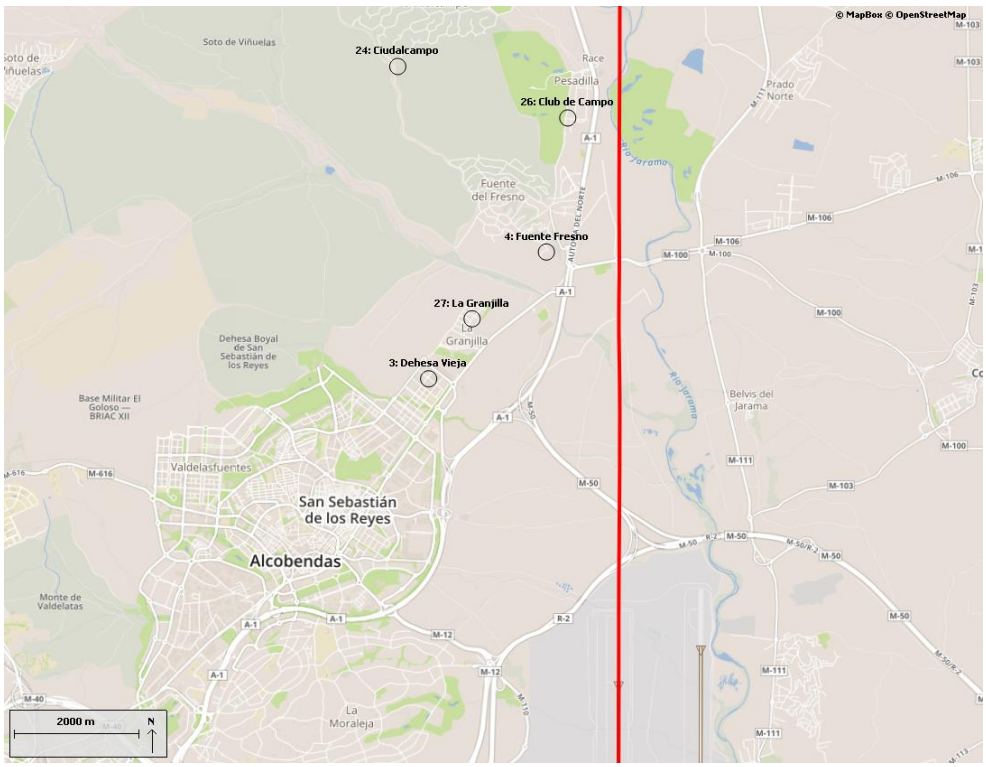

TMR-3. Dehesa vieja

De los cinco terminales de ruido instalados en San Sebastián de los Reyes, el TMR3 es el más cercano al centro urbano. Se encuentra instalado en el barrio de Dehesa Vieja.

DÍA

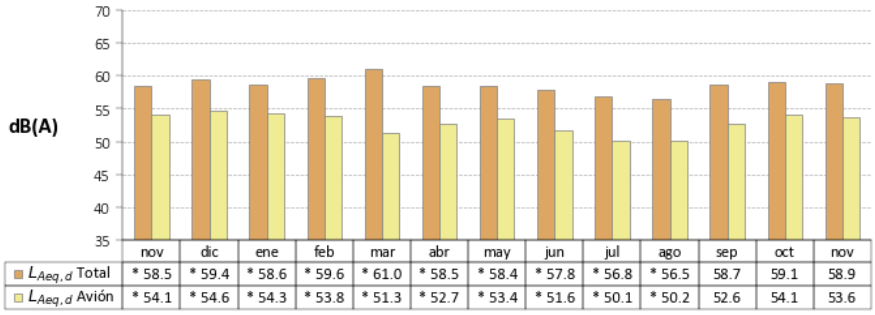

	nov	dic	ene	feb	mar	abr	may	jun	jul	ago	sep	oct	nov
$L_{Aeq,d}$ Total	* 58.5	* 59.4	* 58.6	* 59.6	* 61.0	* 58.5	* 58.4	* 57.8	* 56.8	* 56.5	58.7	59.1	58.9
$L_{Aeq,d}$ Avión	* 54.1	* 54.6	* 54.3	* 53.8	* 51.3	* 52.7	* 53.4	* 51.6	* 50.1	* 50.2	52.6	54.1	53.6

TARDE

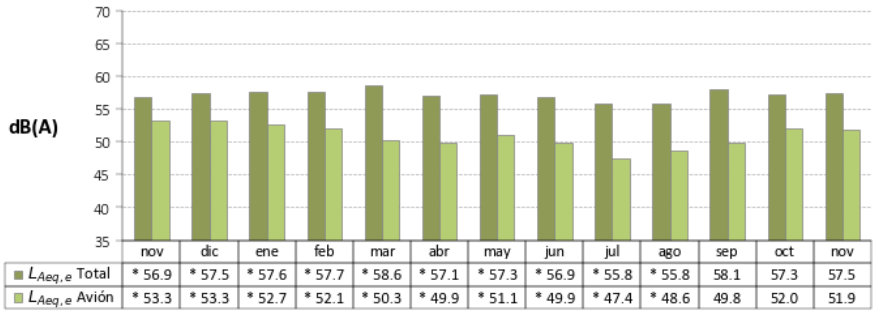

	nov	dic	ene	feb	mar	abr	may	jun	jul	ago	sep	oct	nov
$L_{Aeq,e}$ Total	* 56.9	* 57.5	* 57.6	* 57.7	* 58.6	* 57.1	* 57.3	* 56.9	* 55.8	* 55.8	58.1	57.3	57.5
$L_{Aeq,e}$ Avión	* 53.3	* 53.3	* 52.7	* 52.1	* 50.3	* 49.9	* 51.1	* 49.9	* 47.4	* 48.6	49.8	52.0	51.9

NOCHE

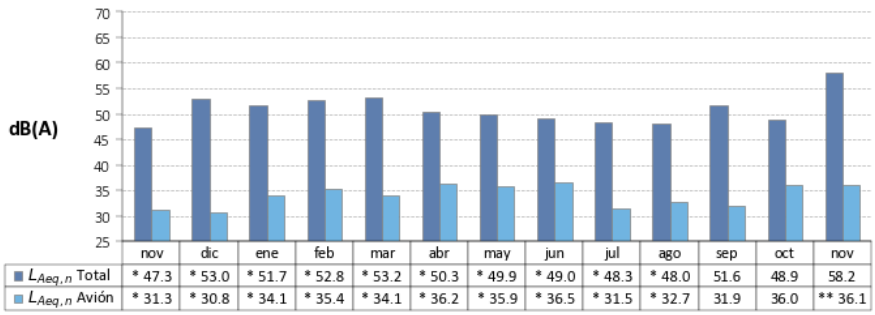

	nov	dic	ene	feb	mar	abr	may	jun	jul	ago	sep	oct	nov
$L_{Aeq,n}$ Total	* 47.3	* 53.0	* 51.7	* 52.8	* 53.2	* 50.3	* 49.9	* 49.0	* 48.3	* 48.0	51.6	48.9	58.2
$L_{Aeq,n}$ Avión	* 31.3	* 30.8	* 34.1	* 35.4	* 34.1	* 36.2	* 35.9	* 36.5	* 31.5	* 32.7	31.9	36.0	** 36.1

Los datos marcados con * no están amparados por la acreditación ENAC (Datos anteriores a la obtención de la acreditación).

** Dato no amparado por la acreditación ENAC (incertidumbre mayor a 3 dB(A)).

Sube el L_{Aeq}_Total Noche debido a fuertes vientos la noche del 25 al 26.

TMR-4 Fuente el Fresno

El TMR4 se encuentra instalado en la urbanización de Fuente el Fresno, perteneciente a San Sebastián de los Reyes.

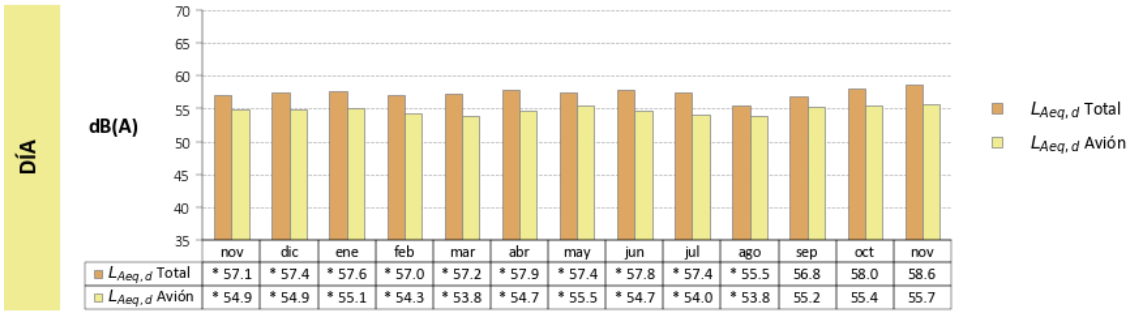

	nov	dic	ene	feb	mar	abr	may	jun	jul	ago	sep	oct	nov
$L_{Aeq,d}$ Total	* 57.1	* 57.4	* 57.6	* 57.0	* 57.2	* 57.9	* 57.4	* 57.8	* 57.4	* 55.5	56.8	58.0	58.6
$L_{Aeq,d}$ Avión	* 54.9	* 54.9	* 55.1	* 54.3	* 53.8	* 54.7	* 55.5	* 54.7	* 54.0	* 53.8	55.2	55.4	55.7

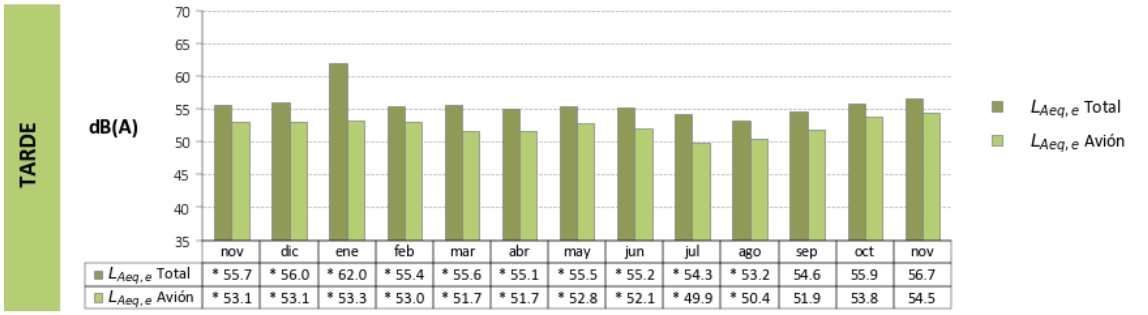

	nov	dic	ene	feb	mar	abr	may	jun	jul	ago	sep	oct	nov
$L_{Aeq,e}$ Total	* 55.7	* 56.0	* 62.0	* 55.4	* 55.6	* 55.1	* 55.5	* 55.2	* 54.3	* 53.2	54.6	55.9	56.7
$L_{Aeq,e}$ Avión	* 53.1	* 53.1	* 53.3	* 53.0	* 51.7	* 51.7	* 52.8	* 52.1	* 49.9	* 50.4	51.9	53.8	54.5

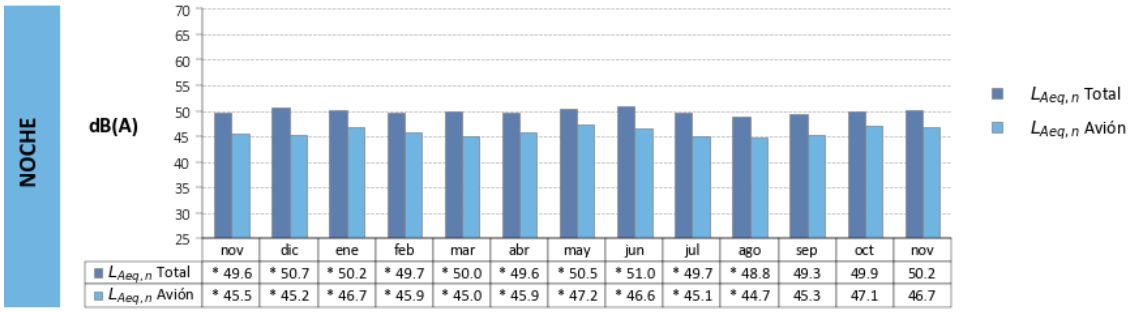

	nov	dic	ene	feb	mar	abr	may	jun	jul	ago	sep	oct	nov
$L_{Aeq,n}$ Total	* 49.6	* 50.7	* 50.2	* 49.7	* 50.0	* 49.6	* 50.5	* 51.0	* 49.7	* 48.8	49.3	49.9	50.2
$L_{Aeq,n}$ Avión	* 45.5	* 45.2	* 46.7	* 45.9	* 45.0	* 45.9	* 47.2	* 46.6	* 45.1	* 44.7	45.3	47.1	46.7

Los datos marcados con * no están amparados por la acreditación ENAC (Datos anteriores a la obtención de la acreditación).

TMR-24 Ciudalcampo

El TMR24 se encuentra instalado en la urbanización de Ciudalcampo, la más alejada del centro urbano de San Sebastián de los Reyes.

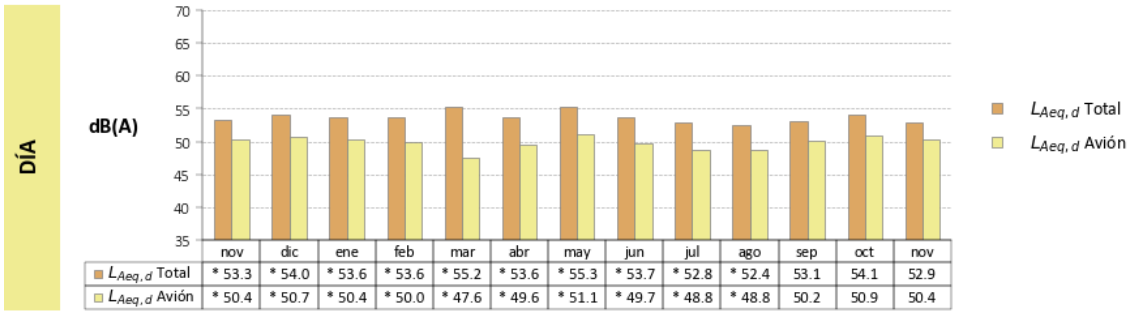

	nov	dic	ene	feb	mar	abr	may	jun	jul	ago	sep	oct	nov
$L_{Aeq,d}$ Total	* 53.3	* 54.0	* 53.6	* 53.6	* 55.2	* 53.6	* 55.3	* 53.7	* 52.8	* 52.4	53.1	54.1	52.9
$L_{Aeq,d}$ Avión	* 50.4	* 50.7	* 50.4	* 50.0	* 47.6	* 49.6	* 51.1	* 49.7	* 48.8	* 48.8	50.2	50.9	50.4

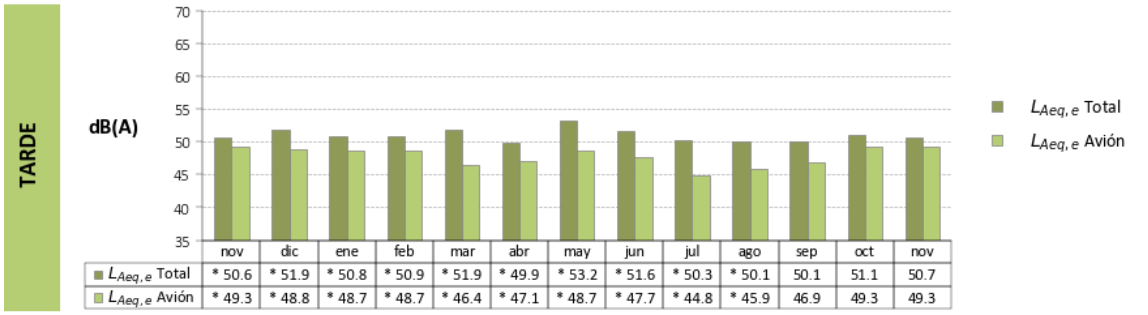

	nov	dic	ene	feb	mar	abr	may	jun	jul	ago	sep	oct	nov
$L_{Aeq,e}$ Total	* 50.6	* 51.9	* 50.8	* 50.9	* 51.9	* 49.9	* 53.2	* 51.6	* 50.3	* 50.1	50.1	51.1	50.7
$L_{Aeq,e}$ Avión	* 49.3	* 48.8	* 48.7	* 48.7	* 46.4	* 47.1	* 48.7	* 47.7	* 44.8	* 45.9	46.9	49.3	49.3

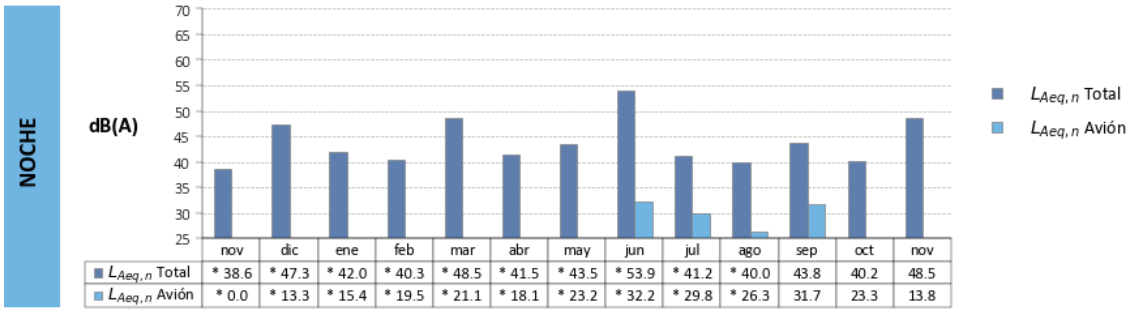

	nov	dic	ene	feb	mar	abr	may	jun	jul	ago	sep	oct	nov
$L_{Aeq,n}$ Total	* 38.6	* 47.3	* 42.0	* 40.3	* 48.5	* 41.5	* 43.5	* 53.9	* 41.2	* 40.0	43.8	40.2	48.5
$L_{Aeq,n}$ Avión	* 0.0	* 13.3	* 15.4	* 19.5	* 21.1	* 18.1	* 23.2	* 32.2	* 29.8	* 26.3	31.7	23.3	13.8

Los datos marcados con * no están amparados por la acreditación ENAC (Datos anteriores a la obtención de la acreditación).

Sube el L_{Aeq}_Total Noche debido a fuertes vientos la noche del 25 al 26.

TMR-26 Club de Campo

El TMR26 se encuentra instalado en la urbanización de Club de Campo, perteneciente a San Sebastián de los Reyes.

	nov	dic	ene	feb	mar	abr	may	jun	jul	ago	sep	oct	nov
$L_{Aeq,d}$ Total	* 55.2	* 54.5	* 55.1	* 55.0	* 56.2	* 56.3	* 56.1	* 55.7	* 55.0	* 52.7	54.2	55.9	56.1
$L_{Aeq,d}$ Avión	* 49.7	* 50.2	* 50.7	* 49.9	* 53.0	* 52.8	* 51.2	* 51.5	* 51.0	* 49.0	49.6	51.5	52.0

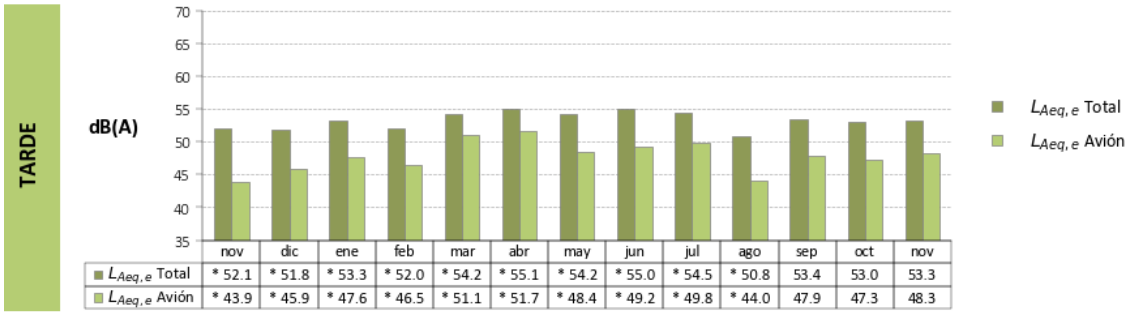

	nov	dic	ene	feb	mar	abr	may	jun	jul	ago	sep	oct	nov
$L_{Aeq,e}$ Total	* 52.1	* 51.8	* 53.3	* 52.0	* 54.2	* 55.1	* 54.2	* 55.0	* 54.5	* 50.8	53.4	53.0	53.3
$L_{Aeq,e}$ Avión	* 43.9	* 45.9	* 47.6	* 46.5	* 51.1	* 51.7	* 48.4	* 49.2	* 49.8	* 44.0	47.9	47.3	48.3

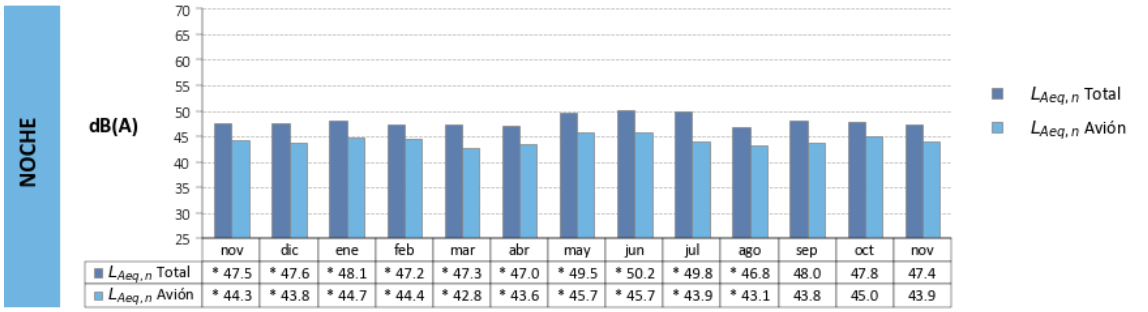

	nov	dic	ene	feb	mar	abr	may	jun	jul	ago	sep	oct	nov
$L_{Aeq,n}$ Total	* 47.5	* 47.6	* 48.1	* 47.2	* 47.3	* 47.0	* 49.5	* 50.2	* 49.8	* 46.8	48.0	47.8	47.4
$L_{Aeq,n}$ Avión	* 44.3	* 43.8	* 44.7	* 44.4	* 42.8	* 43.6	* 45.7	* 45.7	* 43.9	* 43.1	43.8	45.0	43.9

Los datos marcados con * no están amparados por la acreditación ENAC (Datos anteriores a la obtención de la acreditación).

TMR-27 La Granjilla

El TMR27 se encuentra instalado en la urbanización de La Granjilla, junto al TMR3 son los TMR más cercanos al centro urbano.

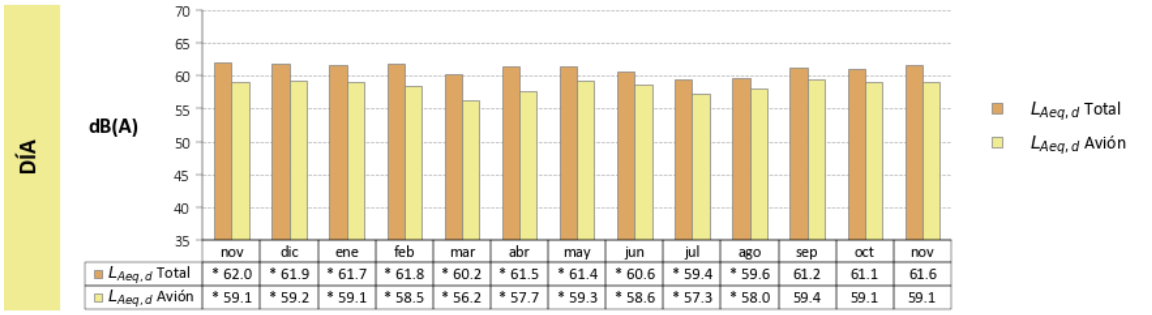

	nov	dic	ene	feb	mar	abr	may	jun	jul	ago	sep	oct	nov
$L_{Aeq,d}$ Total	* 62.0	* 61.9	* 61.7	* 61.8	* 60.2	* 61.5	* 61.4	* 60.6	* 59.4	* 59.6	61.2	61.1	61.6
$L_{Aeq,d}$ Avión	* 59.1	* 59.2	* 59.1	* 58.5	* 56.2	* 57.7	* 59.3	* 58.6	* 57.3	* 58.0	59.4	59.1	59.1

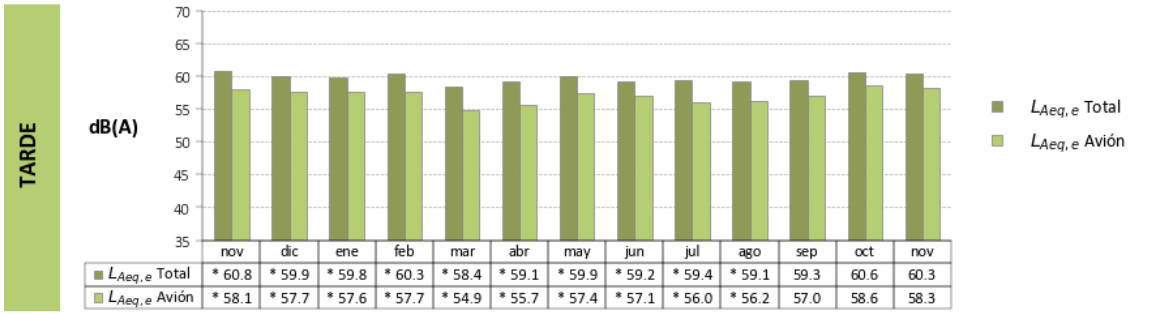

	nov	dic	ene	feb	mar	abr	may	jun	jul	ago	sep	oct	nov
$L_{Aeq,e}$ Total	* 60.8	* 59.9	* 59.8	* 60.3	* 58.4	* 59.1	* 59.9	* 59.2	* 59.4	* 59.1	59.3	60.6	60.3
$L_{Aeq,e}$ Avión	* 58.1	* 57.7	* 57.6	* 57.7	* 54.9	* 55.7	* 57.4	* 57.1	* 56.0	* 56.2	57.0	58.6	58.3

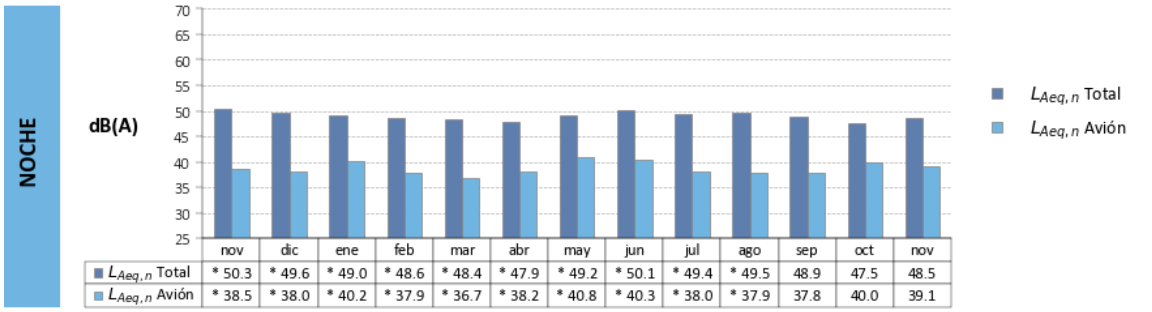

	nov	dic	ene	feb	mar	abr	may	jun	jul	ago	sep	oct	nov
$L_{Aeq,n}$ Total	* 50.3	* 49.6	* 49.0	* 48.6	* 48.4	* 47.9	* 49.2	* 50.1	* 49.4	* 49.5	48.9	47.5	48.5
$L_{Aeq,n}$ Avión	* 38.5	* 38.0	* 40.2	* 37.9	* 36.7	* 38.2	* 40.8	* 40.3	* 38.0	* 37.9	37.8	40.0	39.1

Los datos marcados con * no están amparados por la acreditación ENAC (Datos anteriores a la obtención de la acreditación).

5.3. ALGETE

En el análisis se ha tenido en cuenta la ubicación de los TMR con respecto a las rutas nominales más cercanas, así como la afección acústica en las distintas configuraciones y su distancia al aeropuerto.

El ruido medido en los TMR2 Algete, TMR5 Santo Domingo Sur, TMR21 Santo Domingo Norte y TMR25 Prado Norte durante el periodo diurno y en Configuración Norte, proviene principalmente por las operaciones de las rutas conocidas como Oeste Larga y de las operaciones de la pista 36R. Las rutas nocturnas discurren próximas a los TMR 5, 21 y 25, afectando principalmente a éste último. El TMR2 se encuentra alejado de las rutas nocturnas.

En Configuración Sur, los TMR5, 21 y 25 se encuentran próximos a las rutas de aproximación de los aterrizajes de las pistas 18R y 18L en periodo diurno, y por los aterrizajes nocturnos que se realizan por la pista 18L. Sin embargo, el TMR2 no se ve afectado por esta configuración.

El mapa incluido a continuación muestra las ubicaciones de los TMR respecto al aeropuerto y las rutas nominales tanto de despegues como aterrizajes, más cercanas al municipio:

Rutas día Configuración Norte

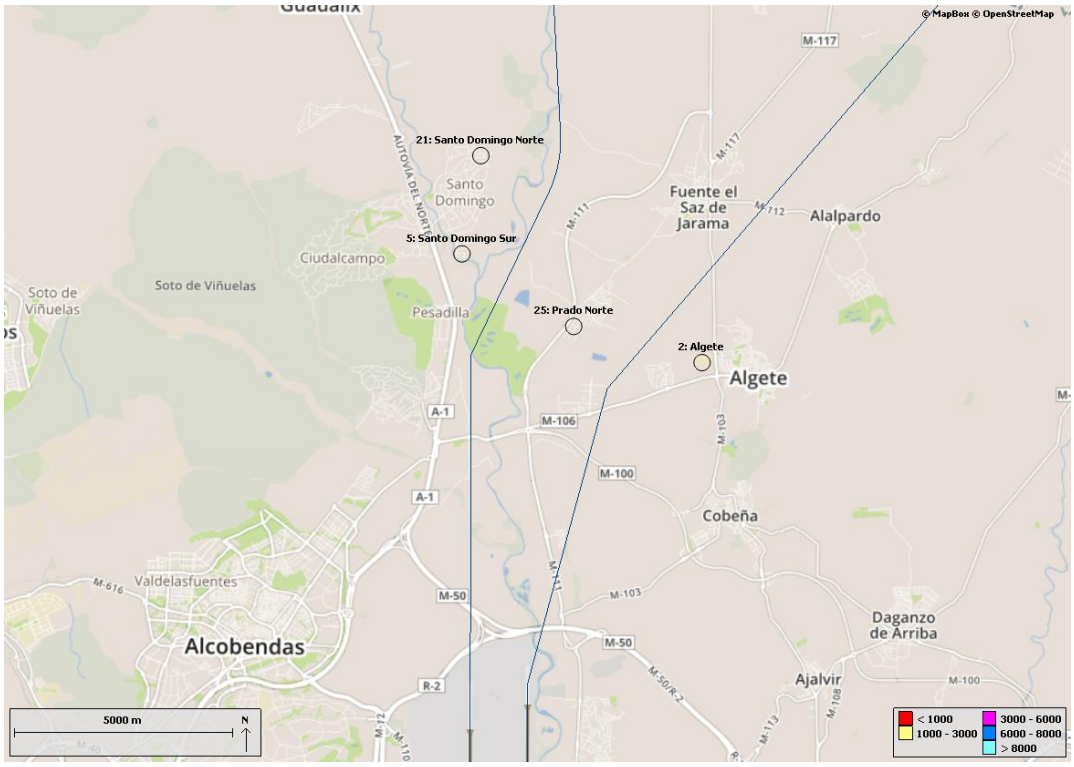

Rutas noche Configuración Norte

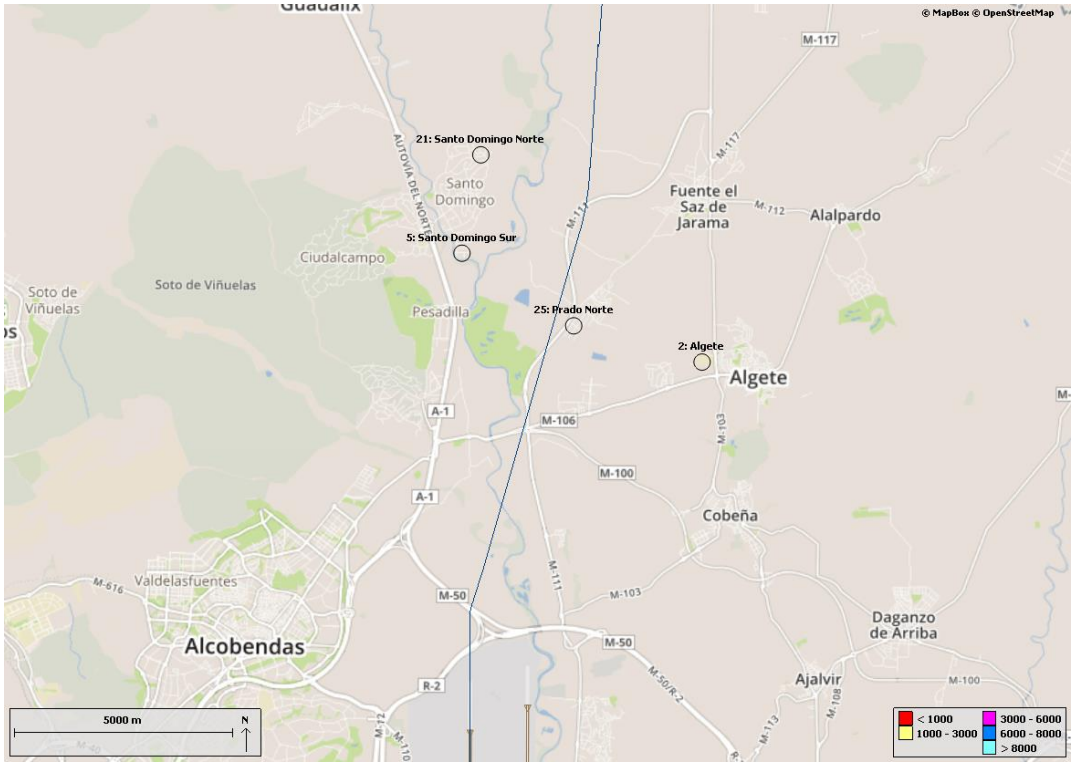

Rutas día Configuración Sur

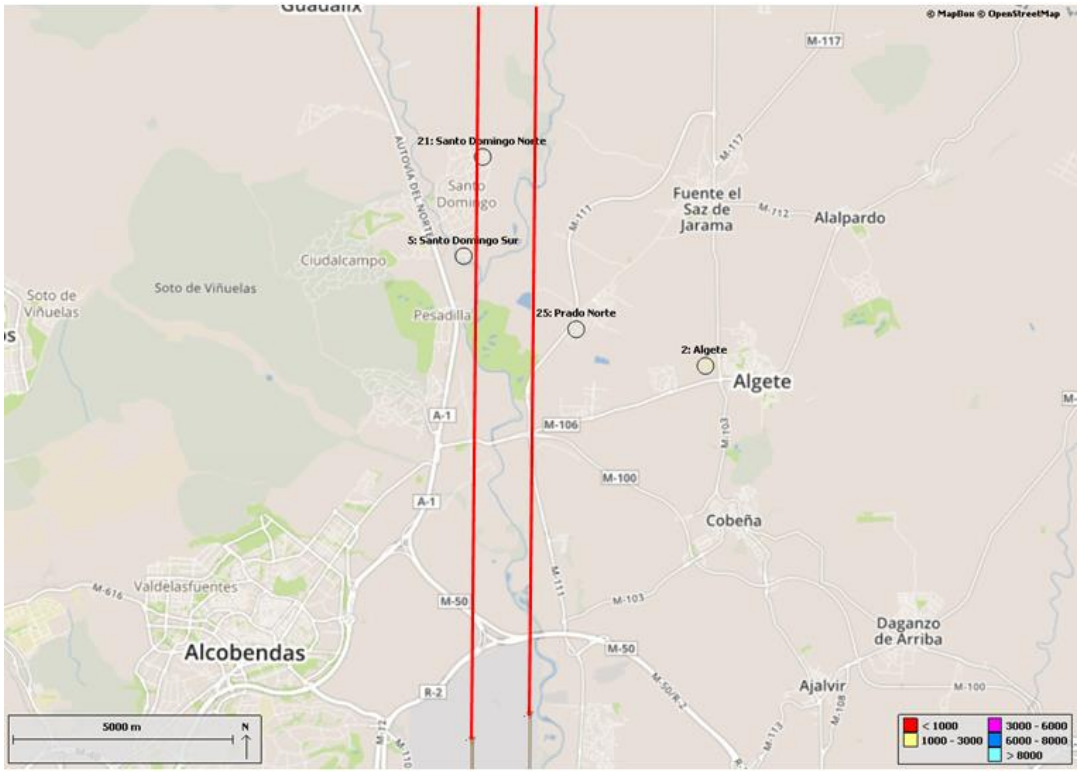

Rutas noche Configuración Sur

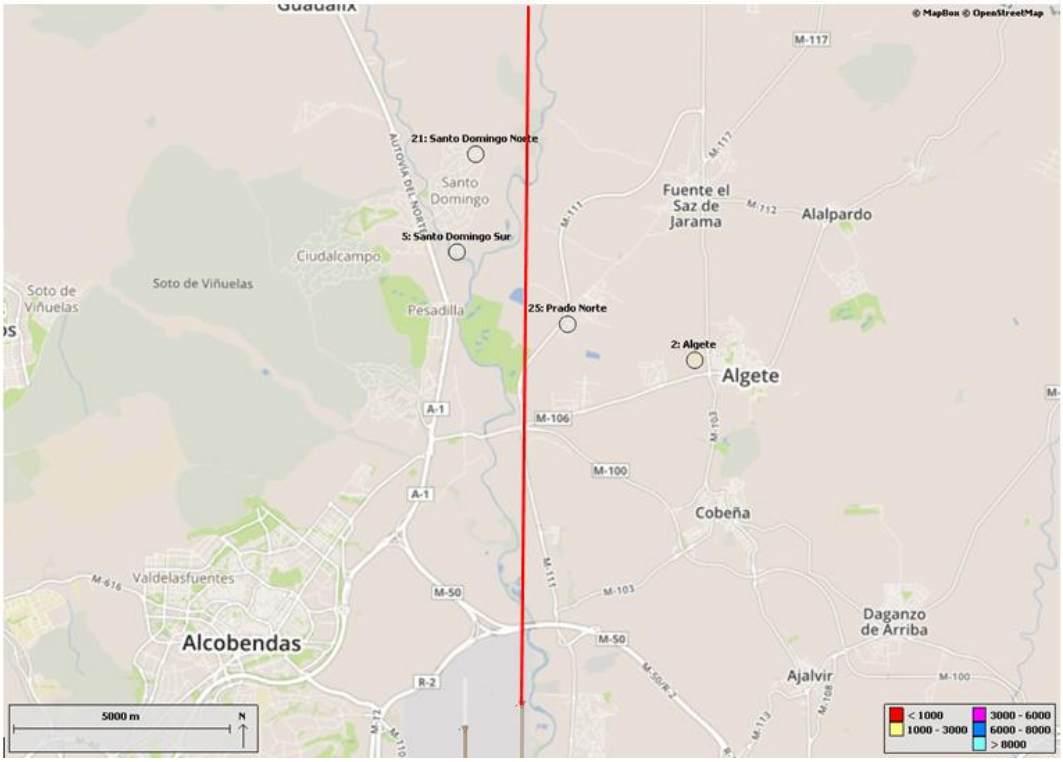

TMR-2 Algete

El TMR2 es el único TMR que se encuentra instalado en el municipio de Algete, a diferencia de los otros tres que están localizados en urbanizaciones pertenecientes a este municipio.

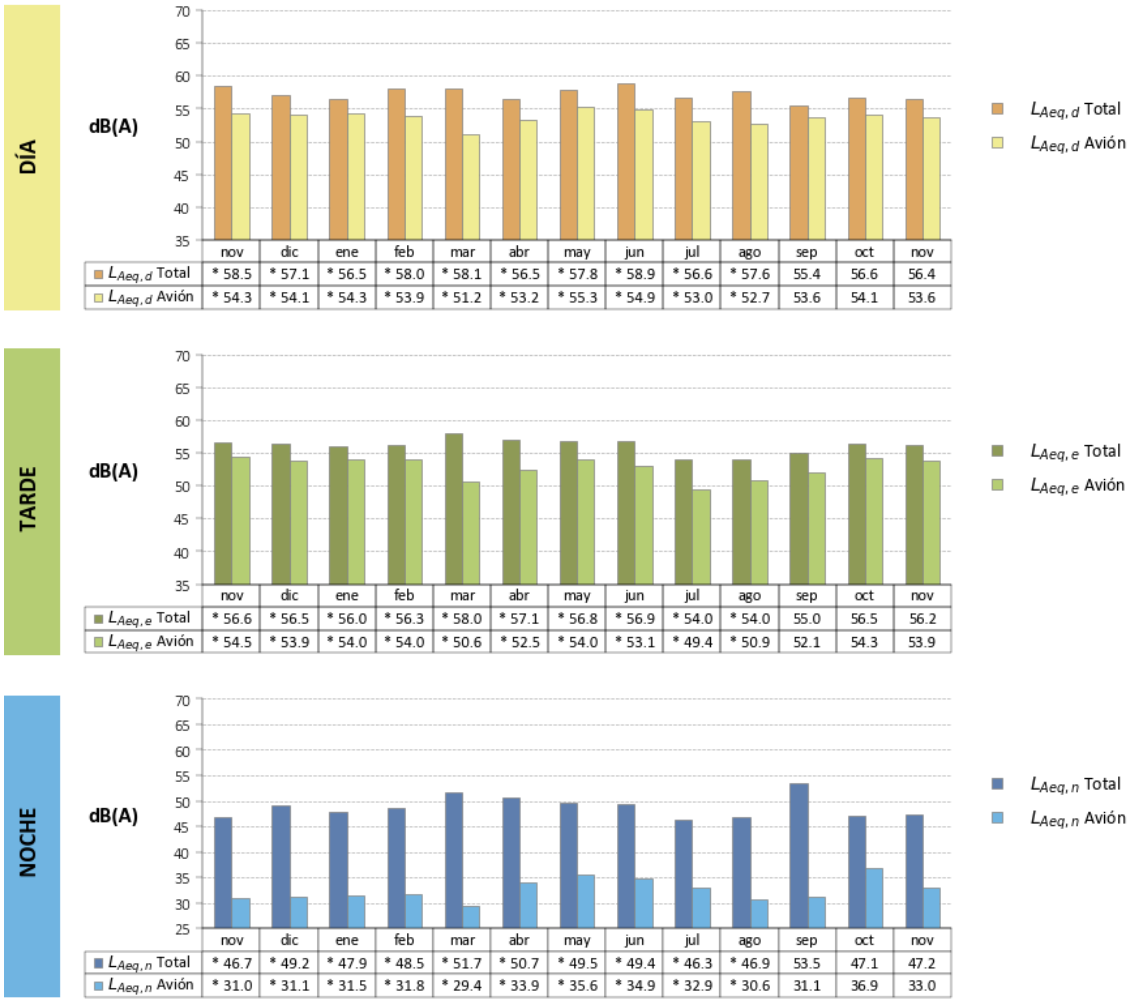

	nov	dic	ene	feb	mar	abr	may	jun	jul	ago	sep	oct	nov
$L_{Aeq,d}$ Total	* 58.5	* 57.1	* 56.5	* 58.0	* 58.1	* 56.5	* 57.8	* 58.9	* 56.6	* 57.6	55.4	56.6	56.4
$L_{Aeq,d}$ Avión	* 54.3	* 54.1	* 54.3	* 53.9	* 51.2	* 53.2	* 55.3	* 54.9	* 53.0	* 52.7	53.6	54.1	53.6

	nov	dic	ene	feb	mar	abr	may	jun	jul	ago	sep	oct	nov
$L_{Aeq,e}$ Total	* 56.6	* 56.5	* 56.0	* 56.3	* 58.0	* 57.1	* 56.8	* 56.9	* 54.0	* 54.0	55.0	56.5	56.2
$L_{Aeq,e}$ Avión	* 54.5	* 53.9	* 54.0	* 54.0	* 50.6	* 52.5	* 54.0	* 53.1	* 49.4	* 50.9	52.1	54.3	53.9

	nov	dic	ene	feb	mar	abr	may	jun	jul	ago	sep	oct	nov
$L_{Aeq,n}$ Total	* 46.7	* 49.2	* 47.9	* 48.5	* 51.7	* 50.7	* 49.5	* 49.4	* 46.3	* 46.9	53.5	47.1	47.2
$L_{Aeq,n}$ Avión	* 31.0	* 31.1	* 31.5	* 31.8	* 29.4	* 33.9	* 35.6	* 34.9	* 32.9	* 30.6	31.1	36.9	33.0

Los datos marcados con * no están amparados por la acreditación ENAC (Datos anteriores a la obtención de la acreditación).

TMR-5 Santo Domingo Sur

El TMR5 se encuentra instalado en el Sur de la urbanización de Santo Domingo. En esta urbanización también está instalado el TMR21.

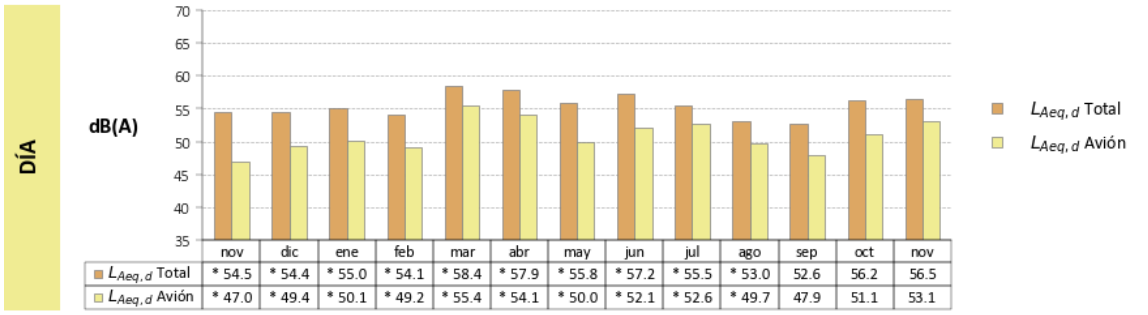

	nov	dic	ene	feb	mar	abr	may	jun	jul	ago	sep	oct	nov
$L_{Aeq,d}$ Total	* 54.5	* 54.4	* 55.0	* 54.1	* 58.4	* 57.9	* 55.8	* 57.2	* 55.5	* 53.0	52.6	56.2	56.5
$L_{Aeq,d}$ Avión	* 47.0	* 49.4	* 50.1	* 49.2	* 55.4	* 54.1	* 50.0	* 52.1	* 52.6	* 49.7	47.9	51.1	53.1

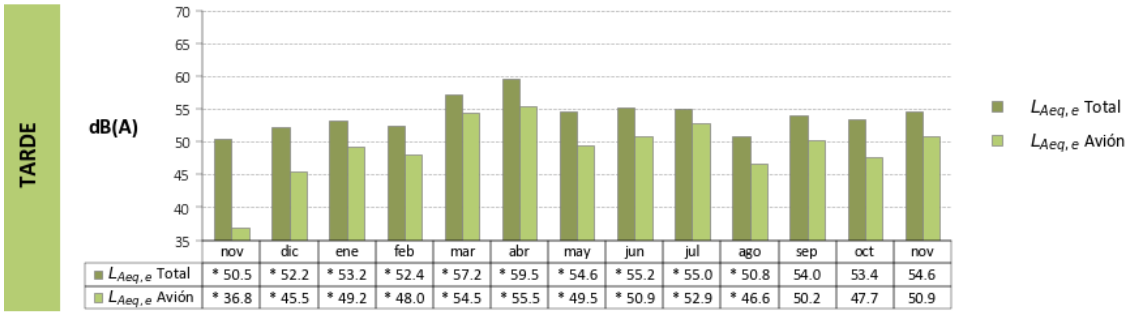

	nov	dic	ene	feb	mar	abr	may	jun	jul	ago	sep	oct	nov
$L_{Aeq,e}$ Total	* 50.5	* 52.2	* 53.2	* 52.4	* 57.2	* 59.5	* 54.6	* 55.2	* 55.0	* 50.8	54.0	53.4	54.6
$L_{Aeq,e}$ Avión	* 36.8	* 45.5	* 49.2	* 48.0	* 54.5	* 55.5	* 49.5	* 50.9	* 52.9	* 46.6	50.2	47.7	50.9

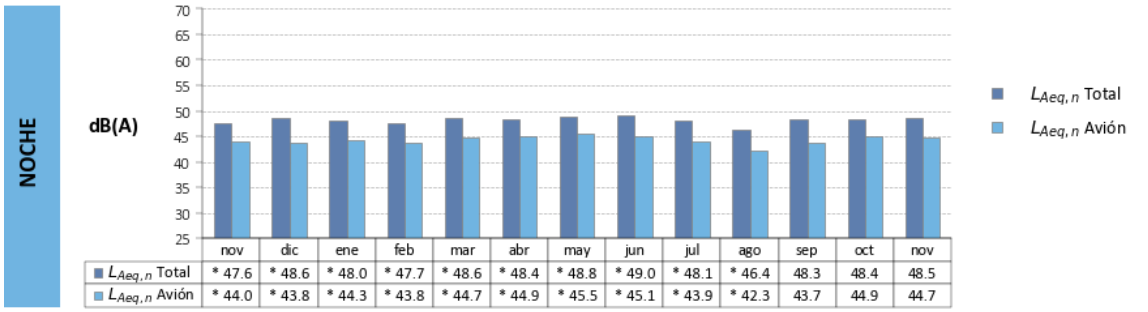

	nov	dic	ene	feb	mar	abr	may	jun	jul	ago	sep	oct	nov
$L_{Aeq,n}$ Total	* 47.6	* 48.6	* 48.0	* 47.7	* 48.6	* 48.4	* 48.8	* 49.0	* 48.1	* 46.4	48.3	48.4	48.5
$L_{Aeq,n}$ Avión	* 44.0	* 43.8	* 44.3	* 43.8	* 44.7	* 44.9	* 45.5	* 45.1	* 43.9	* 42.3	43.7	44.9	44.7

Los datos marcados con * no están amparados por la acreditación ENAC (Datos anteriores a la obtención de la acreditación).

TMR-21 Santo Domingo Norte

El TMR21 se encuentra instalado en el Norte de la urbanización de Santo Domingo. En esta urbanización también se encuentra instalado el TMR5.

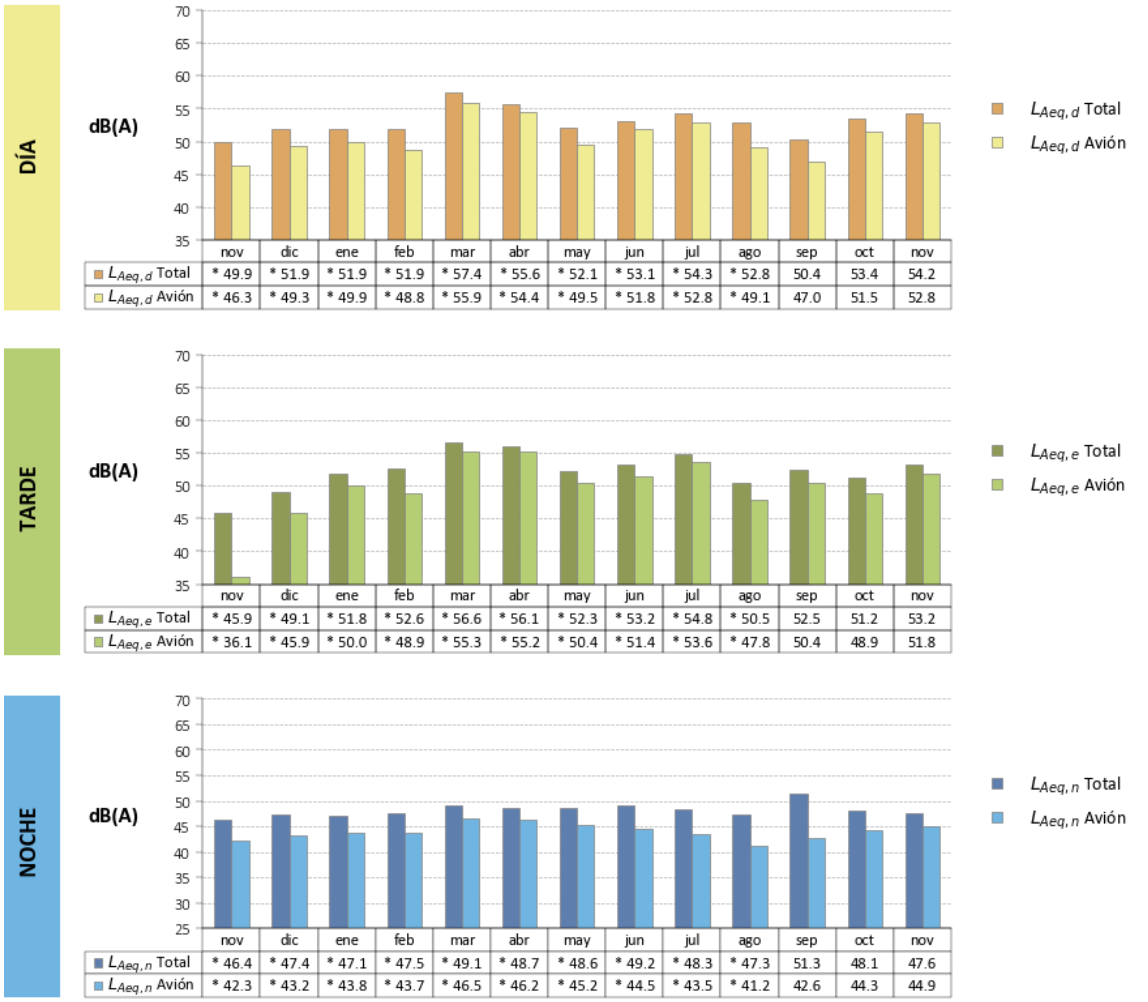

	nov	dic	ene	feb	mar	abr	may	jun	jul	ago	sep	oct	nov
$L_{Aeq,d}$ Total	* 49.9	* 51.9	* 51.9	* 51.9	* 57.4	* 55.6	* 52.1	* 53.1	* 54.3	* 52.8	50.4	53.4	54.2
$L_{Aeq,d}$ Avión	* 46.3	* 49.3	* 49.9	* 48.8	* 55.9	* 54.4	* 49.5	* 51.8	* 52.8	* 49.1	47.0	51.5	52.8

	nov	dic	ene	feb	mar	abr	may	jun	jul	ago	sep	oct	nov
$L_{Aeq,e}$ Total	* 45.9	* 49.1	* 51.8	* 52.6	* 56.6	* 56.1	* 52.3	* 53.2	* 54.8	* 50.5	52.5	51.2	53.2
$L_{Aeq,e}$ Avión	* 36.1	* 45.9	* 50.0	* 48.9	* 55.3	* 55.2	* 50.4	* 51.4	* 53.6	* 47.8	50.4	48.9	51.8

	nov	dic	ene	feb	mar	abr	may	jun	jul	ago	sep	oct	nov
$L_{Aeq,n}$ Total	* 46.4	* 47.4	* 47.1	* 47.5	* 49.1	* 48.7	* 48.6	* 49.2	* 48.3	* 47.3	51.3	48.1	47.6
$L_{Aeq,n}$ Avión	* 42.3	* 43.2	* 43.8	* 43.7	* 46.5	* 46.2	* 45.2	* 44.5	* 43.5	* 41.2	42.6	44.3	44.9

Los datos marcados con * no están amparados por la acreditación ENAC (Datos anteriores a la obtención de la acreditación).

TMR-25 Prado Norte

El TMR25 se encuentra instalado en la urbanización de Prado Norte, la urbanización más próxima al municipio de Algete.

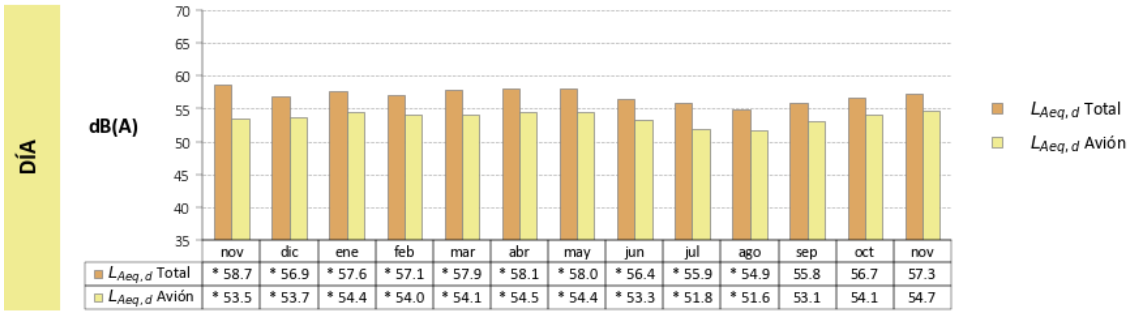

	nov	dic	ene	feb	mar	abr	may	jun	jul	ago	sep	oct	nov
$L_{Aeq,d}$ Total	* 58.7	* 56.9	* 57.6	* 57.1	* 57.9	* 58.1	* 58.0	* 56.4	* 55.9	* 54.9	55.8	56.7	57.3
$L_{Aeq,d}$ Avión	* 53.5	* 53.7	* 54.4	* 54.0	* 54.1	* 54.5	* 54.4	* 53.3	* 51.8	* 51.6	53.1	54.1	54.7

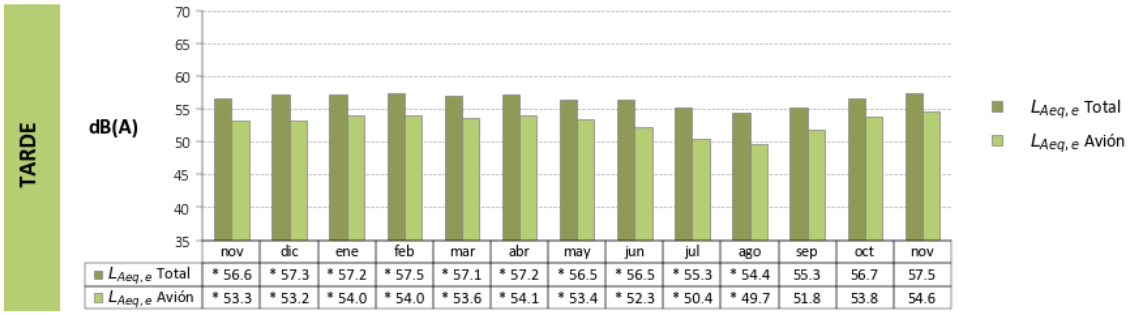

	nov	dic	ene	feb	mar	abr	may	jun	jul	ago	sep	oct	nov
$L_{Aeq,e}$ Total	* 56.6	* 57.3	* 57.2	* 57.5	* 57.1	* 57.2	* 56.5	* 56.5	* 55.3	* 54.4	55.3	56.7	57.5
$L_{Aeq,e}$ Avión	* 53.3	* 53.2	* 54.0	* 54.0	* 53.6	* 54.1	* 53.4	* 52.3	* 50.4	* 49.7	51.8	53.8	54.6

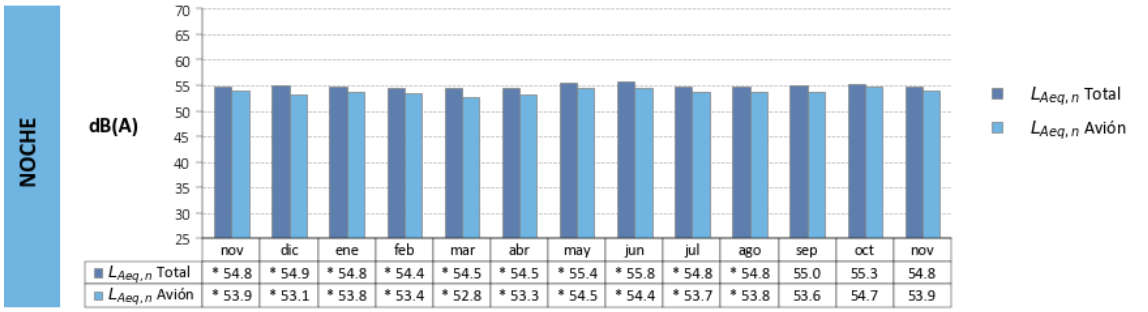

	nov	dic	ene	feb	mar	abr	may	jun	jul	ago	sep	oct	nov
$L_{Aeq,n}$ Total	* 54.8	* 54.9	* 54.8	* 54.4	* 54.5	* 54.5	* 55.4	* 55.8	* 54.8	* 54.8	55.0	55.3	54.8
$L_{Aeq,n}$ Avión	* 53.9	* 53.1	* 53.8	* 53.4	* 52.8	* 53.3	* 54.5	* 54.4	* 53.7	* 53.8	53.6	54.7	53.9

Los datos marcados con * no están amparados por la acreditación ENAC (Datos anteriores a la obtención de la acreditación).

5.4. MADRID

En el análisis se ha tenido en cuenta la ubicación de los TMR con respecto a las rutas nominales más cercanas, así como la afección acústica en las distintas configuraciones y su distancia al aeropuerto.

El ruido medido en los TMR12 Alameda de Osuna proviene principalmente, tanto en periodo diurno como en periodo nocturno y en cualquier configuración, de las operaciones en tierra que se llevan a cabo en R5 y R6. El ruido aeronáutico en el TMR13 está determinado por el ruido de motores en tierra, y por los aterrizajes de la pista 32L en Configuración Norte día y por los despegues día de la pista 14R en Configuración Sur. No se ve afectado por las operaciones de despegue y aterrizaje en periodo nocturno.

El mapa incluido a continuación muestra las ubicaciones de los TMR respecto al aeropuerto y las rutas nominales tanto de despegues como aterrizajes, más cercanas al municipio:

Rutas día Configuración Norte

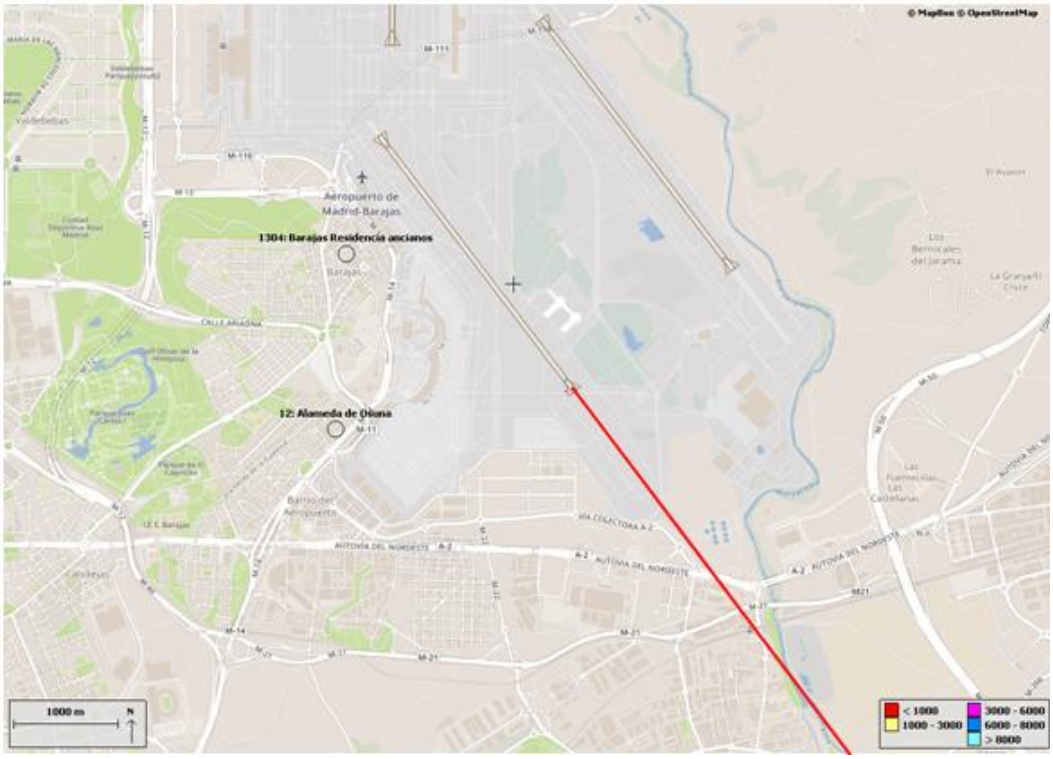

Rutas día Configuración Sur

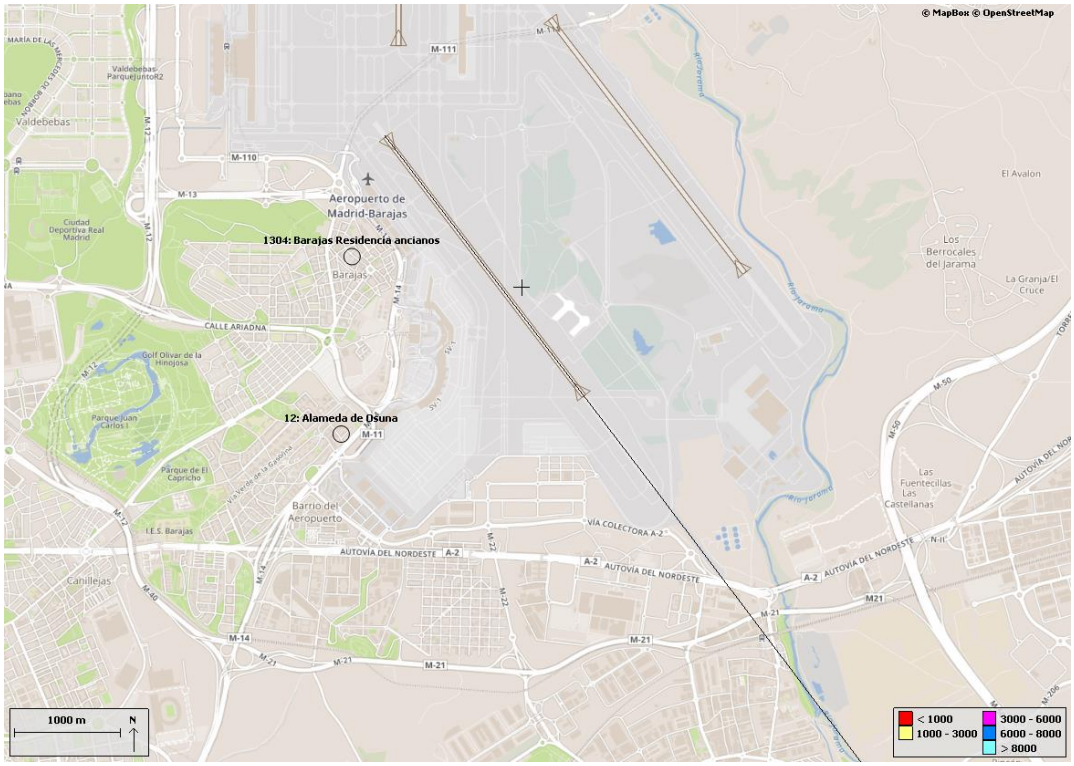

TMR-12 Alameda de Osuna

El TMR12 se encuentra instalado en el barrio de Alameda de Osuna, perteneciente al distrito de Barajas.

DÍA

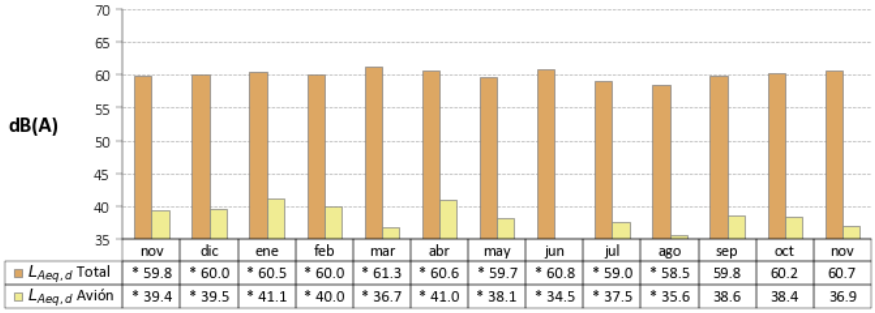

	nov	dic	ene	feb	mar	abr	may	jun	jul	ago	sep	oct	nov
$L_{Aeq,d}$ Total	* 59.8	* 60.0	* 60.5	* 60.0	* 61.3	* 60.6	* 59.7	* 60.8	* 59.0	* 58.5	59.8	60.2	60.7
$L_{Aeq,d}$ Avión	* 39.4	* 39.5	* 41.1	* 40.0	* 36.7	* 41.0	* 38.1	* 34.5	* 37.5	* 35.6	38.6	38.4	36.9

TARDE

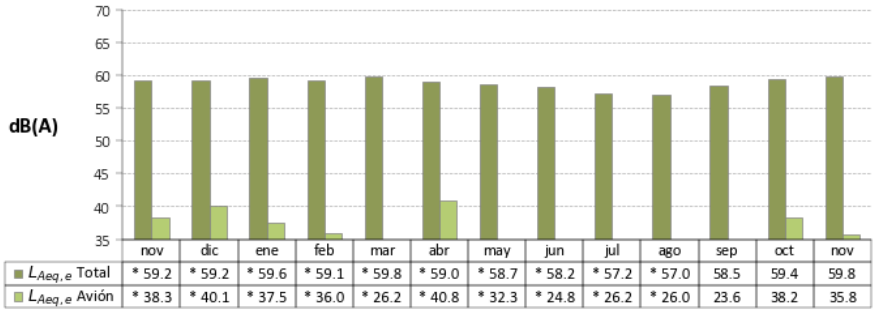

	nov	dic	ene	feb	mar	abr	may	jun	jul	ago	sep	oct	nov
$L_{Aeq,e}$ Total	* 59.2	* 59.2	* 59.6	* 59.1	* 59.8	* 59.0	* 58.7	* 58.2	* 57.2	* 57.0	58.5	59.4	59.8
$L_{Aeq,e}$ Avión	* 38.3	* 40.1	* 37.5	* 36.0	* 26.2	* 40.8	* 32.3	* 24.8	* 26.2	* 26.0	23.6	38.2	35.8

NOCHE

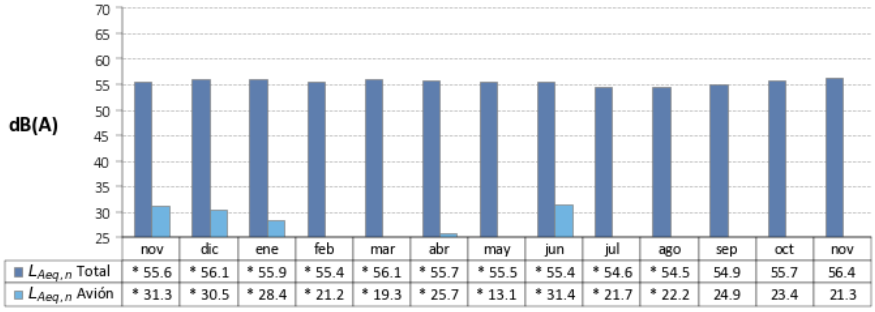

	nov	dic	ene	feb	mar	abr	may	jun	jul	ago	sep	oct	nov
$L_{Aeq,n}$ Total	* 55.6	* 56.1	* 55.9	* 55.4	* 56.1	* 55.7	* 55.5	* 55.4	* 54.6	* 54.5	54.9	55.7	56.4
$L_{Aeq,n}$ Avión	* 31.3	* 30.5	* 28.4	* 21.2	* 19.3	* 25.7	* 13.1	* 31.4	* 21.7	* 22.2	24.9	23.4	21.3

Los datos marcados con * no están amparados por la acreditación ENAC (Datos anteriores a la obtención de la acreditación).

TMR-13 Barajas

El TMR13 se encuentra instalado en el barrio de Barajas, perteneciente al municipio de Madrid.

DÍA

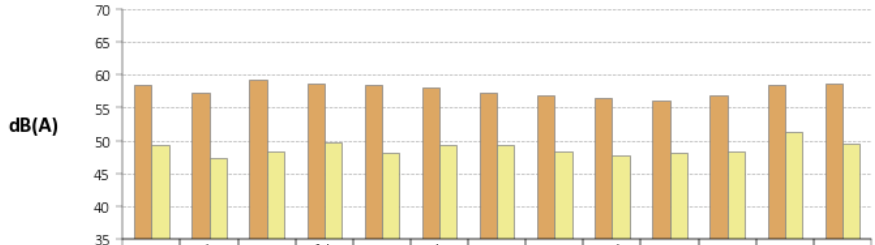

	nov	dic	ene	feb	mar	abr	may	jun	jul	ago	sep	oct	nov
$L_{Aeq,d}$ Total	* 58.4	* 57.3	* 59.2	* 58.6	* 58.4	* 58.0	* 57.3	* 56.9	* 56.4	* 56.1	56.8	** 58.5	58.6
$L_{Aeq,d}$ Avión	* 49.4	* 47.4	* 48.4	* 49.8	* 48.1	* 49.3	* 49.4	* 48.4	* 47.7	* 48.1	48.4	** 51.4	49.5

TARDE

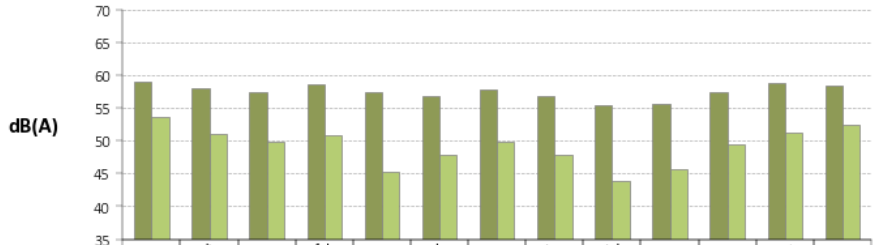

	nov	dic	ene	feb	mar	abr	may	jun	jul	ago	sep	oct	nov
$L_{Aeq,e}$ Total	* 59.0	* 58.1	* 57.5	* 58.7	* 57.5	* 56.9	* 57.9	* 56.9	* 55.5	* 55.7	57.4	58.8	58.4
$L_{Aeq,e}$ Avión	* 53.6	* 51.0	* 49.8	* 50.9	* 45.3	* 47.8	* 49.9	* 47.8	* 43.8	* 45.7	49.5	51.3	52.5

NOCHE

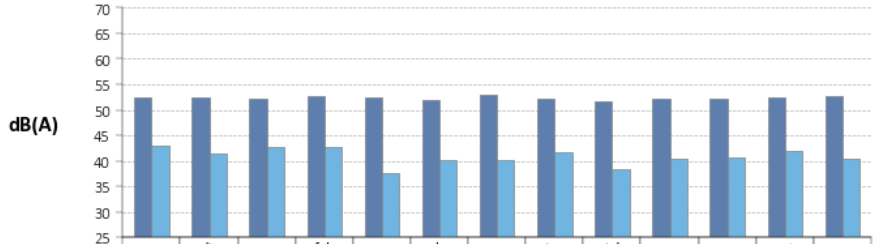

	nov	dic	ene	feb	mar	abr	may	jun	jul	ago	sep	oct	nov
$L_{Aeq,n}$ Total	* 52.5	* 52.5	* 52.3	* 52.8	* 52.4	* 52.0	* 52.9	* 52.3	* 51.7	* 52.2	52.2	52.5	52.8
$L_{Aeq,n}$ Avión	* 43.0	* 41.4	* 42.7	* 42.6	* 37.7	* 40.2	* 40.1	* 41.8	* 38.3	* 40.4	40.6	** 41.9	40.3

Los datos marcados con * no están amparados por la acreditación ENAC (Datos anteriores a la obtención de la acreditación).

** Dato no amparado por la acreditación ENAC (disponibilidad de datos inferior al 70%).

5.5. PARACUELLOS DE JARAMA

En el análisis se ha tenido en cuenta la ubicación de los TMR con respecto a las rutas nominales más cercanas, así como la afección acústica en las distintas configuraciones y su distancia al aeropuerto.

Tanto el TMR7 Paracuellos como el TMR23 Los Berrocales registran ruido aeronáutico que proviene principalmente de las operaciones de aterrizaje de la pista 32R tanto en periodo diurno como en periodo nocturno en Configuración Norte. A su vez, el TMR7 también registra sucesos sonoros generados por los despegues de la pista 36R en periodo diurno en esta configuración.

El TMR9 Belvis registra sucesos sonoros generados por los despegues hacia el Este de la pista 36R en Configuración Norte. Las operaciones nocturnas de despegue de la pista 36L generan sucesos sonoros registrados por el TMR.

En Configuración Sur, el ruido registrado en ambos TMR proviene de los despegues de la pista 14L, tanto en periodo diurno como en periodo nocturno. El TMR7 también presenta afección de ruido aeronáutico originado por los aterrizajes de la pista 18L en periodo diurno y nocturno. En el TMR9, tanto en periodo diurno como en periodo nocturno, los aterrizajes de la pista 18L operan cerca del TMR.

El mapa incluido a continuación muestra las ubicaciones de los TMR respecto al aeropuerto y las rutas nominales tanto de despegues como aterrizajes, más cercanas al municipio:

Rutas día Configuración Norte

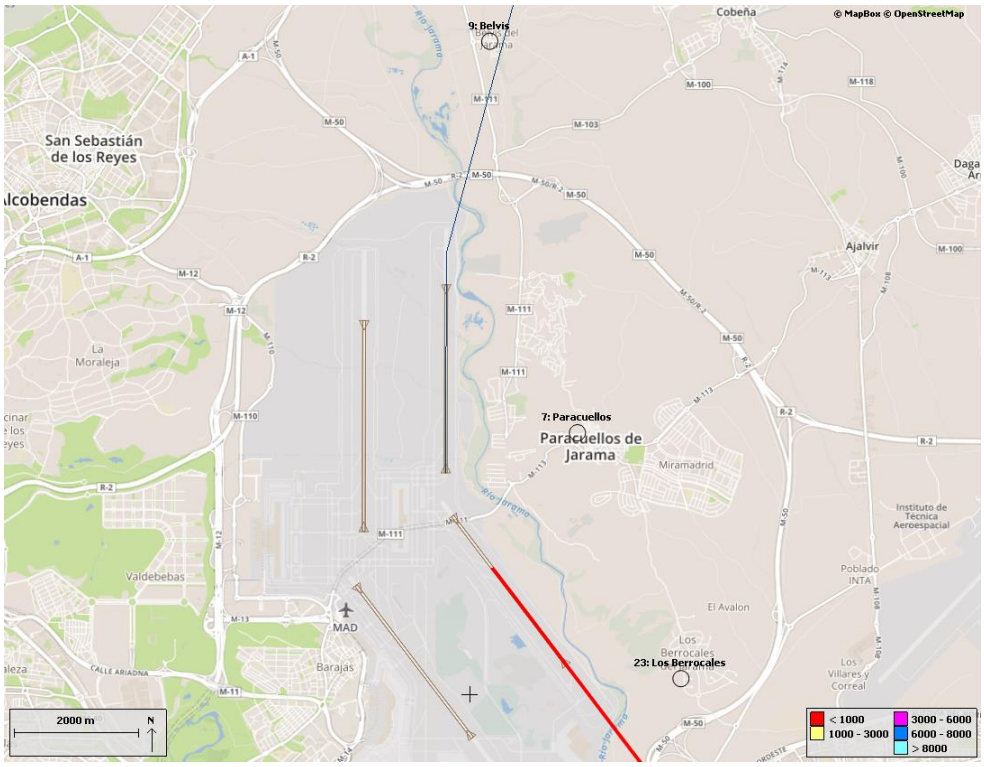

Rutas noche Configuración Norte

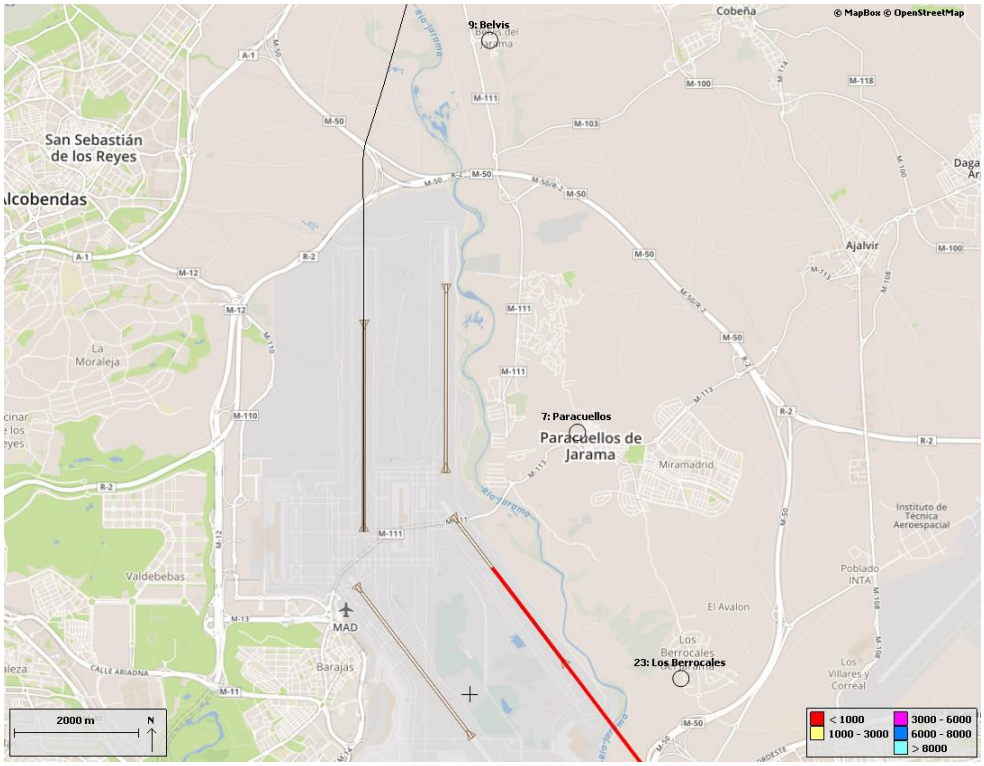

Rutas día y noche Configuración Sur

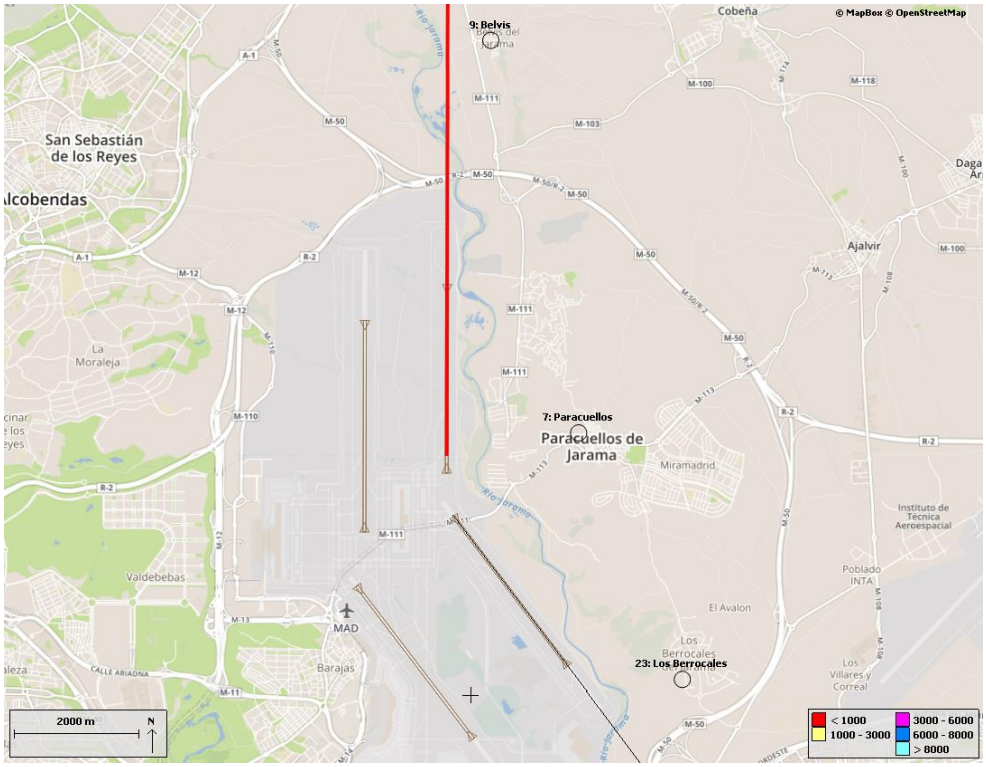

TMR-7 Paracuellos

De los tres terminales de ruido instalados en Paracuellos del Jarama, el TMR7 es el más cercano al centro urbano.

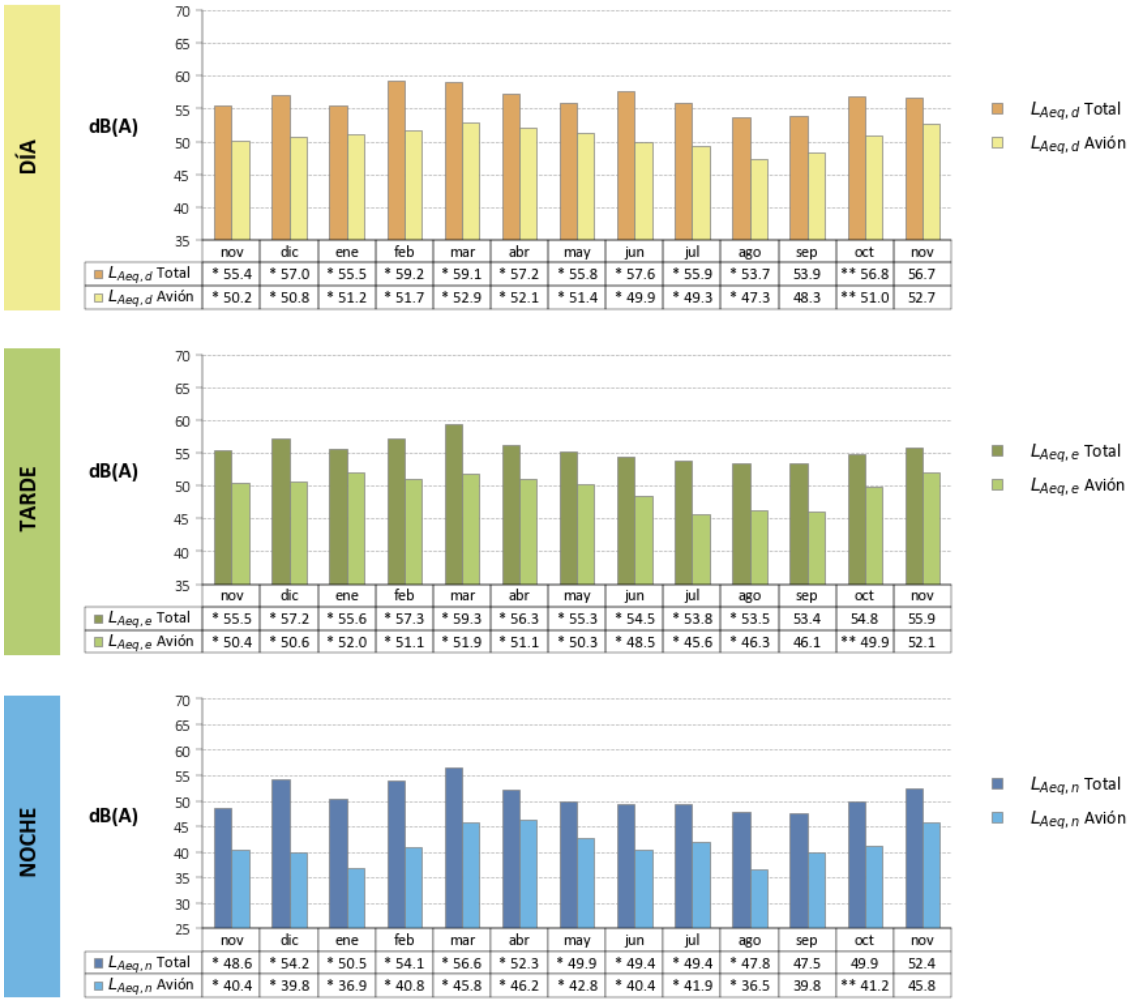

	nov	dic	ene	feb	mar	abr	may	jun	jul	ago	sep	oct	nov
$L_{Aeq,d}$ Total	* 55.4	* 57.0	* 55.5	* 59.2	* 59.1	* 57.2	* 55.8	* 57.6	* 55.9	* 53.7	53.9	** 56.8	56.7
$L_{Aeq,d}$ Avión	* 50.2	* 50.8	* 51.2	* 51.7	* 52.9	* 52.1	* 51.4	* 49.9	* 49.3	* 47.3	48.3	** 51.0	52.7

	nov	dic	ene	feb	mar	abr	may	jun	jul	ago	sep	oct	nov
$L_{Aeq,e}$ Total	* 55.5	* 57.2	* 55.6	* 57.3	* 59.3	* 56.3	* 55.3	* 54.5	* 53.8	* 53.5	53.4	54.8	55.9
$L_{Aeq,e}$ Avión	* 50.4	* 50.6	* 52.0	* 51.1	* 51.9	* 51.1	* 50.3	* 48.5	* 45.6	* 46.3	46.1	** 49.9	52.1

	nov	dic	ene	feb	mar	abr	may	jun	jul	ago	sep	oct	nov
$L_{Aeq,n}$ Total	* 48.6	* 54.2	* 50.5	* 54.1	* 56.6	* 52.3	* 49.9	* 49.4	* 49.4	* 47.8	47.5	49.9	52.4
$L_{Aeq,n}$ Avión	* 40.4	* 39.8	* 36.9	* 40.8	* 45.8	* 46.2	* 42.8	* 40.4	* 41.9	* 36.5	39.8	** 41.2	45.8

Los datos marcados con * no están amparados por la acreditación ENAC (Datos anteriores a la obtención de la acreditación).

** Dato no amparado por la acreditación ENAC (disponibilidad de datos inferior al 70%).

Sube el L_{Aeq}_Total Noche debido a fuertes vientos las noches del 05 al 06 y del 25 al 26.

TMR-9 Belvis

El TMR9 se encuentra instalado en Belvis del Jarama.

DÍA

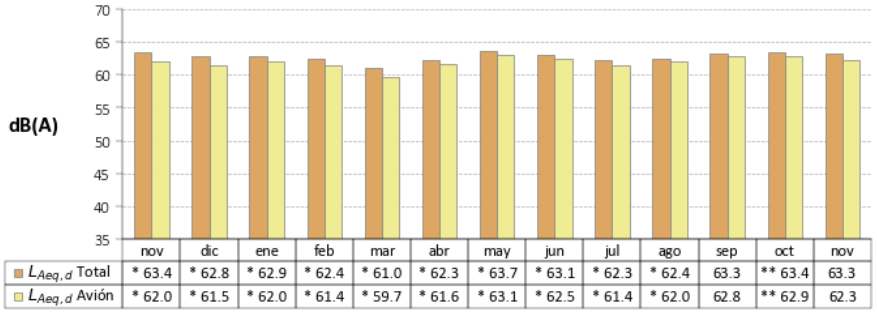

	nov	dic	ene	feb	mar	abr	may	jun	jul	ago	sep	oct	nov
$L_{Aeq,d}$ Total	* 63.4	* 62.8	* 62.9	* 62.4	* 61.0	* 62.3	* 63.7	* 63.1	* 62.3	* 62.4	63.3	** 63.4	63.3
$L_{Aeq,d}$ Avión	* 62.0	* 61.5	* 62.0	* 61.4	* 59.7	* 61.6	* 63.1	* 62.5	* 61.4	* 62.0	62.8	** 62.9	62.3

TARDE

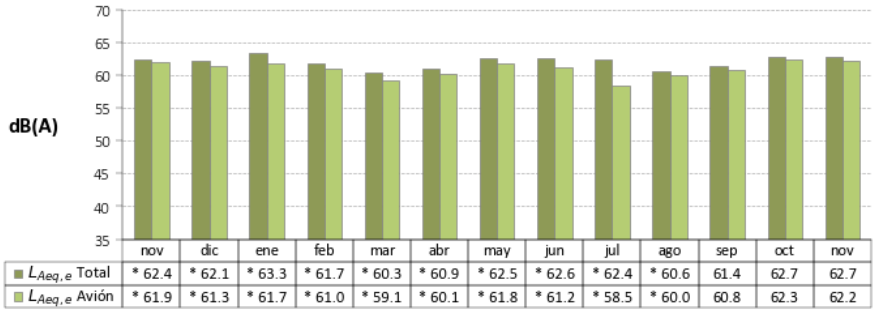

	nov	dic	ene	feb	mar	abr	may	jun	jul	ago	sep	oct	nov
$L_{Aeq,e}$ Total	* 62.4	* 62.1	* 63.3	* 61.7	* 60.3	* 60.9	* 62.5	* 62.6	* 62.4	* 60.6	61.4	62.7	62.7
$L_{Aeq,e}$ Avión	* 61.9	* 61.3	* 61.7	* 61.0	* 59.1	* 60.1	* 61.8	* 61.2	* 58.5	* 60.0	60.8	62.3	62.2

NOCHE

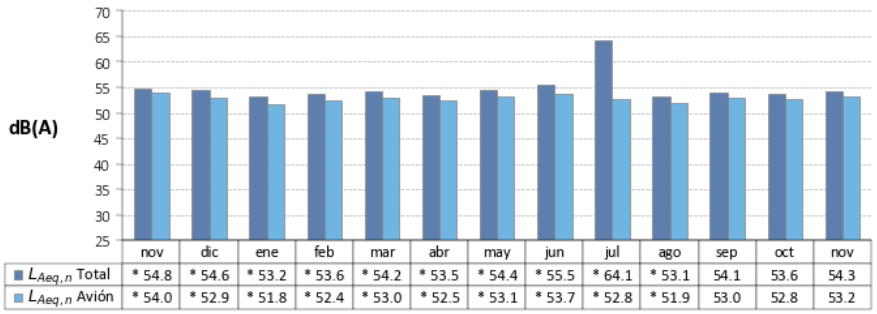

	nov	dic	ene	feb	mar	abr	may	jun	jul	ago	sep	oct	nov
$L_{Aeq,n}$ Total	* 54.8	* 54.6	* 53.2	* 53.6	* 54.2	* 53.5	* 54.4	* 55.5	* 64.1	* 53.1	54.1	53.6	54.3
$L_{Aeq,n}$ Avión	* 54.0	* 52.9	* 51.8	* 52.4	* 53.0	* 52.5	* 53.1	* 53.7	* 52.8	* 51.9	53.0	52.8	53.2

Los datos marcados con * no están amparados por la acreditación ENAC (Datos anteriores a la obtención de la acreditación).

** Dato no amparado por la acreditación ENAC (disponibilidad de datos inferior al 70%).

TMR-23 Los Berrocales

EL TMR23 se encuentra instalado en la urbanización de Los Berrocales, al sur del municipio de Paracuellos de Jarama.

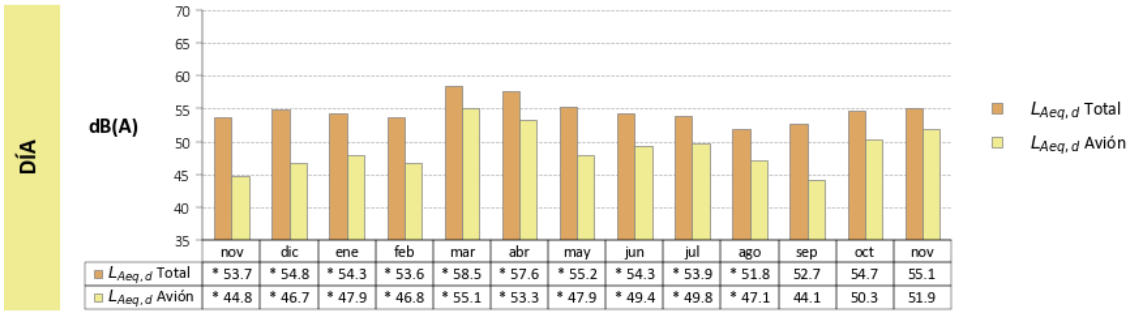

	nov	dic	ene	feb	mar	abr	may	jun	jul	ago	sep	oct	nov
$L_{Aeq,d}$ Total	* 53.7	* 54.8	* 54.3	* 53.6	* 58.5	* 57.6	* 55.2	* 54.3	* 53.9	* 51.8	52.7	54.7	55.1
$L_{Aeq,d}$ Avión	* 44.8	* 46.7	* 47.9	* 46.8	* 55.1	* 53.3	* 47.9	* 49.4	* 49.8	* 47.1	44.1	50.3	51.9

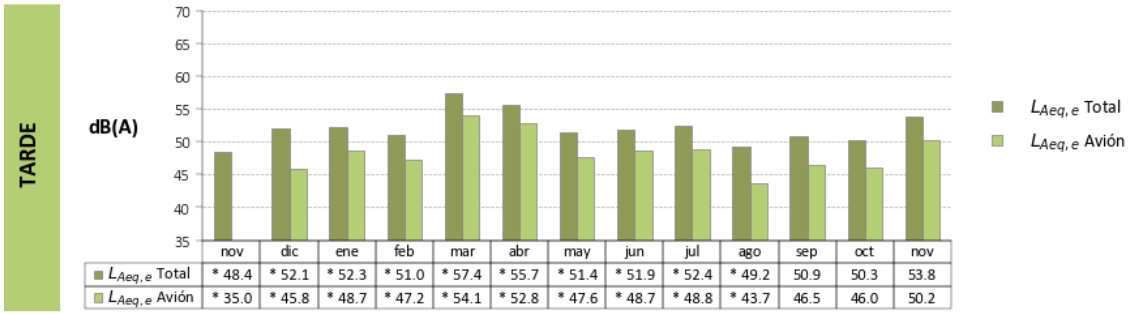

	nov	dic	ene	feb	mar	abr	may	jun	jul	ago	sep	oct	nov
$L_{Aeq,e}$ Total	* 48.4	* 52.1	* 52.3	* 51.0	* 57.4	* 55.7	* 51.4	* 51.9	* 52.4	* 49.2	50.9	50.3	53.8
$L_{Aeq,e}$ Avión	* 35.0	* 45.8	* 48.7	* 47.2	* 54.1	* 52.8	* 47.6	* 48.7	* 48.8	* 43.7	46.5	46.0	50.2

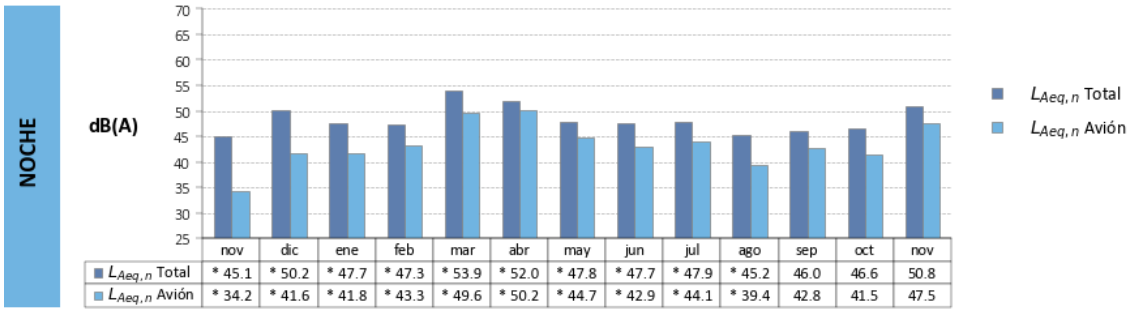

	nov	dic	ene	feb	mar	abr	may	jun	jul	ago	sep	oct	nov
$L_{Aeq,n}$ Total	* 45.1	* 50.2	* 47.7	* 47.3	* 53.9	* 52.0	* 47.8	* 47.7	* 47.9	* 45.2	46.0	46.6	50.8
$L_{Aeq,n}$ Avión	* 34.2	* 41.6	* 41.8	* 43.3	* 49.6	* 50.2	* 44.7	* 42.9	* 44.1	* 39.4	42.8	41.5	47.5

Los datos marcados con * no están amparados por la acreditación ENAC (Datos anteriores a la obtención de la acreditación).

5.6. ALCOBENDAS

En el análisis se ha tenido en cuenta la ubicación del TMR con respecto a las rutas nominales más cercanas, así como la afección acústica en las distintas configuraciones y su distancia al aeropuerto.

El ruido medido en el TMR1 La Moraleja proviene de las operaciones de despegue de la pista 36L en Configuración Norte, tanto en periodo diurno como en periodo nocturno.

Los aterrizajes por la pista 18R son las aeronaves diurnas que operan más cerca del TMR en Configuración Sur. El TMR no presenta afección acústica en Configuración Sur noche, ya que las rutas operan alejadas del TMR.

El mapa incluido a continuación muestra la ubicación del TMR respecto al aeropuerto y las rutas nominales tanto de despegues como aterrizajes, más cercanas al municipio:

Rutas día y noche Configuración Norte

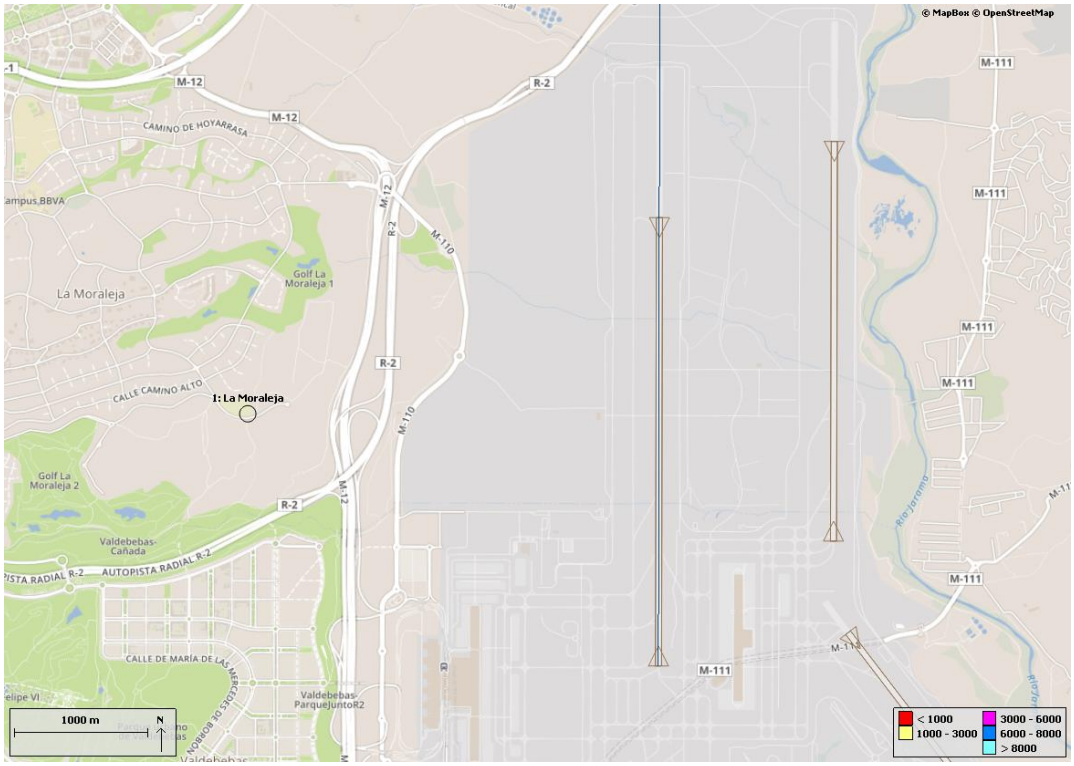

Rutas día Configuración Sur

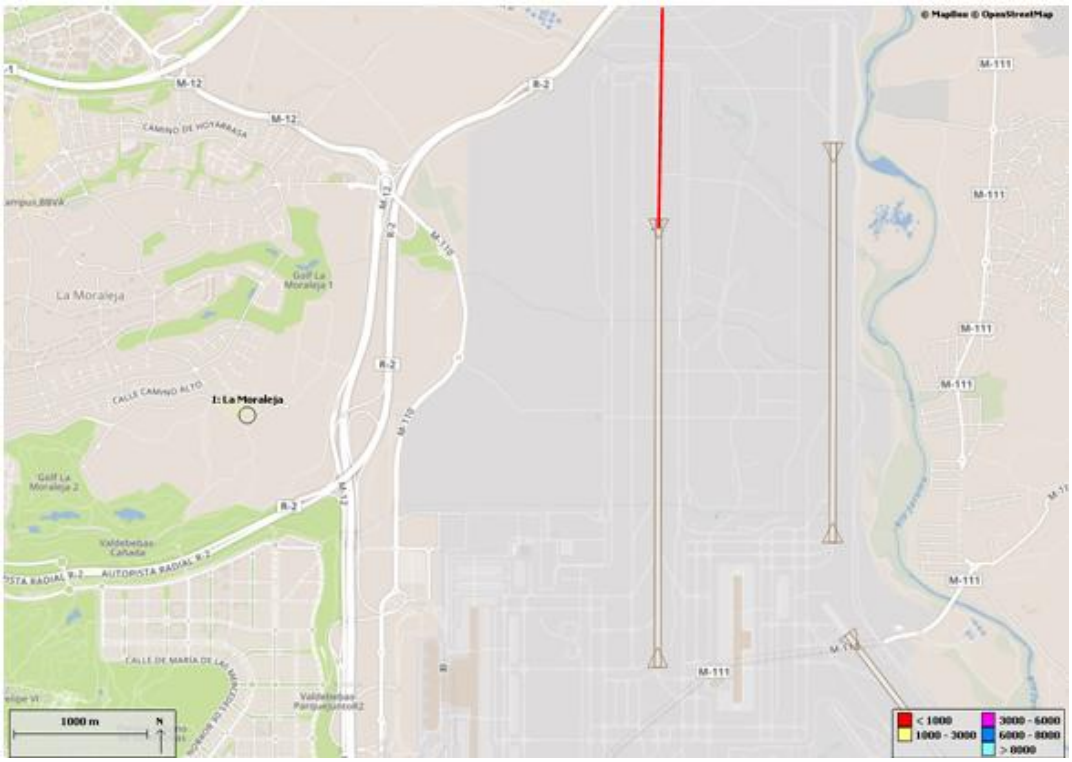

TMR-1 La Moraleja

	nov	dic	ene	feb	mar	abr	may	jun	jul	ago	sep	oct	nov
$L_{Aeq,d}$ Total	* 54.7	* 54.1	* 54.5	* 54.0	* 58.4	* 59.7	* 59.2	* 57.7	* 56.2	* 57.6	57.8	59.4	58.8
$L_{Aeq,d}$ Avión	* 38.9	* 39.4	* 41.4	* 39.3	* 38.2	* 39.7	* 40.3	* 39.5	* 38.2	* 39.2	** 37.9	** 40.2	** 37.4

	nov	dic	ene	feb	mar	abr	may	jun	jul	ago	sep	oct	nov
$L_{Aeq,e}$ Total	* 49.1	* 48.2	* 48.8	* 48.6	* 51.3	* 50.9	* 51.0	* 50.8	* 47.9	* 45.7	48.7	50.2	52.3
$L_{Aeq,e}$ Avión	* 32.7	* 27.7	* 33.3	* 38.7	* 31.5	* 36.1	* 34.8	* 30.6	* 26.9	* 26.7	34.5	37.1	37.5

	nov	dic	ene	feb	mar	abr	may	jun	jul	ago	sep	oct	nov
$L_{Aeq,n}$ Total	* 47.1	* 46.4	* 47.4	* 45.4	* 48.3	* 49.4	* 51.6	* 55.2	* 47.0	* 46.9	49.4	48.0	49.8
$L_{Aeq,n}$ Avión	* 38.1	* 35.4	* 39.6	* 38.7	* 32.5	* 38.2	* 39.1	* 38.1	* 37.7	* 37.3	38.9	41.1	39.4

Los datos marcados con * no están amparados por la acreditación ENAC (Datos anteriores a la obtención de la acreditación).

** Dato no amparado por la acreditación ENAC (disponibilidad de datos inferior al 70%).

5.7. FUENTE EL SAZ DE JARAMA

En el análisis se ha tenido en cuenta la ubicación del TMR con respecto a las rutas nominales más cercanas, así como la afección acústica en las distintas configuraciones y su distancia al aeropuerto.

El ruido medido en el TMR6 Fuente el Saz en periodo diurno y en Configuración Norte, proviene de las operaciones hacia el Este de la pista 36R. El TMR registra sucesos sonoros aeronáuticos generados por las operaciones de las rutas nocturnas en Configuración Norte.

Las rutas de aterrizaje en Configuración Sur en periodo diurno y nocturno se encuentran alejadas del TMR.

El mapa incluido a continuación muestra la ubicación del TMR respecto al aeropuerto y las rutas nominales tanto de despegues como aterrizajes, más cercanas al municipio:

Rutas día Configuración Norte

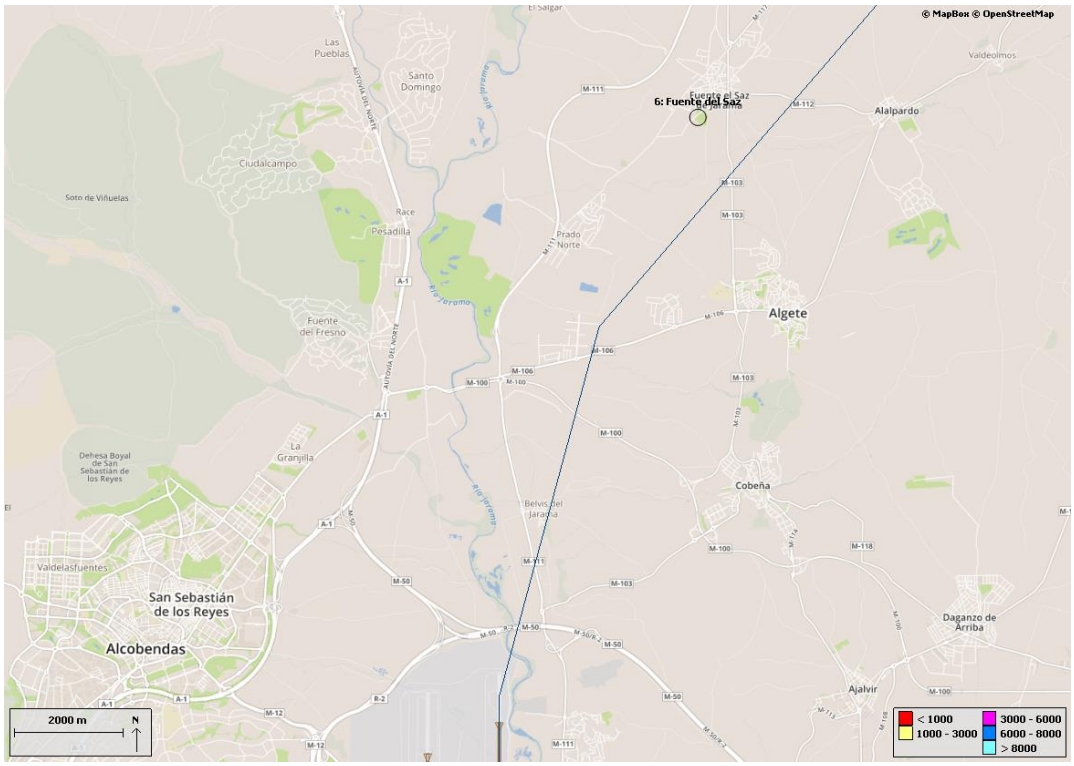

Rutas noche Configuración Norte

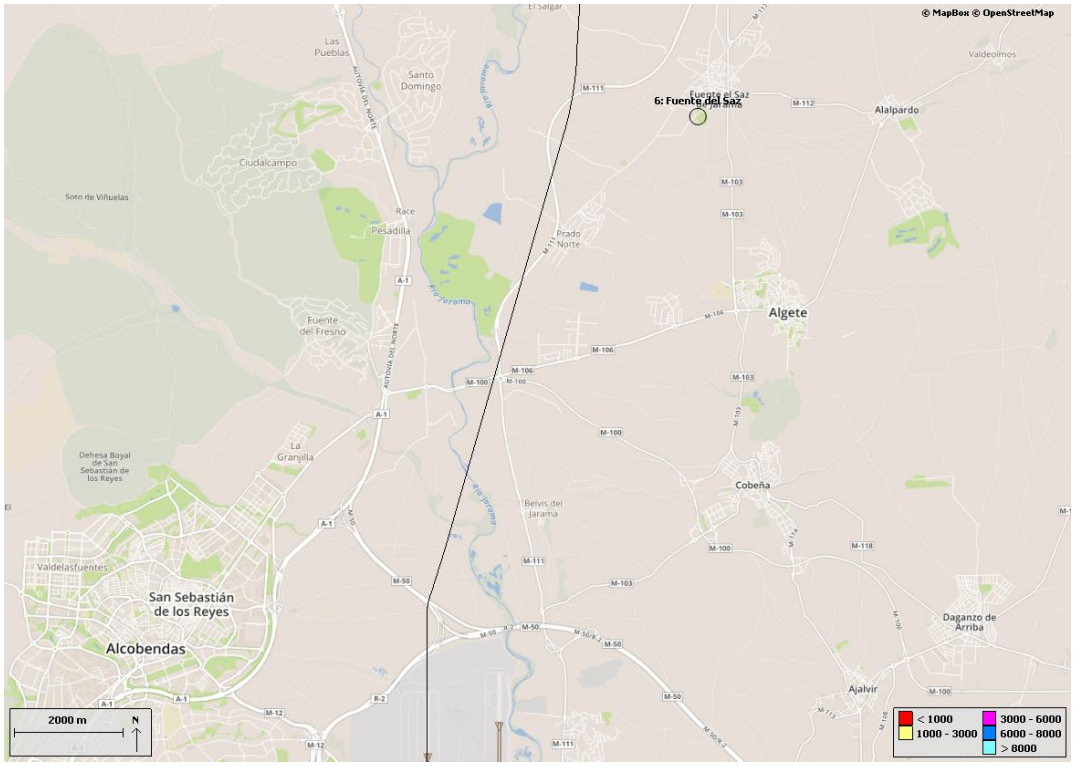

TMR-6 Fuente el Saz

	nov	dic	ene	feb	mar	abr	may	jun	jul	ago	sep	oct	nov
$L_{Aeq,d}$ Total	* 56.8	* 55.7	* 55.6	* 55.9	* 55.7	* 56.6	* 57.8	* 58.7	* 58.4	* 57.3	56.2	57.1	57.7
$L_{Aeq,d}$ Avión	* 53.9	* 53.7	* 53.9	* 53.5	* 51.4	* 53.7	* 55.1	* 54.3	* 53.5	* 53.9	54.2	54.4	54.1

	nov	dic	ene	feb	mar	abr	may	jun	jul	ago	sep	oct	nov
$L_{Aeq,e}$ Total	* 56.0	* 56.1	* 55.2	* 55.6	* 54.5	* 55.4	* 58.7	* 58.5	* 56.4	* 55.4	56.4	56.1	55.6
$L_{Aeq,e}$ Avión	* 54.4	* 53.6	* 53.6	* 53.6	* 50.9	* 52.3	* 54.1	* 53.2	* 50.2	* 51.9	52.6	54.2	53.7

	nov	dic	ene	feb	mar	abr	may	jun	jul	ago	sep	oct	nov
$L_{Aeq,n}$ Total	* 48.1	* 49.9	* 48.3	* 48.0	* 49.0	* 48.1	* 49.6	* 50.1	* 52.6	* 48.3	54.3	48.4	47.8
$L_{Aeq,n}$ Avión	* 46.5	* 46.0	* 46.7	* 45.9	* 45.1	* 45.2	* 47.2	* 46.7	* 45.3	* 45.4	45.4	46.8	45.5

Los datos marcados con * no están amparados por la acreditación ENAC (Datos anteriores a la obtención de la acreditación).

5.8. MEJORADA DEL CAMPO

En el análisis se ha tenido en cuenta la ubicación del TMR con respecto a las rutas nominales más cercanas, así como la afección acústica en las distintas configuraciones y su distancia al aeropuerto.

El ruido medido en el TMR8 Mejorada proviene principalmente de los aterrizajes que se realizan por la pista 32L, y en menor grado de los aterrizajes de la pista 32R, en periodo diurno y Configuración Norte. En periodo nocturno, el ruido generado tiene su origen en los aterrizajes de la pista 32R.

Las aeronaves que despegan por la pista 14R en Configuración Sur y periodo diurno generan sucesos sonoros aeronáuticos que registra el TMR. Durante la noche, la afección acústica proviene de los despegues de la pista 14L.

El mapa incluido a continuación muestra la ubicación del TMR respecto al aeropuerto y las rutas nominales tanto de despegues como aterrizajes, más cercanas al municipio:

Rutas día Configuración Norte

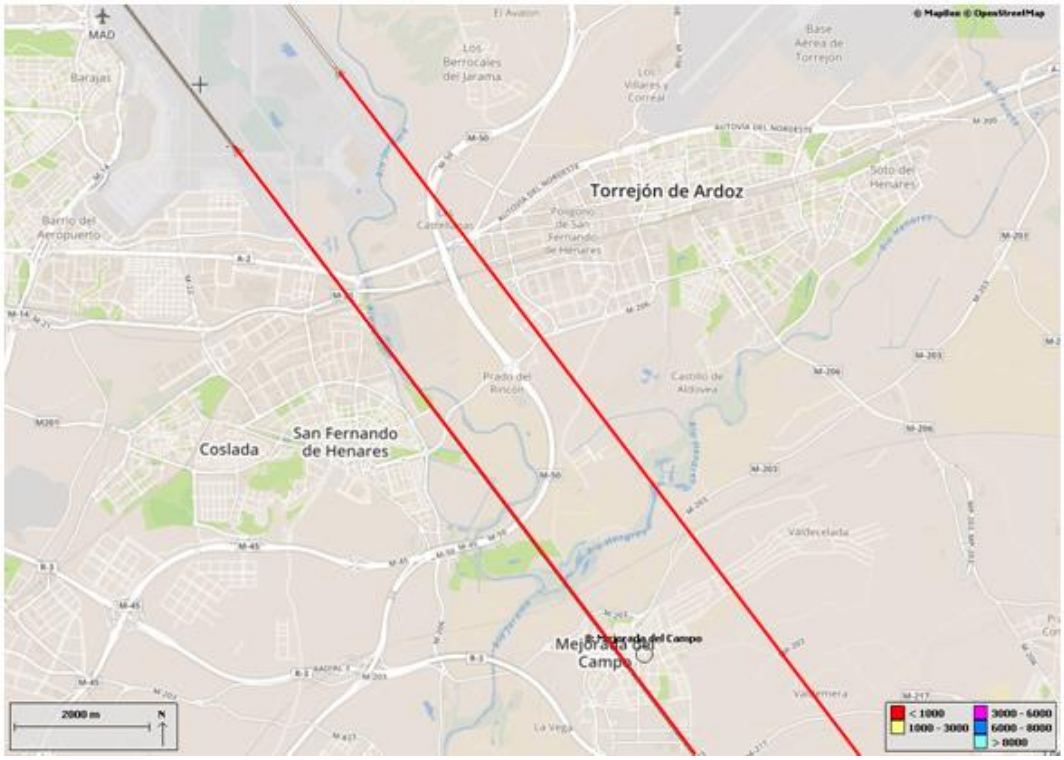

Rutas noche Configuración Norte

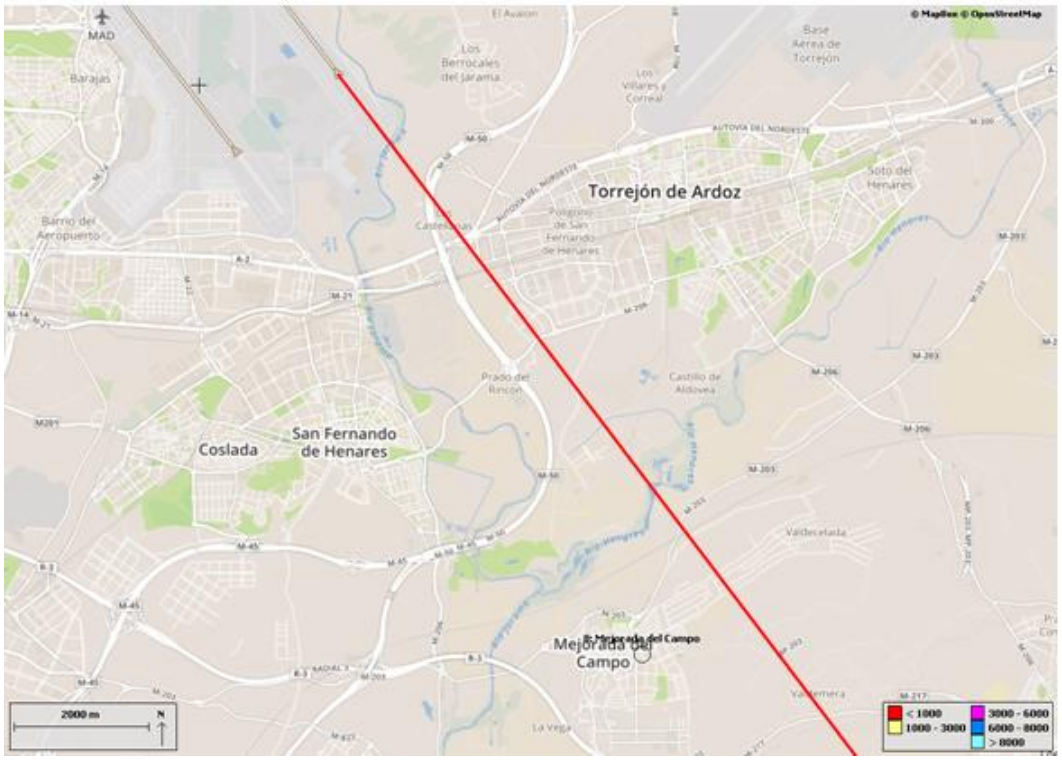

Rutas día Configuración Sur

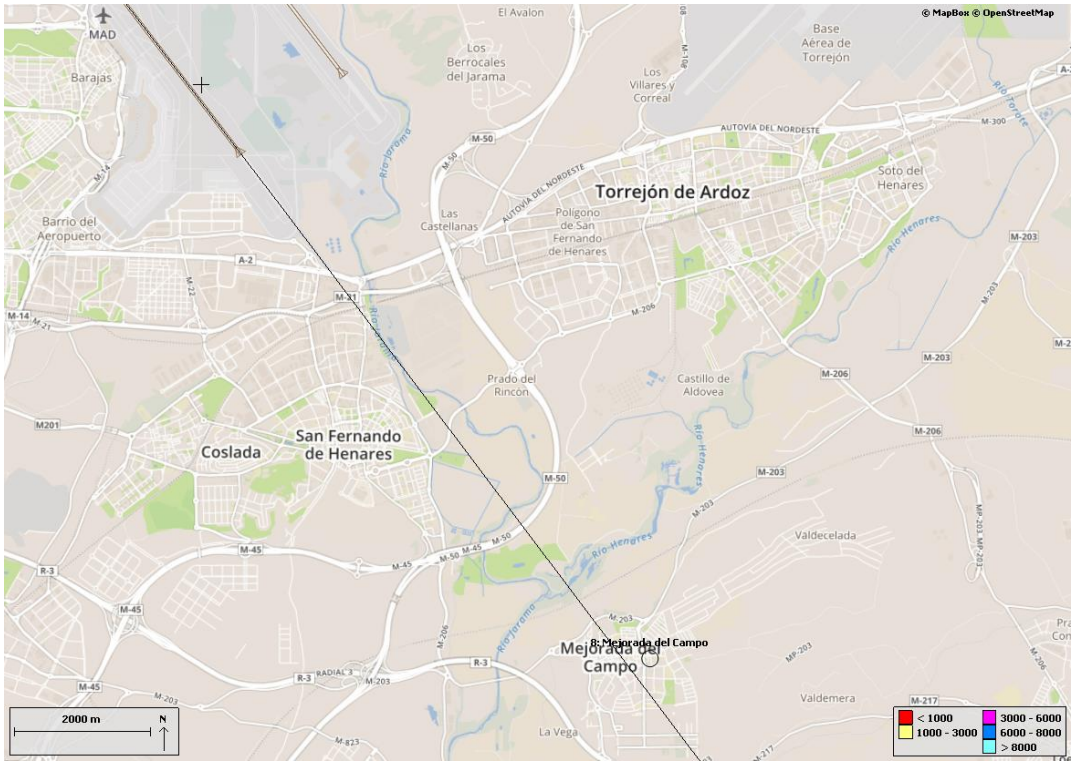

Rutas noche Configuración Sur

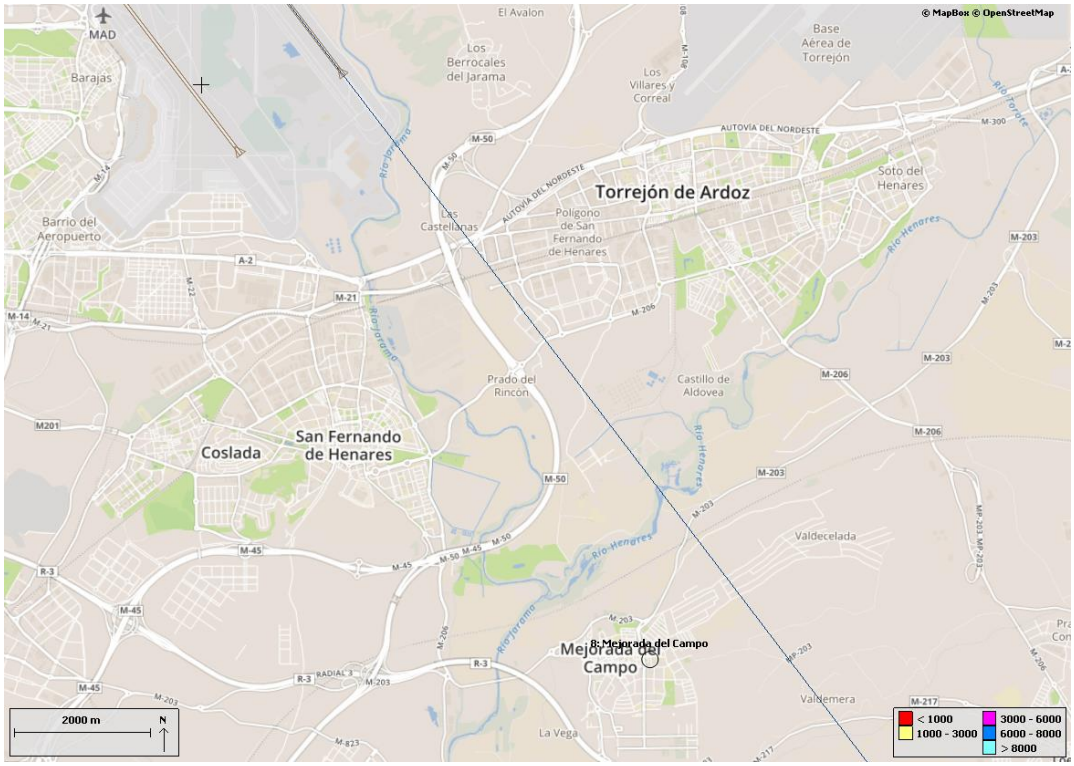

TMR-8 Mejorada

	nov	dic	ene	feb	mar	abr	may	jun	jul	ago	sep	oct	nov
$L_{Aeq,d}$ Total	* 61.4	* 62.3	* 62.6	* 62.0	* 62.6	* 61.7	* 61.4	* 61.3	* 60.9	* 60.4	61.0	61.0	61.5
$L_{Aeq,d}$ Avión	* 59.2	* 59.2	* 59.8	* 59.1	* 59.5	* 59.7	* 59.6	* 59.5	* 59.2	* 58.8	59.4	59.3	59.5

	nov	dic	ene	feb	mar	abr	may	jun	jul	ago	sep	oct	nov
$L_{Aeq,e}$ Total	* 60.9	* 61.3	* 61.5	* 61.3	* 61.2	* 60.0	* 60.2	* 60.5	* 58.8	* 59.1	63.7	61.9	60.4
$L_{Aeq,e}$ Avión	* 59.3	* 59.1	* 59.3	* 59.0	* 58.1	* 57.8	* 58.4	* 58.2	* 56.6	* 57.5	57.9	58.5	58.9

	nov	dic	ene	feb	mar	abr	may	jun	jul	ago	sep	oct	nov
$L_{Aeq,n}$ Total	* 52.3	* 52.6	* 51.7	* 49.9	* 53.0	* 51.6	* 52.1	* 53.4	* 51.1	* 50.0	60.6	50.6	50.3
$L_{Aeq,n}$ Avión	* 48.9	* 47.2	* 48.3	* 44.2	* 47.4	* 47.3	* 47.3	* 45.2	* 46.3	* 45.5	46.7	43.5	45.0

Los datos marcados con * no están amparados por la acreditación ENAC (Datos anteriores a la obtención de la acreditación).

5.9. SAN FERNANDO DE HENARES

En el análisis se ha tenido en cuenta la ubicación del TMR con respecto a las rutas nominales más cercanas, así como la afección acústica en las distintas configuraciones y su distancia al aeropuerto.

El ruido medido en el TMR10 San Fernando procede en su totalidad de los aterrizajes de la pista 32L, en periodo diurno y Configuración Norte. En periodo nocturno, el TMR no presenta afección acústica de los aterrizajes que operan por la pista 32R.

Los sucesos sonoros aeronáuticos registrados por el TMR en Configuración Sur se deben principalmente a los despegues de la pista 14R. También se registran sucesos generados por los despegues de la pista 14L, pero en menor proporción. En Configuración Sur y periodo nocturno el terminal capta algunos sucesos sonoros generados por la los despegues de la pista 14L.

El mapa incluido a continuación muestra la ubicación del TMR respecto al aeropuerto y las rutas nominales tanto de despegues como aterrizajes, más cercanas al municipio:

Rutas día Configuración Norte

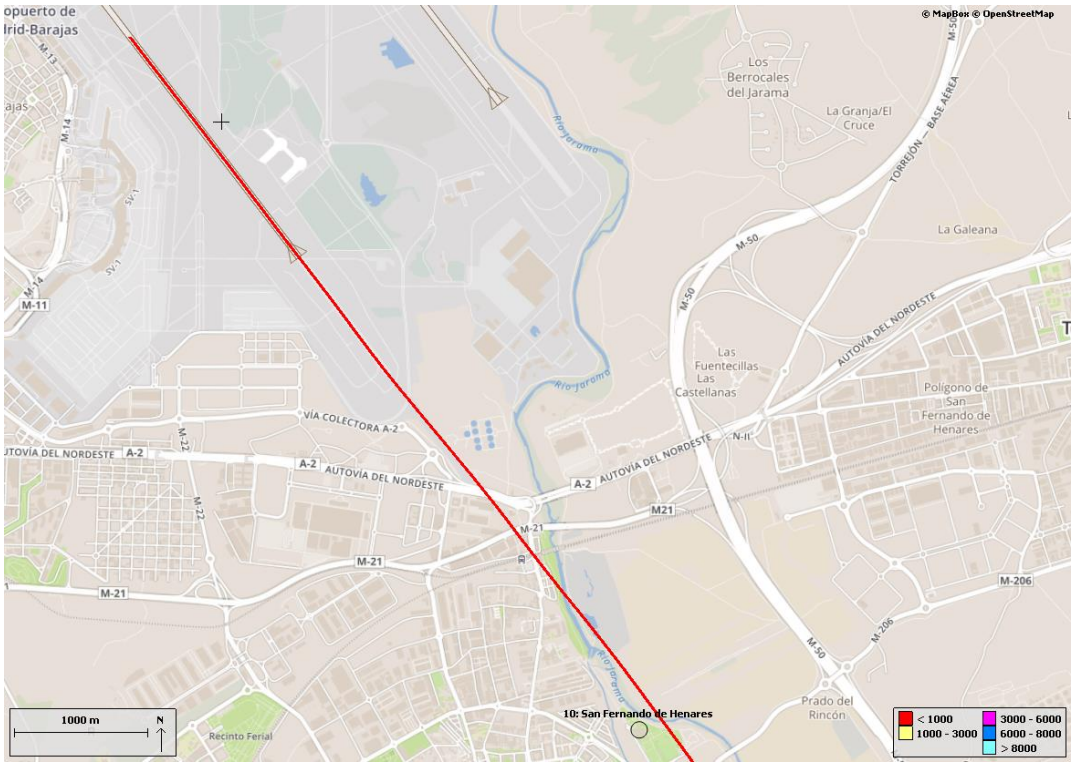

Rutas día Configuración Sur

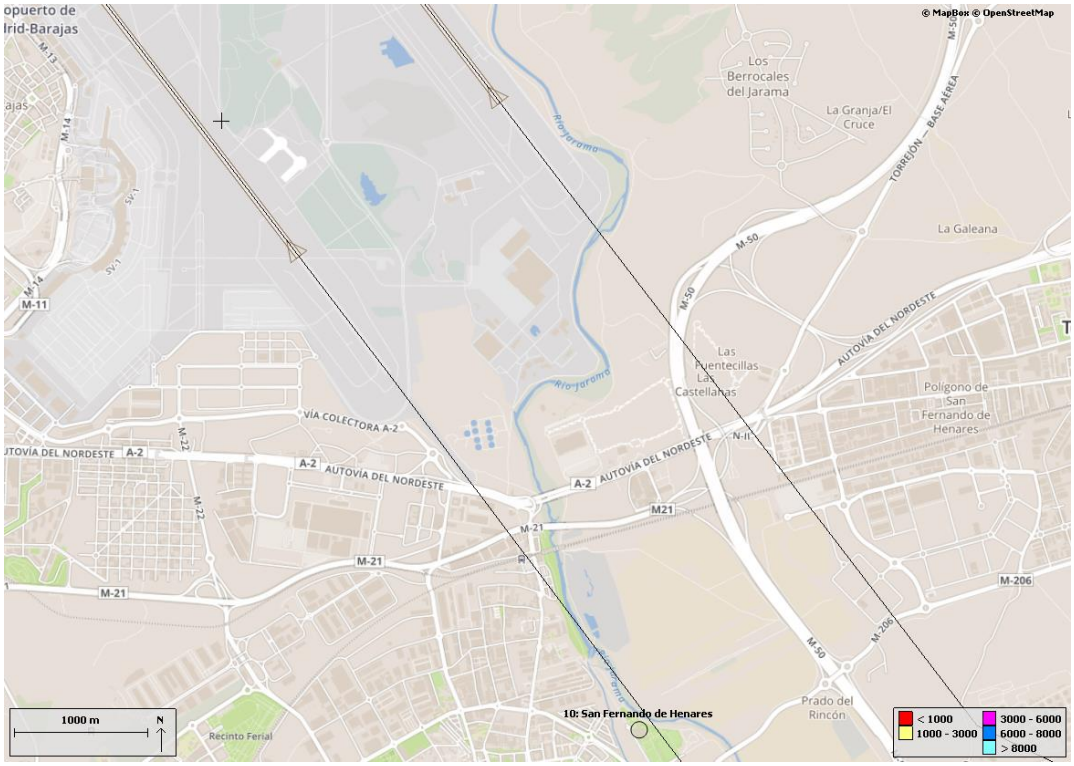

Rutas noche Configuración Sur

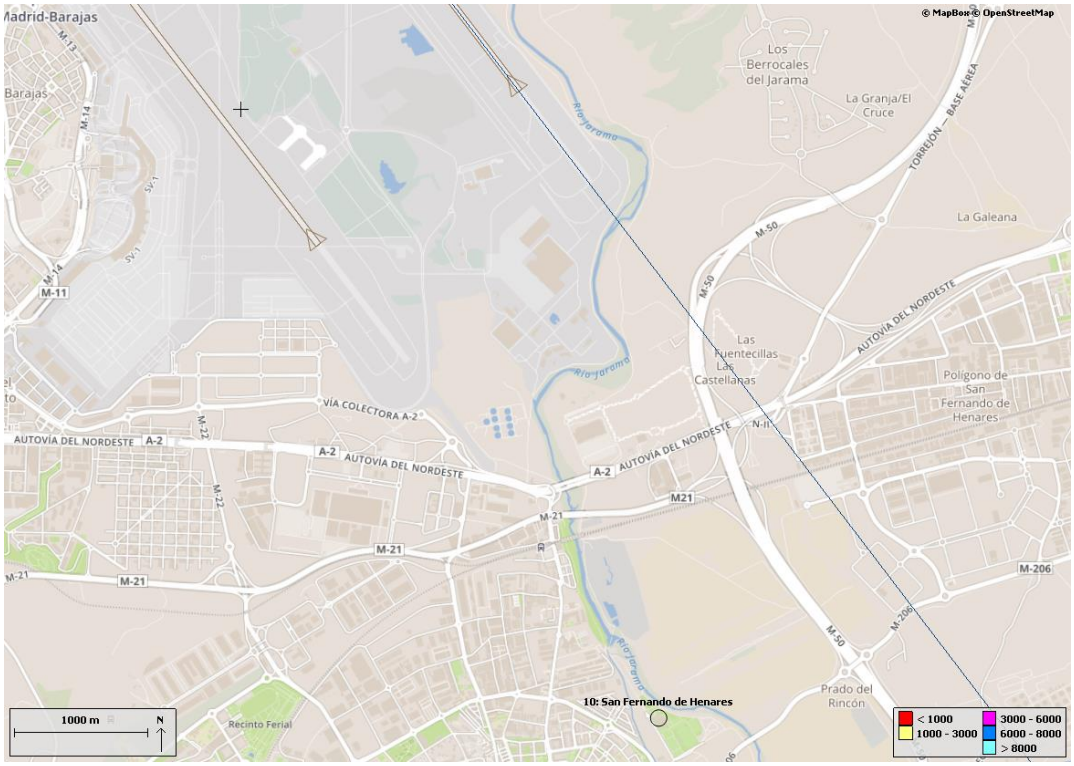

TMR-10 San Fernando

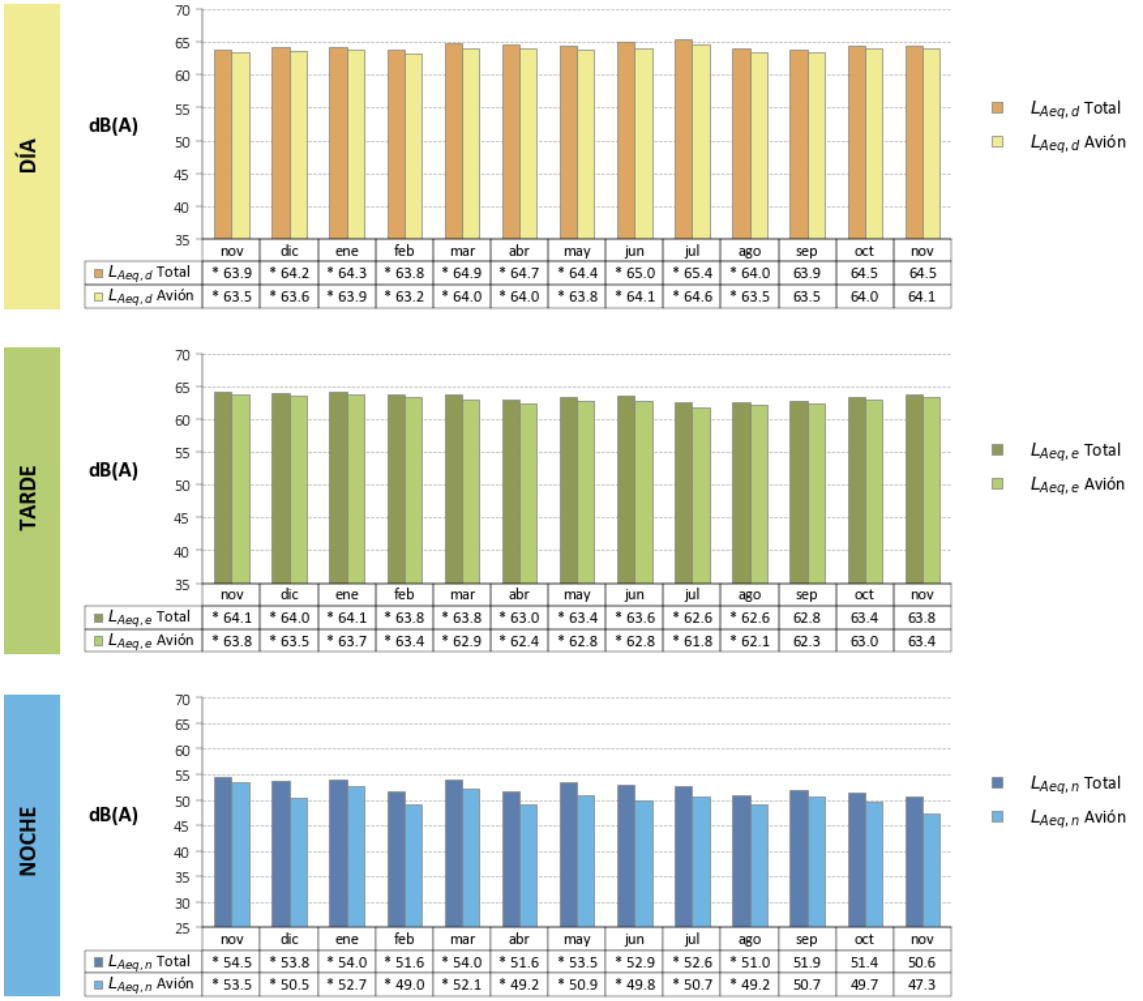

	nov	dic	ene	feb	mar	abr	may	jun	jul	ago	sep	oct	nov
$L_{Aeq,d}$ Total	* 63.9	* 64.2	* 64.3	* 63.8	* 64.9	* 64.7	* 64.4	* 65.0	* 65.4	* 64.0	63.9	64.5	64.5
$L_{Aeq,d}$ Avión	* 63.5	* 63.6	* 63.9	* 63.2	* 64.0	* 64.0	* 63.8	* 64.1	* 64.6	* 63.5	63.5	64.0	64.1

	nov	dic	ene	feb	mar	abr	may	jun	jul	ago	sep	oct	nov
$L_{Aeq,e}$ Total	* 64.1	* 64.0	* 64.1	* 63.8	* 63.8	* 63.0	* 63.4	* 63.6	* 62.6	* 62.6	62.8	63.4	63.8
$L_{Aeq,e}$ Avión	* 63.8	* 63.5	* 63.7	* 63.4	* 62.9	* 62.4	* 62.8	* 62.8	* 61.8	* 62.1	62.3	63.0	63.4

	nov	dic	ene	feb	mar	abr	may	jun	jul	ago	sep	oct	nov
$L_{Aeq,n}$ Total	* 54.5	* 53.8	* 54.0	* 51.6	* 54.0	* 51.6	* 53.5	* 52.9	* 52.6	* 51.0	51.9	51.4	50.6
$L_{Aeq,n}$ Avión	* 53.5	* 50.5	* 52.7	* 49.0	* 52.1	* 49.2	* 50.9	* 49.8	* 50.7	* 49.2	50.7	49.7	47.3

Los datos marcados con * no están amparados por la acreditación ENAC (Datos anteriores a la obtención de la acreditación).

5.10. COSLADA

En el análisis se ha tenido en cuenta la ubicación del TMR con respecto a las rutas nominales más cercanas, así como la afección acústica en las distintas configuraciones y su distancia al aeropuerto.

El ruido medido en el TMR11 Coslada procede en su totalidad de los aterrizajes de la pista 32L, en periodo diurno y Configuración Norte. En periodo nocturno, el TMR no presenta afección acústica de los aterrizajes que operan por la pista 32R.

Los sucesos sonoros aeronáuticos registrados por el TMR en Configuración Sur se deben principalmente a los despegues de la pista 14R, y registra algunos sucesos generados por los despegues de la pista 14L. El TMR correlaciona sucesos sonoros con despegues de la pista 14L en periodo nocturno.

El mapa incluido a continuación muestra la ubicación del TMR respecto al aeropuerto y las rutas nominales tanto de despegues como aterrizajes, más cercanas al municipio:

Rutas día Configuración Norte

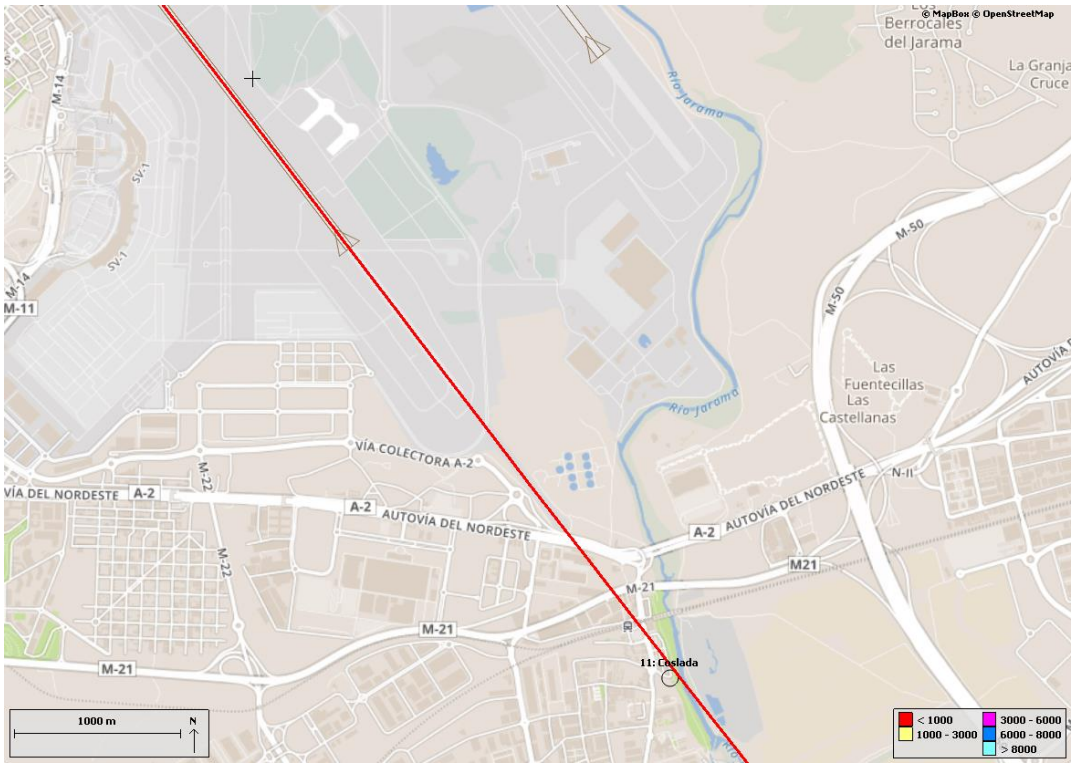

Rutas día Configuración Sur

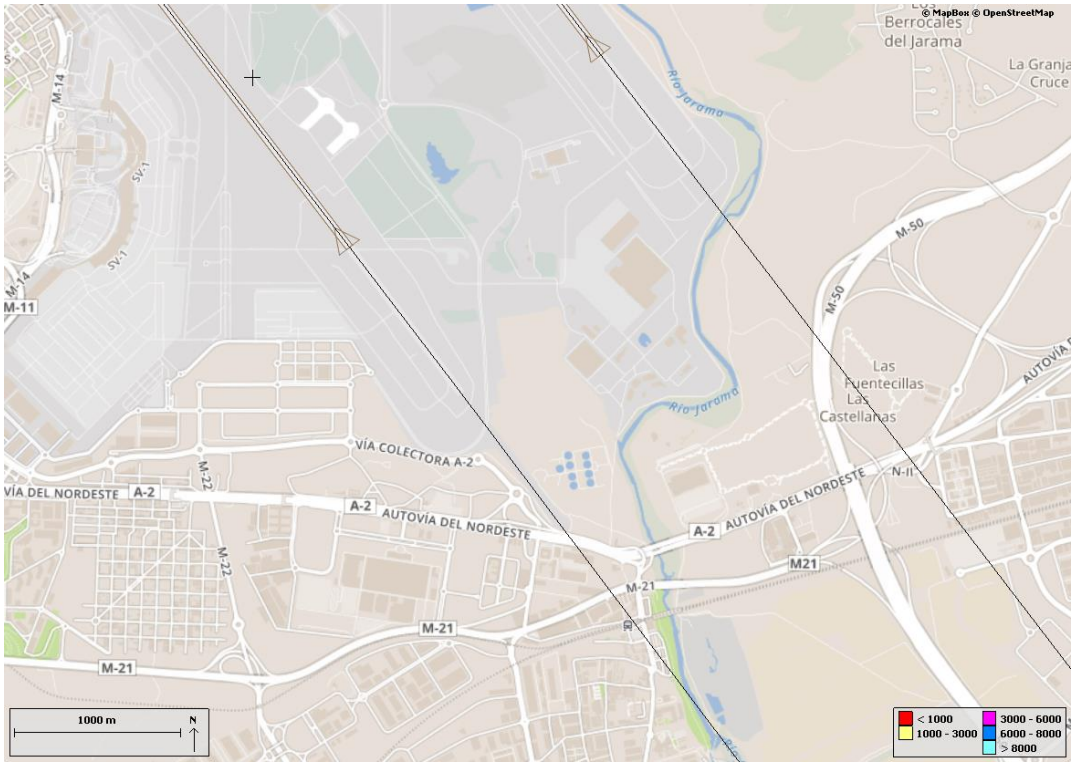

Rutas noche Configuración Sur

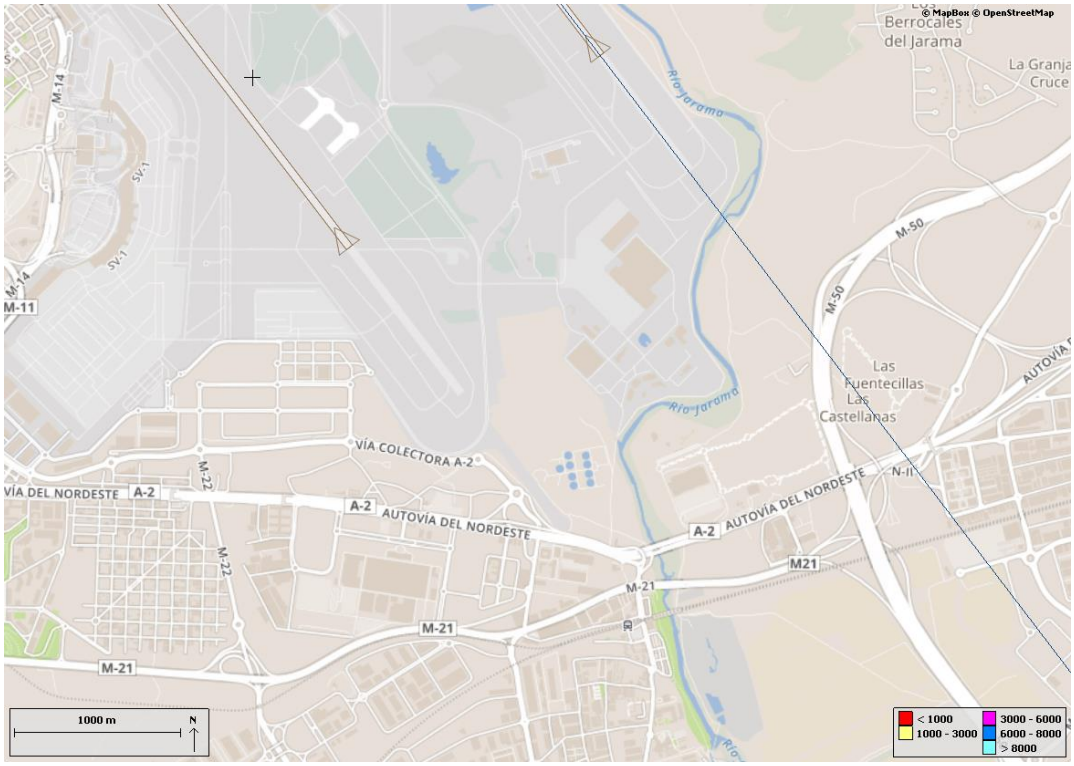

TMR-11 Coslada

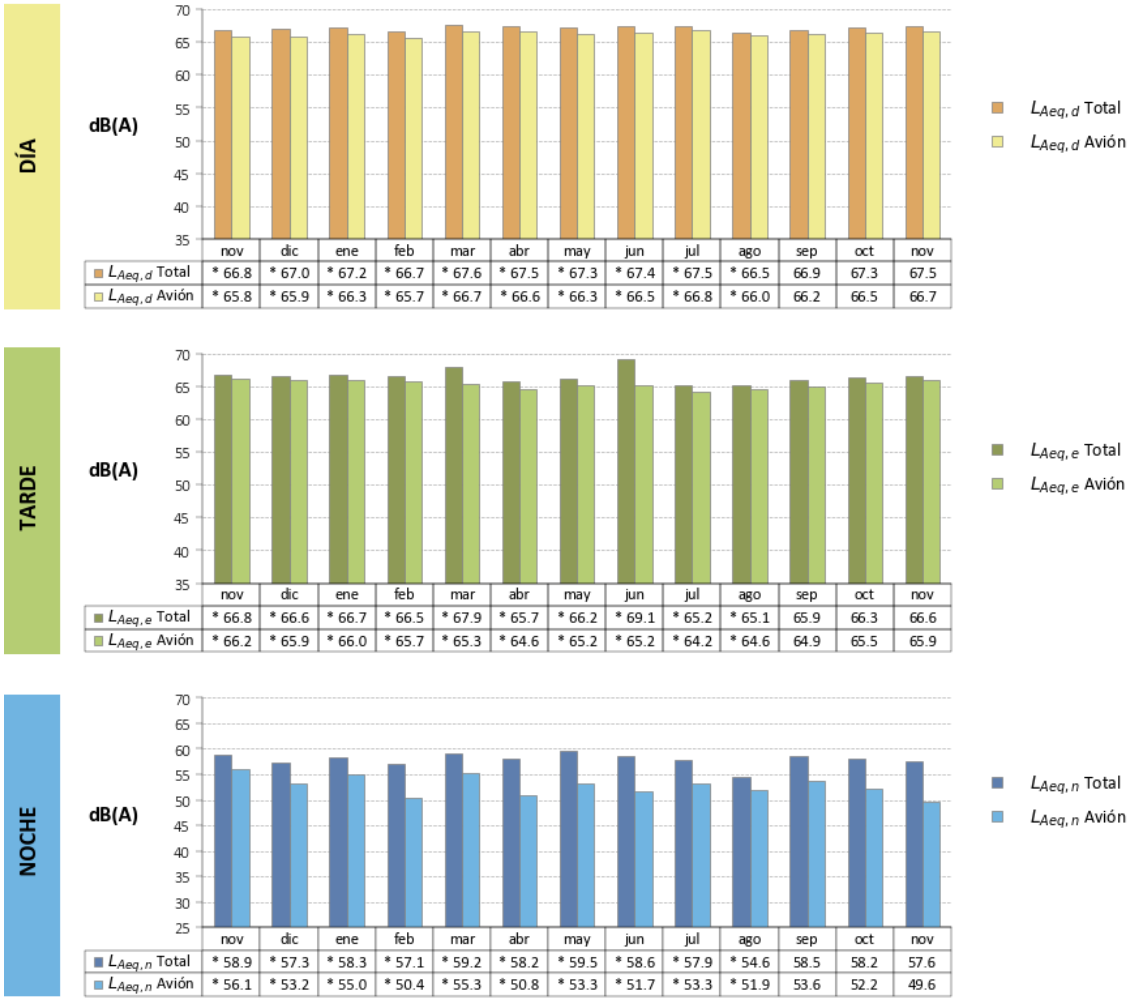

	nov	dic	ene	feb	mar	abr	may	jun	jul	ago	sep	oct	nov
$L_{Aeq,d}$ Total	* 66.8	* 67.0	* 67.2	* 66.7	* 67.6	* 67.5	* 67.3	* 67.4	* 67.5	* 66.5	66.9	67.3	67.5
$L_{Aeq,d}$ Avión	* 65.8	* 65.9	* 66.3	* 65.7	* 66.7	* 66.6	* 66.3	* 66.5	* 66.8	* 66.0	66.2	66.5	66.7

	nov	dic	ene	feb	mar	abr	may	jun	jul	ago	sep	oct	nov
$L_{Aeq,e}$ Total	* 66.8	* 66.6	* 66.7	* 66.5	* 67.9	* 65.7	* 66.2	* 69.1	* 65.2	* 65.1	65.9	66.3	66.6
$L_{Aeq,e}$ Avión	* 66.2	* 65.9	* 66.0	* 65.7	* 65.3	* 64.6	* 65.2	* 65.2	* 64.2	* 64.6	64.9	65.5	65.9

	nov	dic	ene	feb	mar	abr	may	jun	jul	ago	sep	oct	nov
$L_{Aeq,n}$ Total	* 58.9	* 57.3	* 58.3	* 57.1	* 59.2	* 58.2	* 59.5	* 58.6	* 57.9	* 54.6	58.5	58.2	57.6
$L_{Aeq,n}$ Avión	* 56.1	* 53.2	* 55.0	* 50.4	* 55.3	* 50.8	* 53.3	* 51.7	* 53.3	* 51.9	53.6	52.2	49.6

Los datos marcados con * no están amparados por la acreditación ENAC (Datos anteriores a la obtención de la acreditación).

5.11. TRES CANTOS

En el análisis se ha tenido en cuenta la ubicación del TMR con respecto a las rutas nominales más cercanas, así como la afección acústica en las distintas configuraciones y su distancia al aeropuerto.

El ruido medido en el TMR16 Tres Cantos proviene de las operaciones de las rutas conocidas como Oeste Corta. Las rutas nocturnas operan alejadas del TMR.

El TMR16 se encuentra muy alejado de las rutas de aterrizaje en Configuración Sur, tanto en periodo diurno como en periodo nocturno.

El mapa incluido a continuación muestra la ubicación del TMR respecto al aeropuerto y las rutas nominales tanto de despegues como aterrizajes, más cercanas al municipio:

Rutas día Configuración Norte

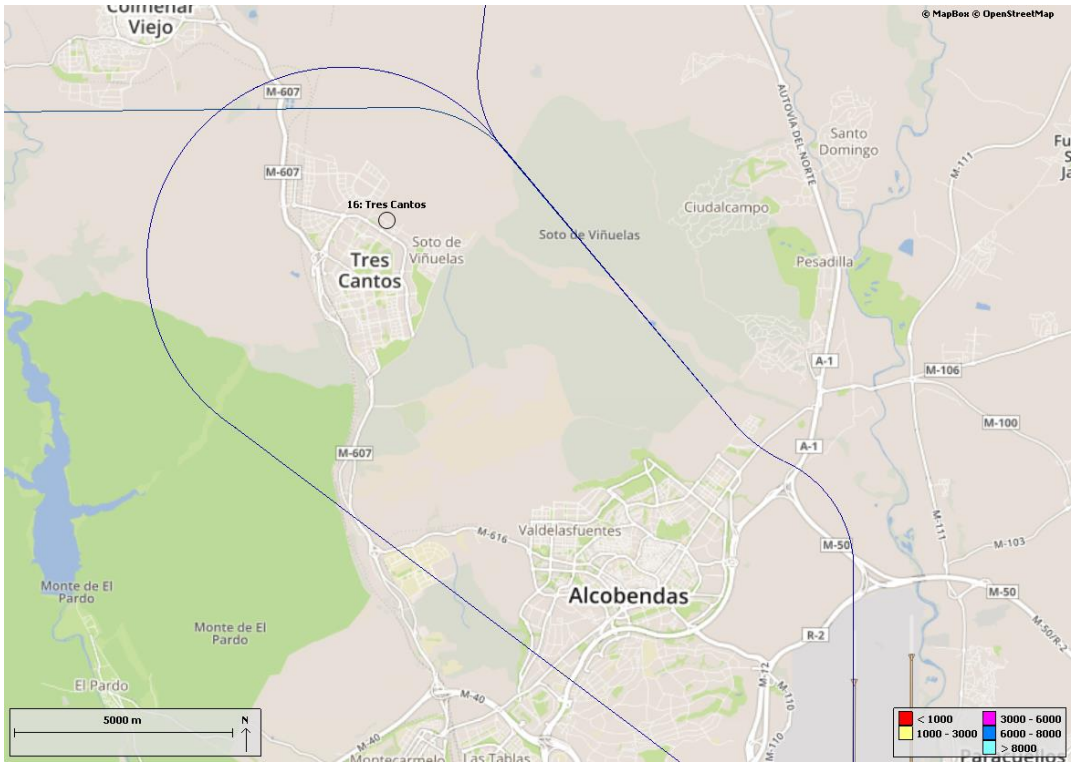

TMR-16 Tres Cantos

DÍA

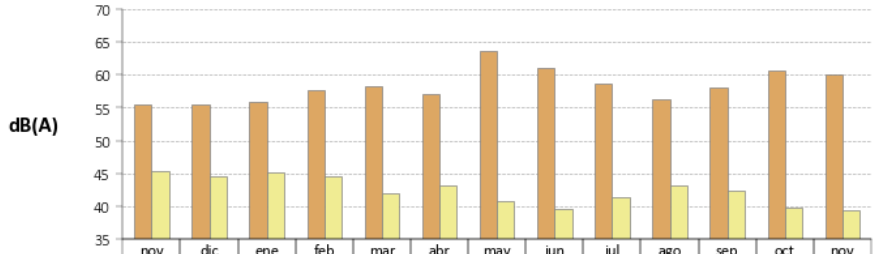

	nov	dic	ene	feb	mar	abr	may	jun	jul	ago	sep	oct	nov
$L_{Aeq,d}$ Total	* 55.5	* 55.4	* 55.8	* 57.7	* 58.2	* 57.1	* 63.6	* 61.1	* 58.7	* 56.2	58.1	60.7	60.0
$L_{Aeq,d}$ Avión	* 45.3	* 44.6	* 45.1	* 44.5	* 41.9	* 43.2	* 40.7	* 39.6	* 41.4	* 43.2	** 42.4	** 39.7	** 39.3

TARDE

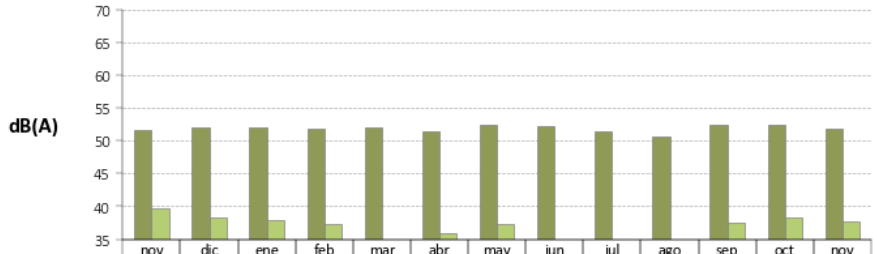

	nov	dic	ene	feb	mar	abr	may	jun	jul	ago	sep	oct	nov
$L_{Aeq,e}$ Total	* 51.7	* 52.0	* 52.1	* 51.8	* 52.1	* 51.5	* 52.5	* 52.2	* 51.4	* 50.6	52.4	52.5	51.9
$L_{Aeq,e}$ Avión	* 39.7	* 38.3	* 37.8	* 37.2	* 33.4	* 35.9	* 37.3	* 34.7	* 32.9	* 32.5	37.4	38.2	37.7

NOCHE

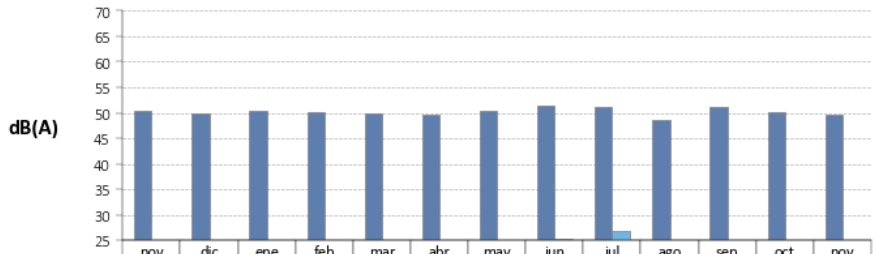

	nov	dic	ene	feb	mar	abr	may	jun	jul	ago	sep	oct	nov
$L_{Aeq,n}$ Total	* 50.4	* 49.8	* 50.4	* 50.1	* 49.8	* 49.7	* 50.5	* 51.4	* 51.1	* 48.7	51.2	50.2	49.7
$L_{Aeq,n}$ Avión	* 0.0	* 11.6	* 15.9	* 17.3	* 14.1	* 0.0	* 18.9	* 25.4	* 26.9	* 22.9	24.2	17.5	13.6

Los datos marcados con * no están amparados por la acreditación ENAC (Datos anteriores a la obtención de la acreditación).

** Dato no amparado por la acreditación ENAC (disponibilidad de datos inferior al 70%).

5.12. EL MOLAR

En el análisis se ha tenido en cuenta la ubicación del TMR con respecto a las rutas nominales más cercanas, así como la afección acústica en las distintas configuraciones y su distancia al aeropuerto.

El ruido medido en el TMR18 El Molar en periodo diurno y en Configuración Norte, proviene principalmente de las operaciones de las rutas conocidas como Oeste Larga. En periodo nocturno, algunos despegues generan sucesos sonoros que son captados por el TMR.

El TMR18 se encuentra próximo a las dos rutas de aproximación de aterrizajes en Configuración Sur y periodo diurno. Durante la noche, la afección acústica proviene de los aterrizajes de la pista 18L.

El mapa incluido a continuación muestra la ubicación del TMR respecto al aeropuerto y las rutas nominales tanto de despegues como aterrizajes, más cercanas al municipio:

Rutas día Configuración Norte

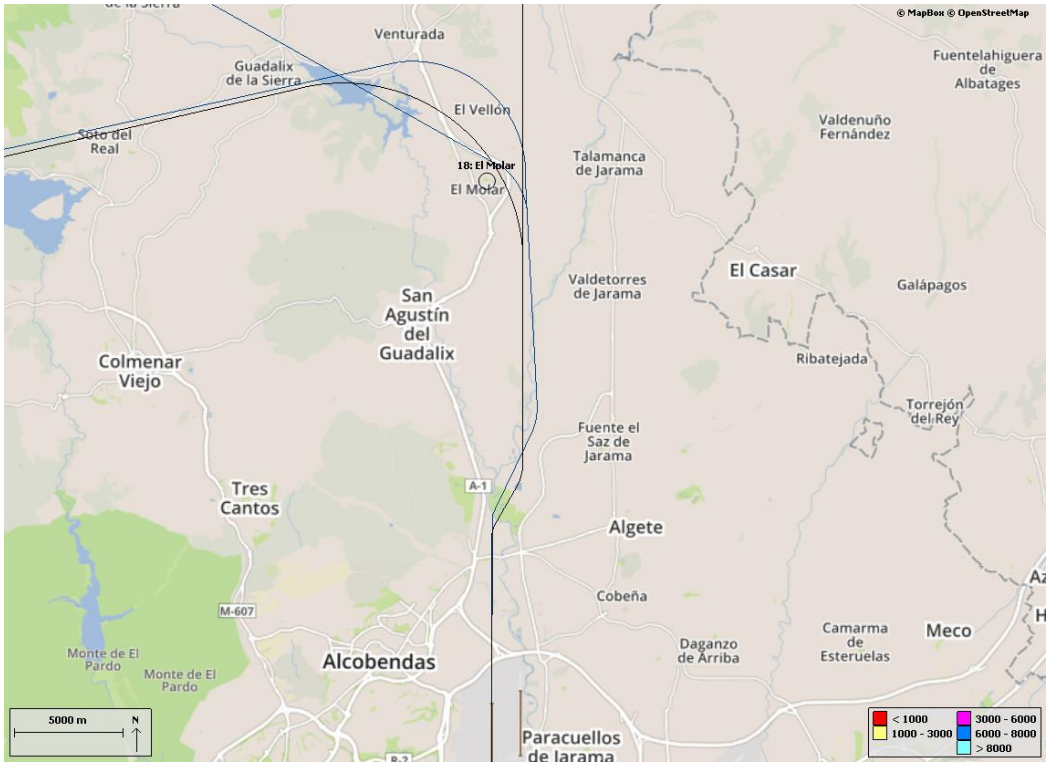

Rutas noche Configuración Norte

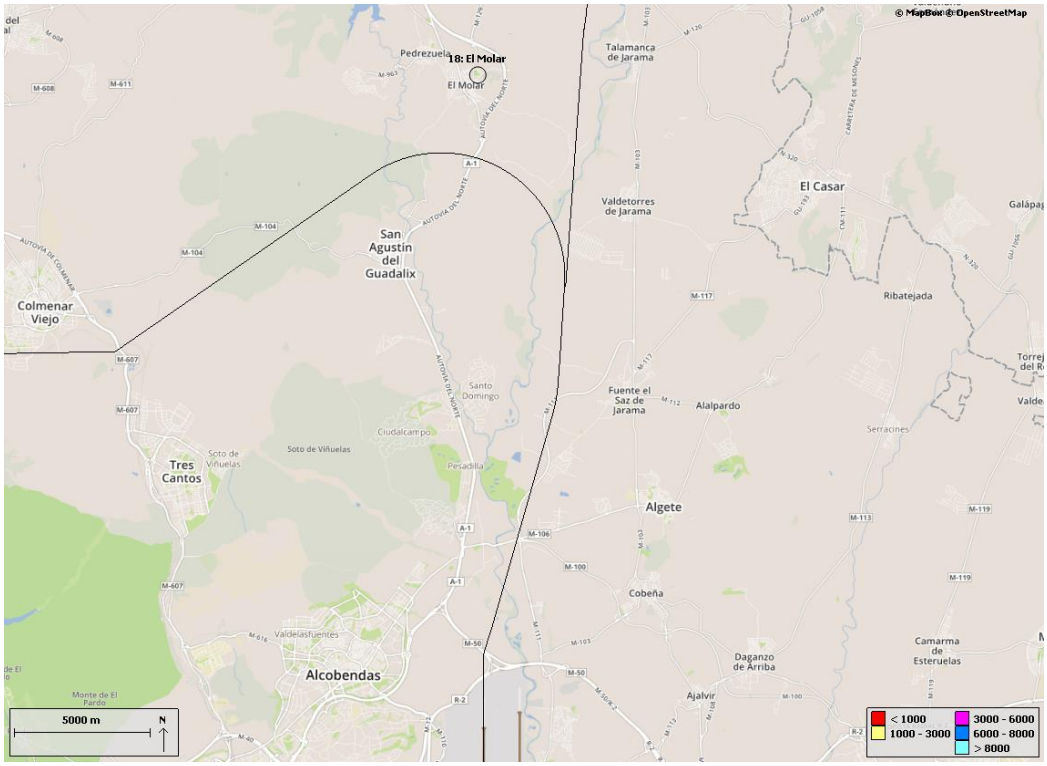

Rutas día y noche Configuración Sur.

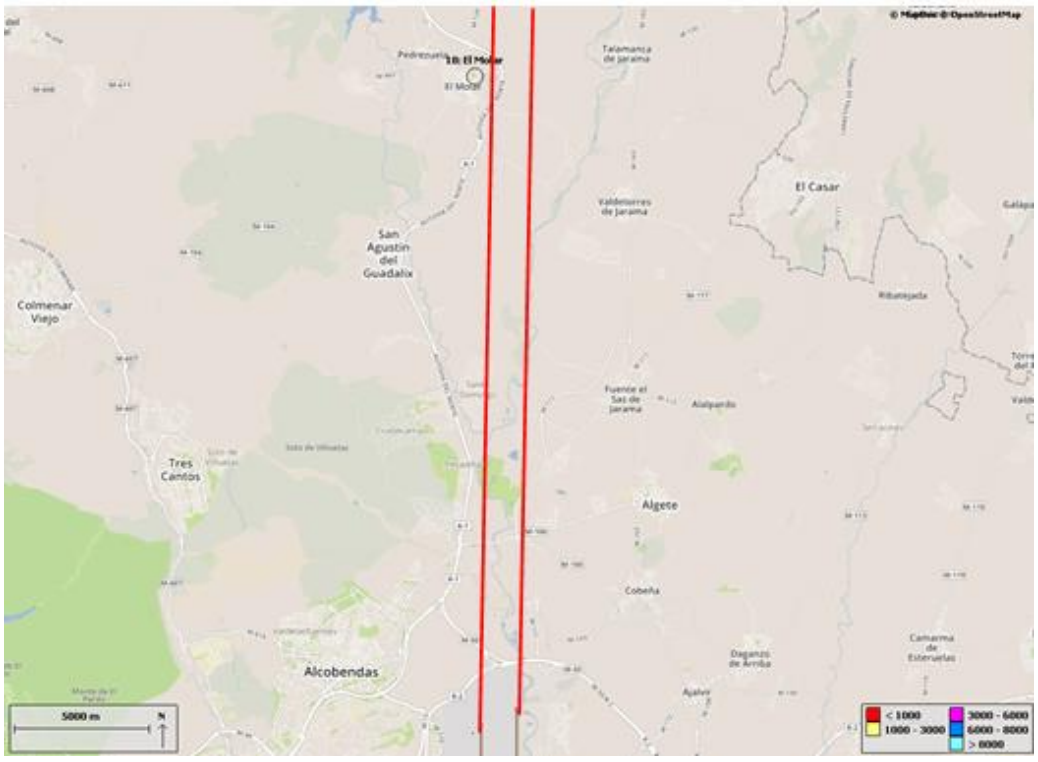

TMR-18 El Molar

DÍA

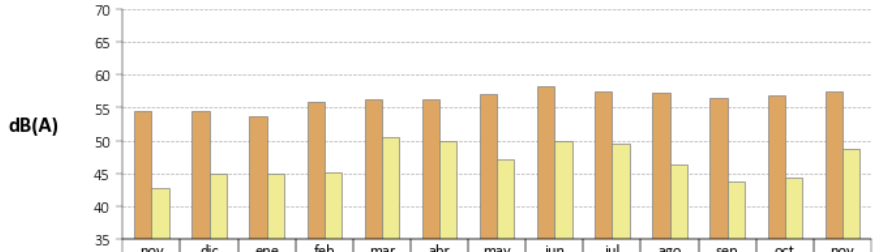

	nov	dic	ene	feb	mar	abr	may	jun	jul	ago	sep	oct	nov
$L_{Aeq,d}$ Total	* 54.4	* 54.4	* 53.6	* 55.8	* 56.3	* 56.3	* 57.1	* 58.3	* 57.4	* 57.3	56.4	56.8	57.5
$L_{Aeq,d}$ Avión	* 42.8	* 45.0	* 45.0	* 45.1	* 50.6	* 50.0	* 47.2	* 50.0	* 49.6	* 46.3	43.7	** 44.3	48.7

TARDE

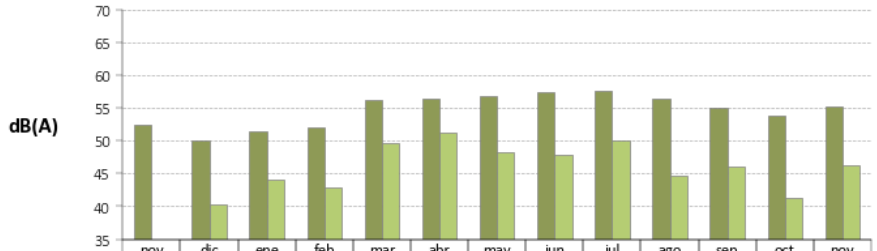

	nov	dic	ene	feb	mar	abr	may	jun	jul	ago	sep	oct	nov
$L_{Aeq,e}$ Total	* 52.4	* 50.1	* 51.5	* 52.1	* 56.3	* 56.4	* 56.8	* 57.5	* 57.6	* 56.5	55.1	53.8	55.2
$L_{Aeq,e}$ Avión	* 32.4	* 40.2	* 44.1	* 42.9	* 49.7	* 51.3	* 48.2	* 47.8	* 50.0	* 44.6	46.1	41.3	46.2

NOCHE

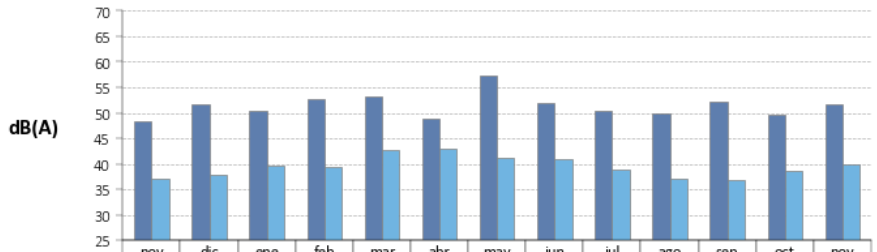

	nov	dic	ene	feb	mar	abr	may	jun	jul	ago	sep	oct	nov
$L_{Aeq,n}$ Total	* 48.4	* 51.7	* 50.4	* 52.8	* 53.3	* 48.8	* 57.2	* 52.0	* 50.4	* 50.0	52.2	49.5	51.6
$L_{Aeq,n}$ Avión	* 37.2	* 37.9	* 39.6	* 39.3	* 42.6	* 43.0	* 41.2	* 40.8	* 38.8	* 37.1	36.8	38.6	39.9

Los datos marcados con * no están amparados por la acreditación ENAC (Datos anteriores a la obtención de la acreditación).

** Dato no amparado por la acreditación ENAC (disponibilidad de datos inferior al 70%).

Instalado en una nueva ubicación el 18/05/2018.

5.13. TORREJÓN DE ARDOZ

En el análisis se ha tenido en cuenta la ubicación del TMR con respecto a las rutas nominales más cercanas, así como la afección acústica en las distintas configuraciones y su distancia al aeropuerto.

El ruido medido en el TMR20 Torrejón en periodo diurno y en Configuración Norte, proviene de los aterrizajes de la pista 32R, al igual que en periodo nocturno.

En Configuración Sur, tanto en periodo diurno como en nocturno, la afección acústica proviene de los despegues de la pista 14L.

El mapa incluido a continuación muestra la ubicación del TMR respecto al aeropuerto y las rutas nominales tanto de despegues como aterrizajes, más cercanas al municipio:

Rutas día y noche Configuración Norte

Rutas día Configuración Sur.

Rutas noche Configuración Sur.

TMR-20 Torrejón

Pendiente del cambio a una nueva ubicación.

6 Análisis de dispersión vertical y horizontal de trayectorias

Para facilitar el análisis de la dispersión vertical y horizontal que se puede estar registrando en las rutas definidas, se representan gráficamente las aeronaves que han atravesado un plano vertical sobre el municipio (puerta) en el mes de referencia.

La información que se obtiene en estos gráficos es:

- La dispersión vertical de las trayectorias. En el eje de ordenadas se muestra la altitud de paso de las aeronaves (ft). Se ha representado como una línea verde el nivel de vuelo 10000 ft, por encima del cual no se aplican restricciones al abandono de la ruta nominal.
- La dispersión horizontal de las trayectorias. El municipio queda representado entre las dos líneas negras de puntos verticales (puerta), con lo que todos los puntos que se encuentren en este espacio, por debajo del nivel de vuelo de 10000 ft, son los sobrevuelos que ha tenido la localidad.
- En la parte superior derecha, en dos cuadros se expresan los valores:
    - Total vuelos, en el cuadro 'Total'.
    - Sobrevuelos, en el cuadro 'Puerta', que son los que han sobrevolado el municipio a cualquier nivel de vuelo.
- En los casos en que una ruta nominal queda en las proximidades del municipio, se ha representado como una línea negra o verde vertical, según se trate de una ruta SID convencional o una ruta SID P-RNAV, respectivamente. En la parte superior aparece su denominación.
- Previamente a las gráficas de los municipios se ha insertado una gráfica al inicio con una puerta-tipo donde se muestra toda la información anterior con las leyendas correspondientes.

Los municipios que se estudian en condiciones de operación de Configuración Sur son: Arganda, Campo Real, Coslada, Loeches, Los Berrocales, Madrid, Mejorada, Rivas, San Fernando de Henares, Torrejón, Torres de la Alameda y Velilla. Los restantes municipios han sido estudiados en condiciones de operación de Configuración Norte.

Para facilitar la consulta a las gráficas realizadas, se ha procedido a ordenarlas por orden alfabético:

Gráficas de Municipios		
Alarpardo-Valdeolmos		**Manzanares del Real**
Algete		**Mejorada del Campo**
Arganda		**Paracuellos**
Belvis		**Pedrezuela**
Campo Real		**Prado Norte**
Ciudalcampo		**Rivas**
Club de Campo		**San Agustín de Guadalix**
Cobeña		**San Fernando de Henares**
Colmenar Viejo		**San Sebastián de los Reyes**
Coslada		**Santo Domingo**
Dehesa Vieja		**Soto del Real**
El Molar		**Talamanca del Jarama**
Fuente del Fresno		**Torrejón de Ardoz**
Fuente el Saz		**Torres de la Alameda**
Guadalix de la Sierra		**Tres Cantos – Soto de Viñuelas**
La Granjilla		**Valdelagua**
Loeches		**Valdetorres**
Los Berrocales		**Velilla de San Antonio**
Madrid		

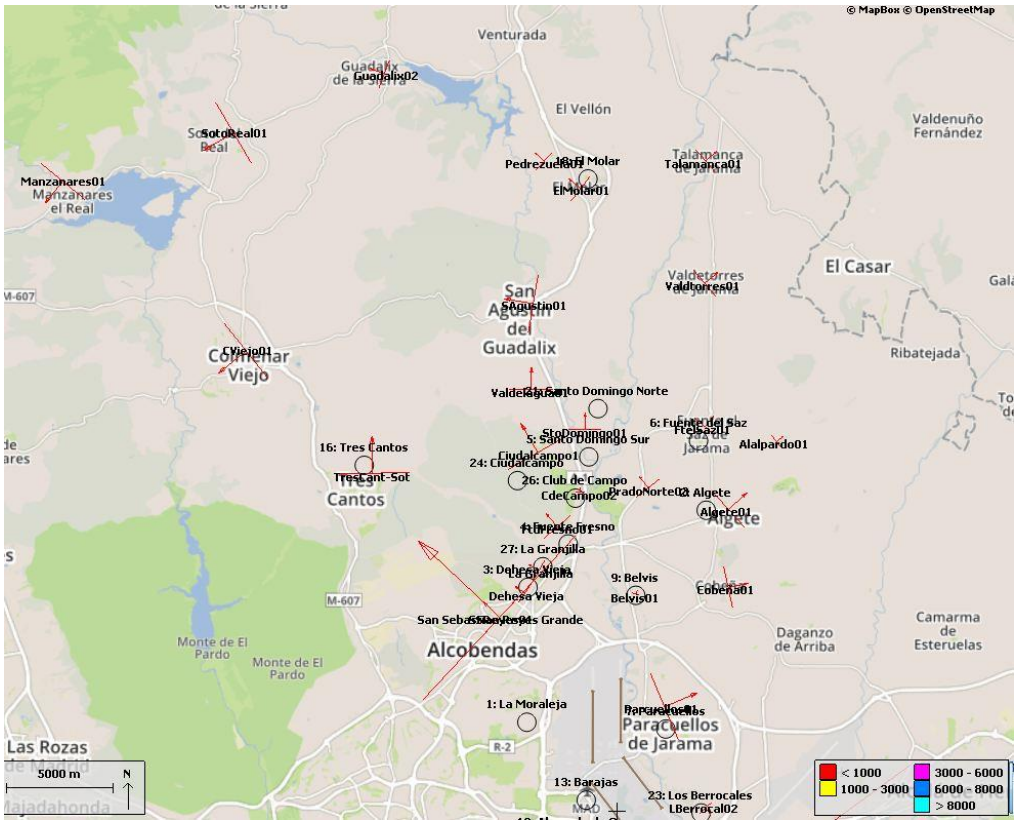
© MapBox © OpenStreetMap
Venturada
Guadalix de la Sierra
Guadalix02
El Vellón
SotoReal01
Manzanares01
Manzanares el Real
Pedrezuela01
El Molar
El Molar01
Talamanca de Jarama
Talamanca01
Valdenuño Fernández
El Casar
Valdetorres de Jarama
Valdetorres01
San Agustín del Guadalix
SAgustin01
Ribatejada
CViejo01
Colmenar Viejo
Valdelasfuentes01
21: Santo Domingo Norte
6: Fuente del Saz
FresSaz01
5: Santo Domingo Sur
StoDomingo01
Alalpardo01
16: Tres Cantos
24: Ciudalcampo
Ciudalcampo1
TresCant-Sot
Tres Cantos
26: Club de Campo
CdeCampo02
PradoNorte02
22: Algete
Algete01
Algete
Fuente Fresno
FuenteFresno01
27: La Granjilla
3: Dehesa Vieja
La Granjilla
9: Belvis
Belvis01
Cobeña01
Dehesa Vieja
San Sebastián de los Reyes
Alcobendas
Monte de El Pardo
Daganzo de Arriba
Camarma de Esteruelas
1: La Moraleja
Paracuellos01
Paracuellos de Jarama
Las Rozas de Madrid
R-2
13: Barajas
23: Los Berrocales
LBerrocal02
5000 m
N
< 1000
1000 - 3000
3000 - 6000
6000 - 8000
> 8000

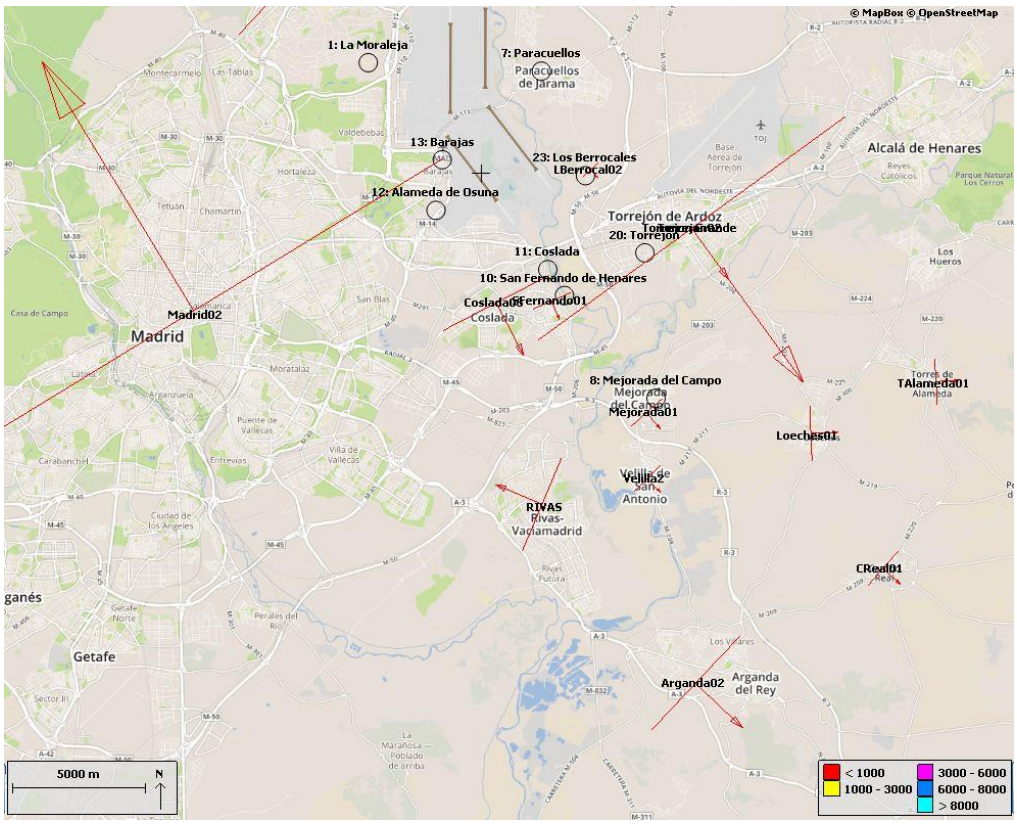
© MapBox © OpenStreetMap
1: La Moraleja
7: Paracuellos
Paracuellos de Jarama
13: Barajas
23: Los Berrocales
LBerrocal02
12: Alameda de Osuna
Alcalá de Henares
Torrejón de Ardoz
20: Torrejón
11: Coslada
10: San Fernando de Henares
Coslada08
SFernando01
Coslada
Madrid02
Madrid
8: Mejorada del Campo
Mejorada01
TAlameda01
Loeches01
Velilla02
RIVAS
Rivas-Vaciamadrid
CReal01
Getafe
Arganda02
Arganda del Rey
5000 m
N
< 1000
1000 - 3000
3000 - 6000
6000 - 8000
> 8000

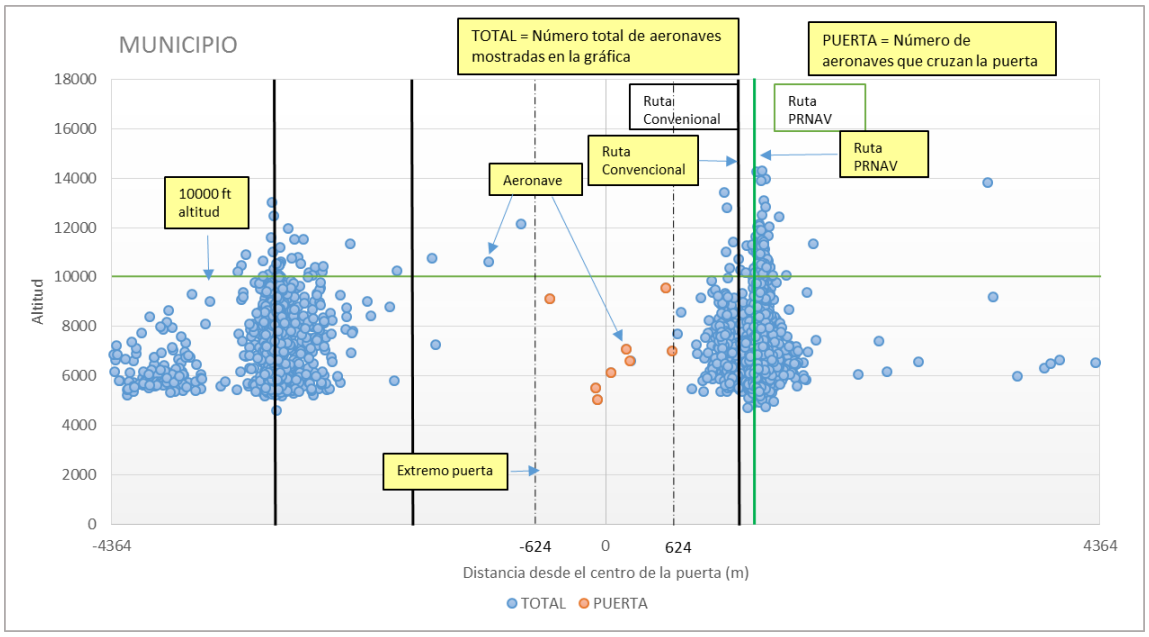
MUNICIPIO
TOTAL = Número total de aeronaves mostradas en la gráfica
PUERTA = Número de aeronaves que cruzan la puerta
Ruta Convenional
Ruta PRNAV
Ruta Convencional
Ruta PRNAV
Aeronave
10000 ft altitud
Extremo puerta
Altitud
18000
16000
14000
12000
10000
8000
6000
4000
2000
0
-4364
-624
0
624
4364
Distancia desde el centro de la puerta (m)
TOTAL
PUERTA

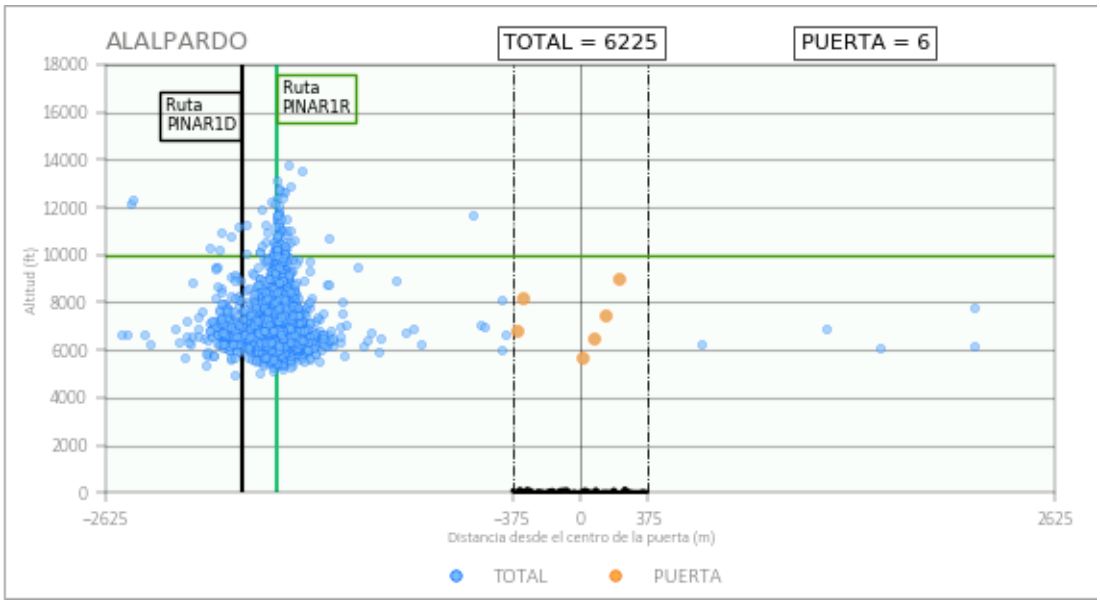
ALALPARDO
TOTAL = 6225
PUERTA = 6
Ruta PINAR1D
Ruta PINAR1R
18000
16000
14000
12000
10000
8000
6000
4000
2000
0
Altitud (ft)
-2625
-375
0
375
2625
Distancia desde el centro de la puerta (m)
TOTAL
PUERTA

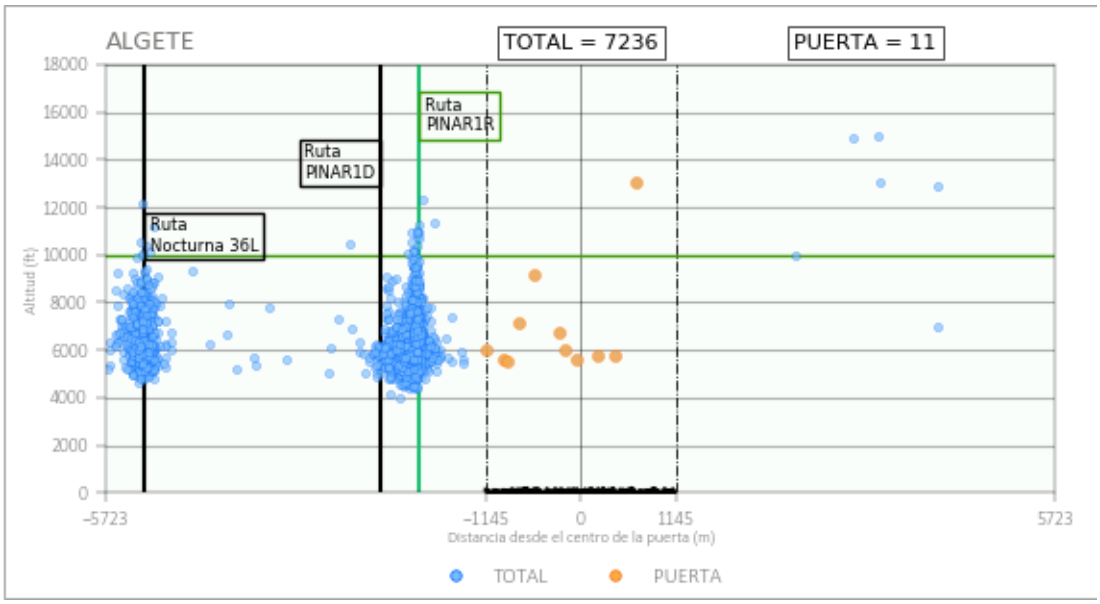
ALGETE
TOTAL = 7236
PUERTA = 11
Ruta
PINAR1R
Ruta
PINAR1D
Ruta
Nocturna 36L
Altitud (ft)
18000
16000
14000
12000
10000
8000
6000
4000
2000
0
-5723
-1145
0
1145
5723
Distancia desde el centro de la puerta (m)
TOTAL
PUERTA

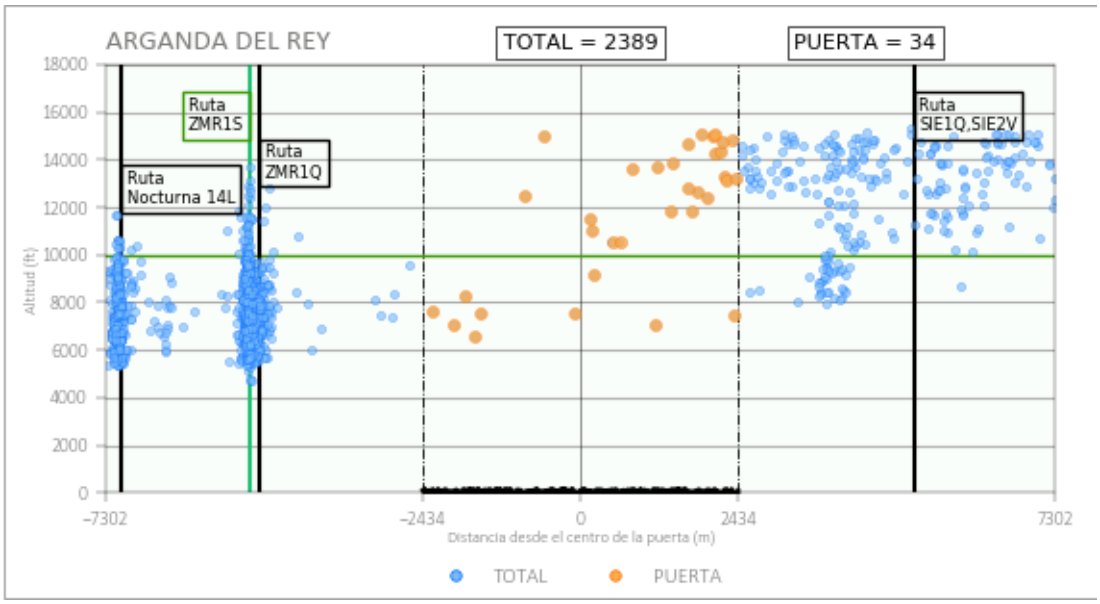
ARGANDA DEL REY
TOTAL = 2389
PUERTA = 34
Ruta ZMR1S
Ruta ZMR1Q
Ruta Nocturna 14L
Ruta SIE1Q,SIE2V
Altitud (ft)
18000
16000
14000
12000
10000
8000
6000
4000
2000
0
-7302
-2434
0
2434
7302
Distancia desde el centro de la puerta (m)
TOTAL
PUERTA

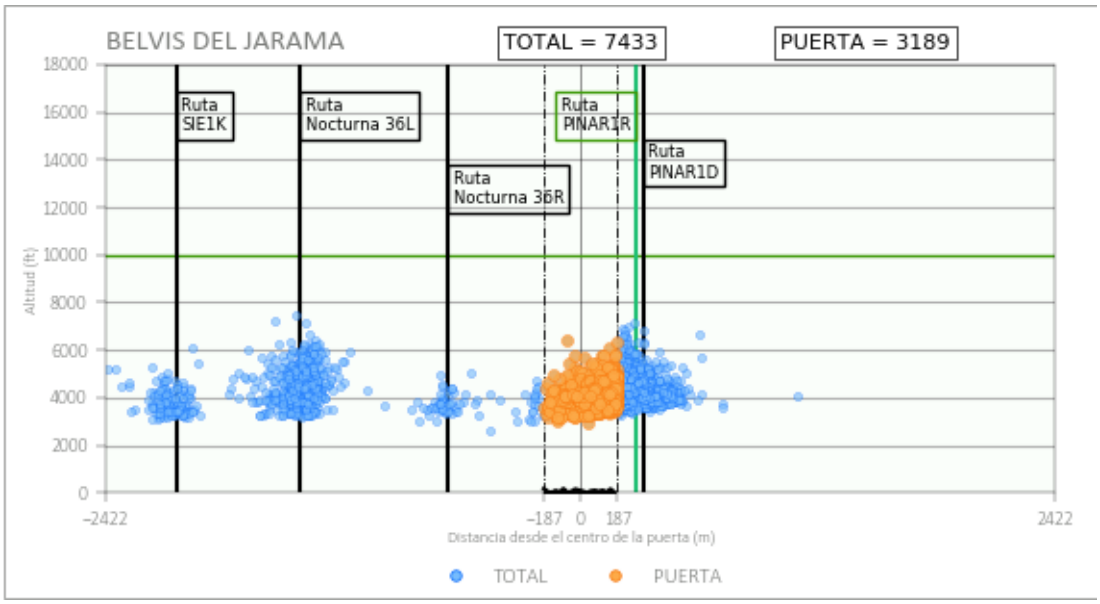
BELVIS DEL JARAMA
TOTAL = 7433
PUERTA = 3189
Ruta SIE1K
Ruta Nocturna 36L
Ruta Nocturna 36R
Ruta PINAR1R
Ruta PINAR1D
Altitud (ft)
18000
16000
14000
12000
10000
8000
6000
4000
2000
0
-2422
-187
0
187
2422
Distancia desde el centro de la puerta (m)
TOTAL
PUERTA

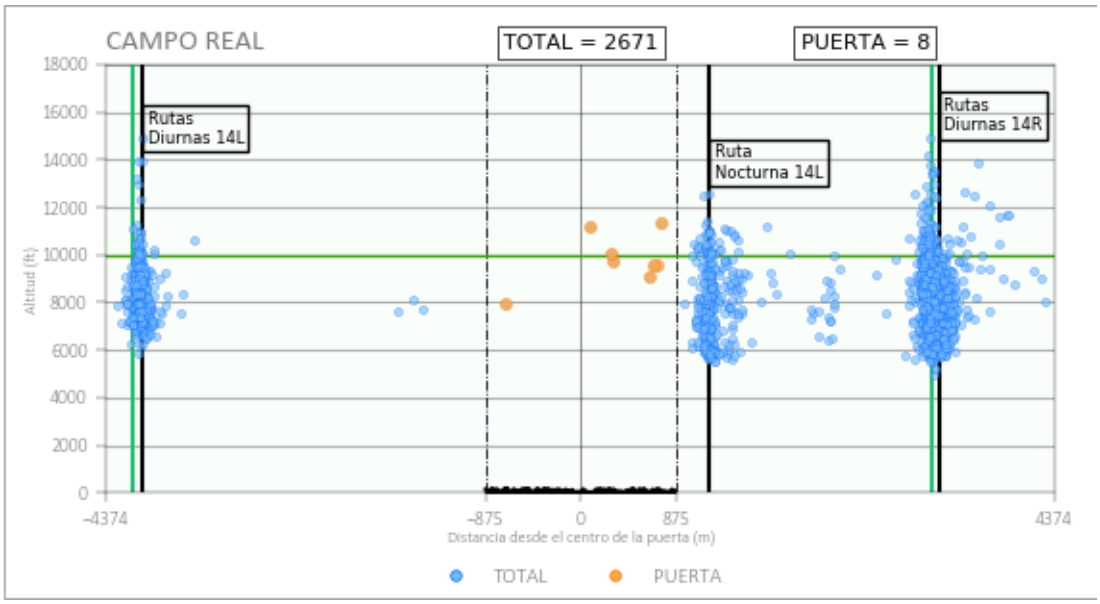
CAMPO REAL
TOTAL = 2671
PUERTA = 8
Rutas Diurnas 14L
Ruta Nocturna 14L
Rutas Diurnas 14R
Altitud (ft)
18000
16000
14000
12000
10000
8000
6000
4000
2000
0
-4374
-875
0
875
4374
Distancia desde el centro de la puerta (m)
TOTAL
PUERTA

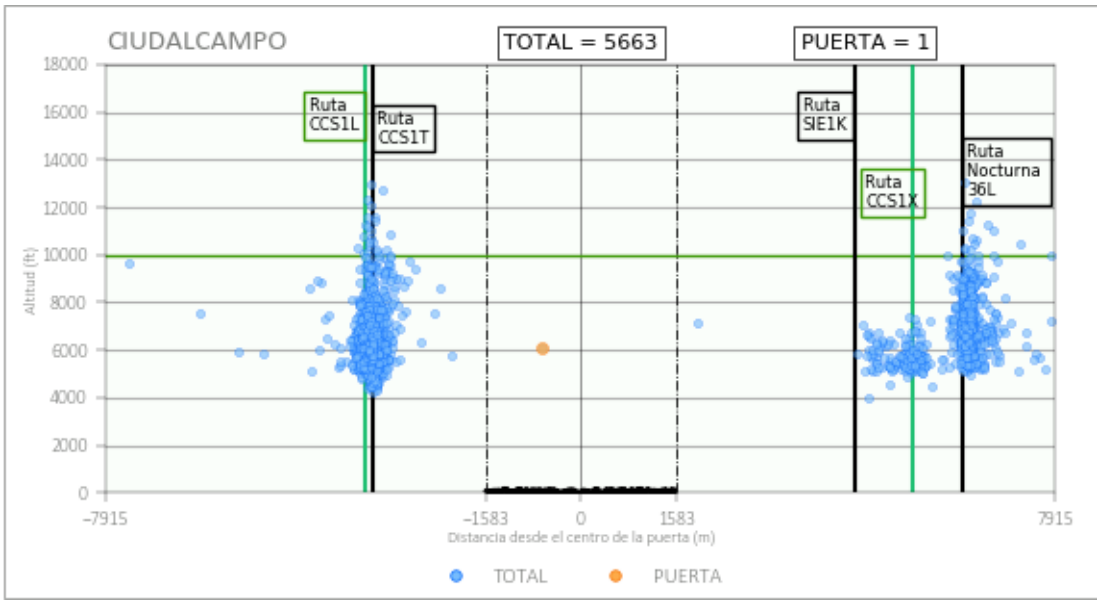
CIUDALCAMPO
TOTAL = 5663
PUERTA = 1
Ruta CCS1L
Ruta CCS1T
Ruta SIE1K
Ruta CCS1X
Ruta Nocturna 36L
Altitud (ft)
18000
16000
14000
12000
10000
8000
6000
4000
2000
0
-7915
-1583
0
1583
7915
Distancia desde el centro de la puerta (m)
TOTAL
PUERTA

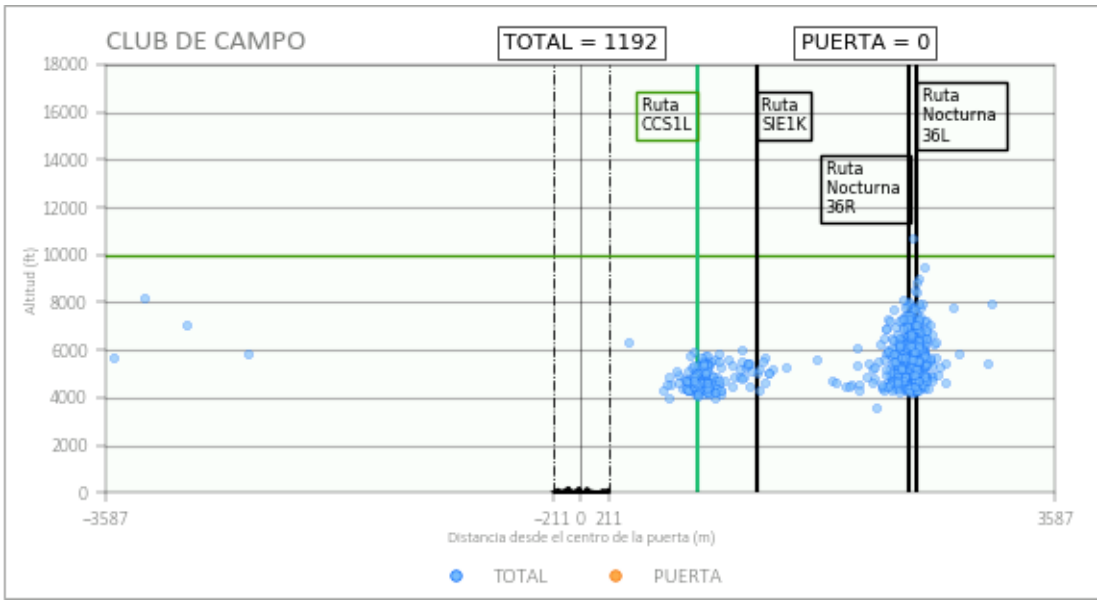
CLUB DE CAMPO
TOTAL = 1192
PUERTA = 0
Ruta CCS1L
Ruta SIE1K
Ruta Nocturna 36L
Ruta Nocturna 36R
Altitud (ft)
18000
16000
14000
12000
10000
8000
6000
4000
2000
0
-3587
-211 0 211
3587
Distancia desde el centro de la puerta (m)
TOTAL
PUERTA

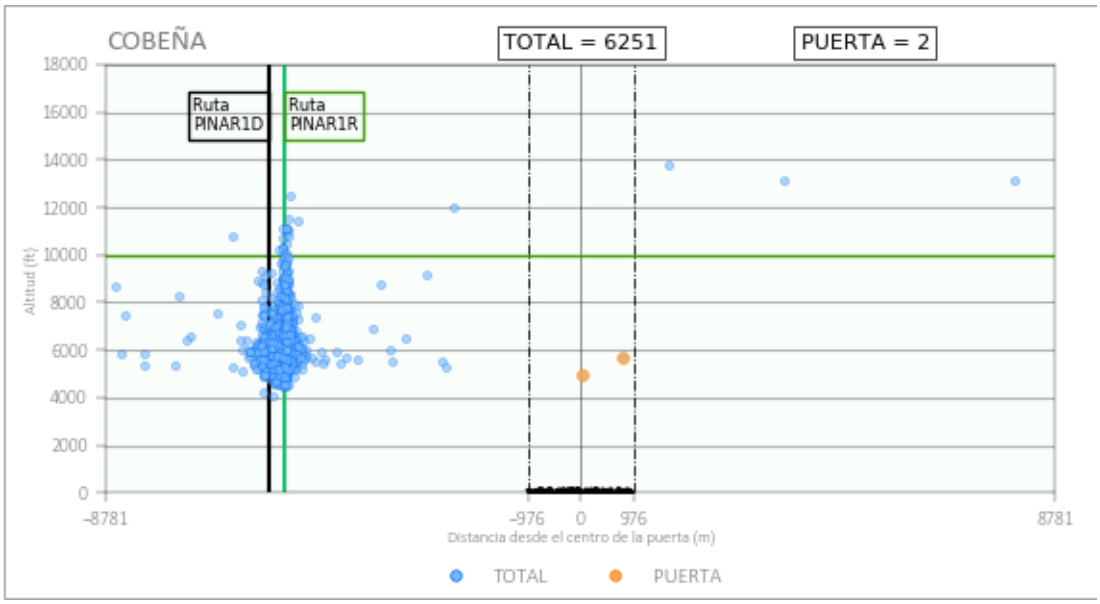
COBEÑA
TOTAL = 6251
PUERTA = 2
Ruta PINAR1D
Ruta PINAR1R
18000
16000
14000
12000
10000
8000
6000
4000
2000
0
Altitud (ft)
-8781
-976
0
976
8781
Distancia desde el centro de la puerta (m)
TOTAL
PUERTA

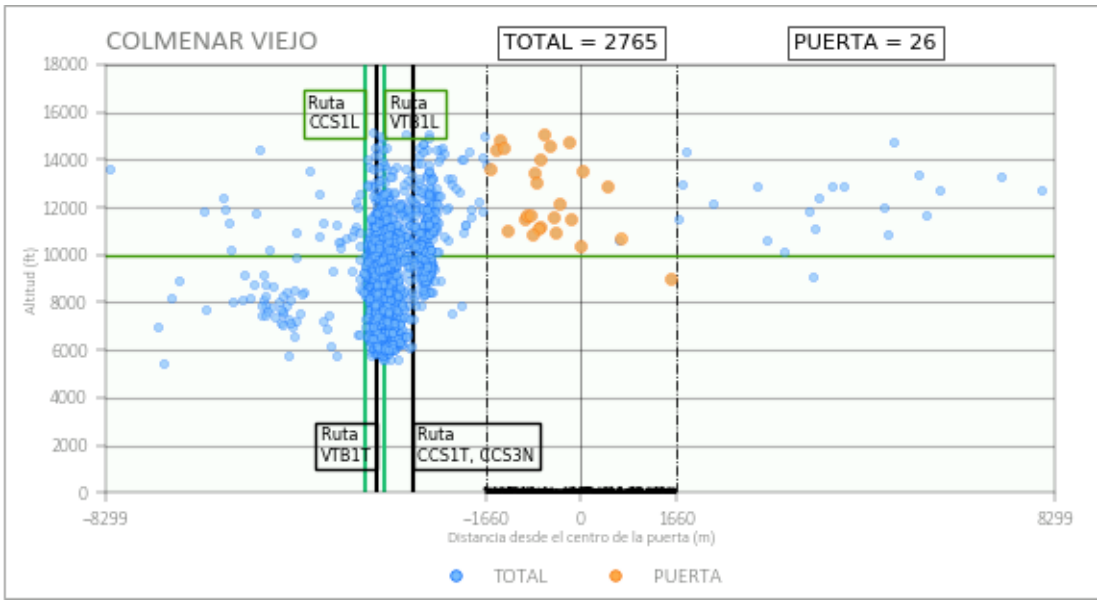
COLMENAR VIEJO
TOTAL = 2765
PUERTA = 26
Ruta CCS1L
Ruta VTB1L
Ruta VTB1T
Ruta CCS1T, CCS3N
Altitud (ft)
18000
16000
14000
12000
10000
8000
6000
4000
2000
0
-8299
-1660
0
1660
8299
Distancia desde el centro de la puerta (m)
TOTAL
PUERTA

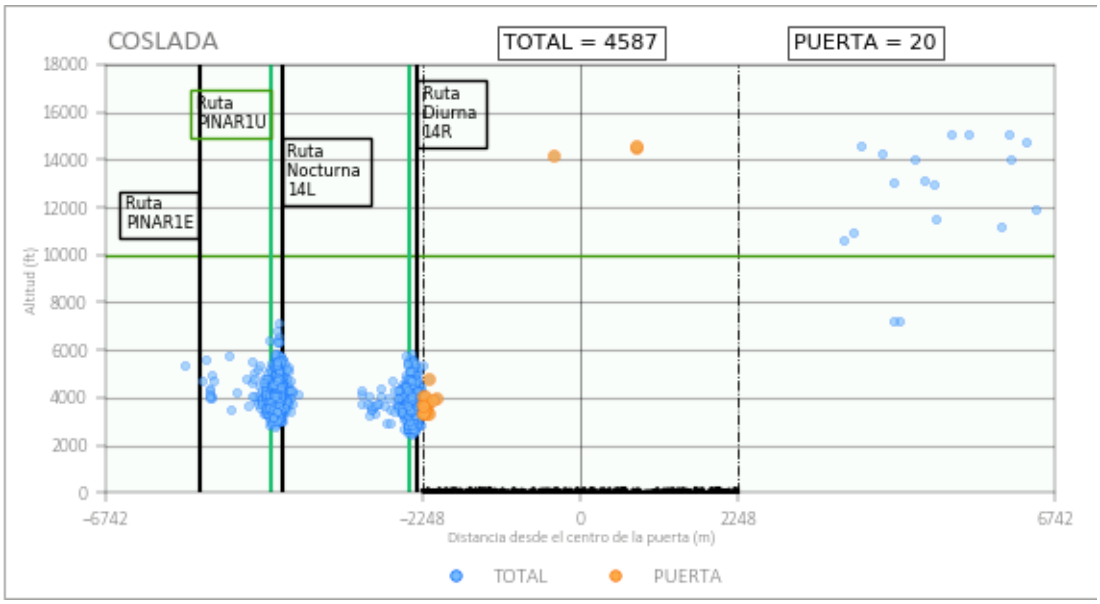
COSLADA
TOTAL = 4587
PUERTA = 20
Ruta PINAR1U
Ruta Nocturna 14L
Ruta Diurna 14R
Ruta PINAR1E
Altitud (ft)
18000
16000
14000
12000
10000
8000
6000
4000
2000
0
-6742
-2248
0
2248
6742
Distancia desde el centro de la puerta (m)
TOTAL
PUERTA

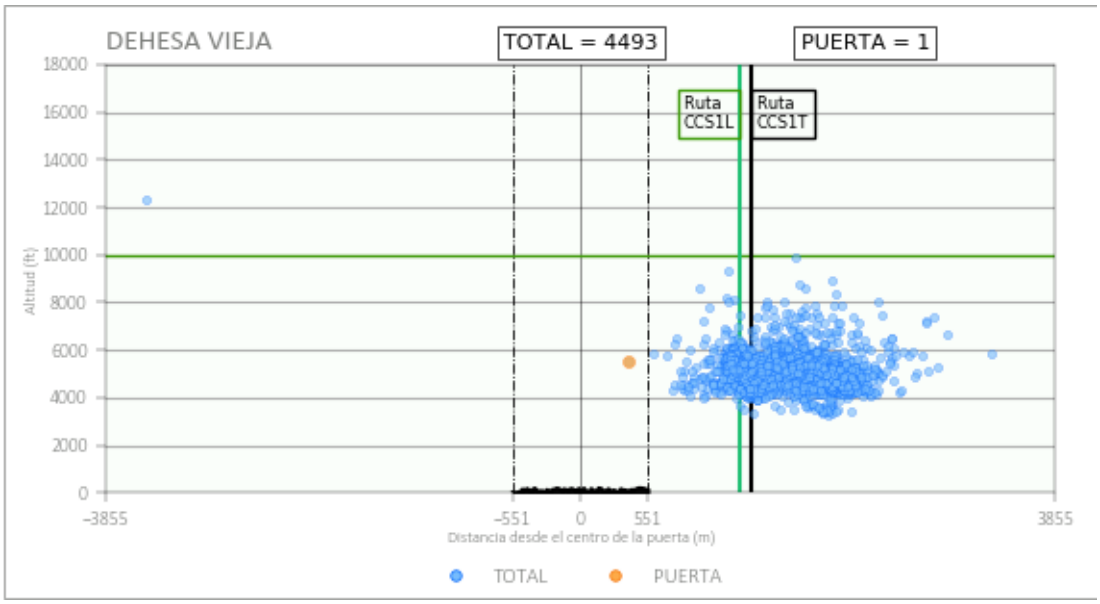
DEHESA VIEJA
TOTAL = 4493
PUERTA = 1
Ruta CCS1L
Ruta CCS1T
18000
16000
14000
12000
10000
8000
6000
4000
2000
0
Altitud (ft)
-3855
-551
0
551
3855
Distancia desde el centro de la puerta (m)
TOTAL
PUERTA

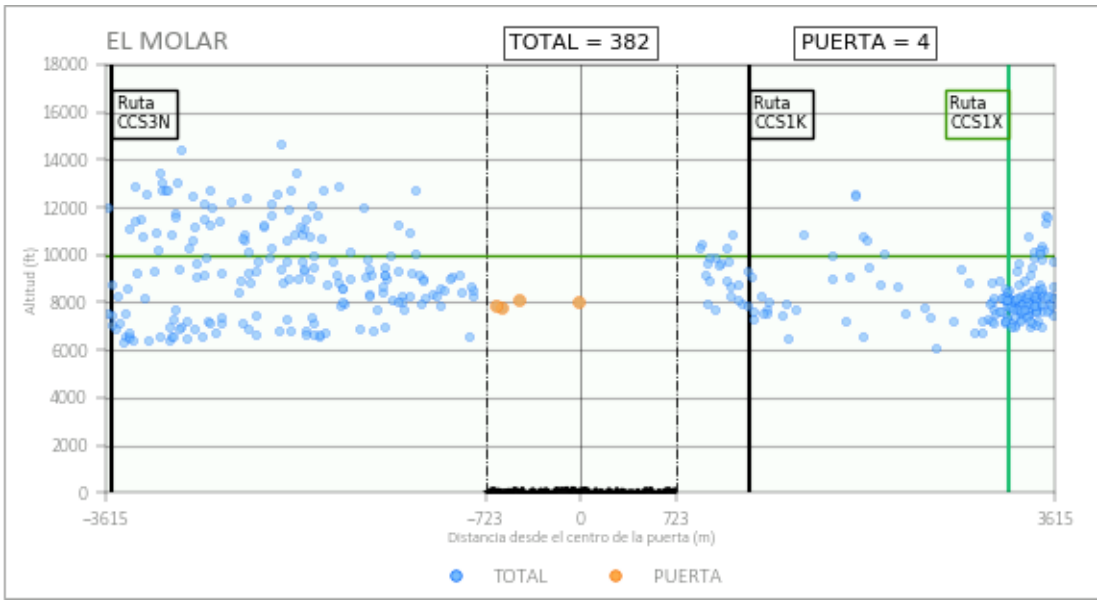
EL MOLAR
TOTAL = 382
PUERTA = 4
Ruta CCS3N
Ruta CCS1K
Ruta CCS1X
18000
16000
14000
12000
10000
8000
6000
4000
2000
0
Altitud (ft)
-3615
-723
0
723
3615
Distancia desde el centro de la puerta (m)
TOTAL
PUERTA

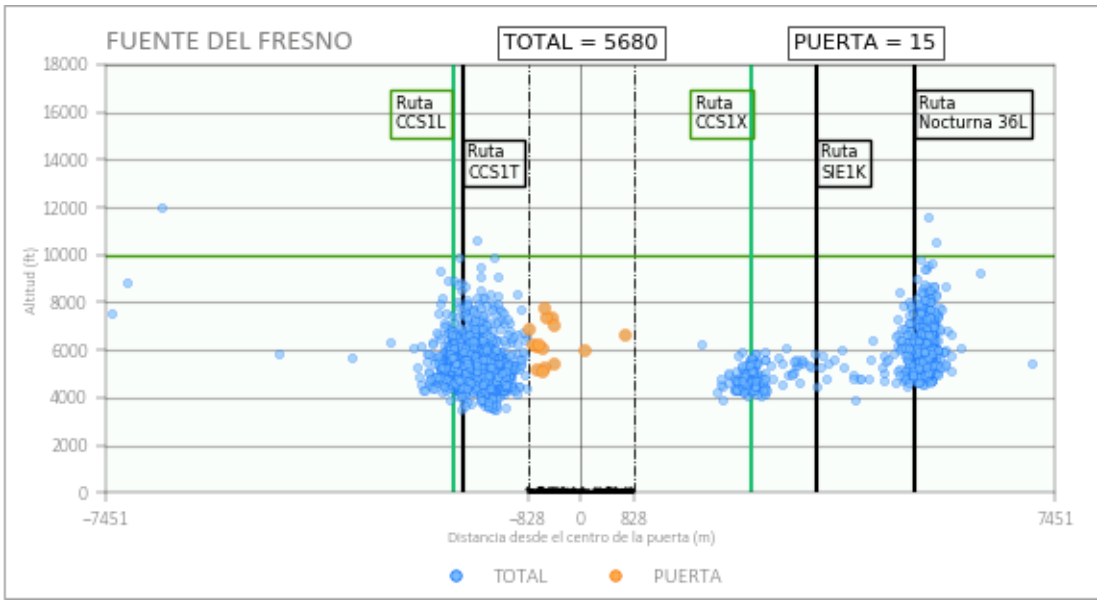
FUENTE DEL FRESNO
TOTAL = 5680
PUERTA = 15
Ruta CCS1L
Ruta CCS1T
Ruta CCS1X
Ruta SIE1K
Ruta Nocturna 36L
18000
16000
14000
12000
10000
8000
6000
4000
2000
0
Altitud (ft)
-7451
-828
0
828
7451
Distancia desde el centro de la puerta (m)
TOTAL
PUERTA

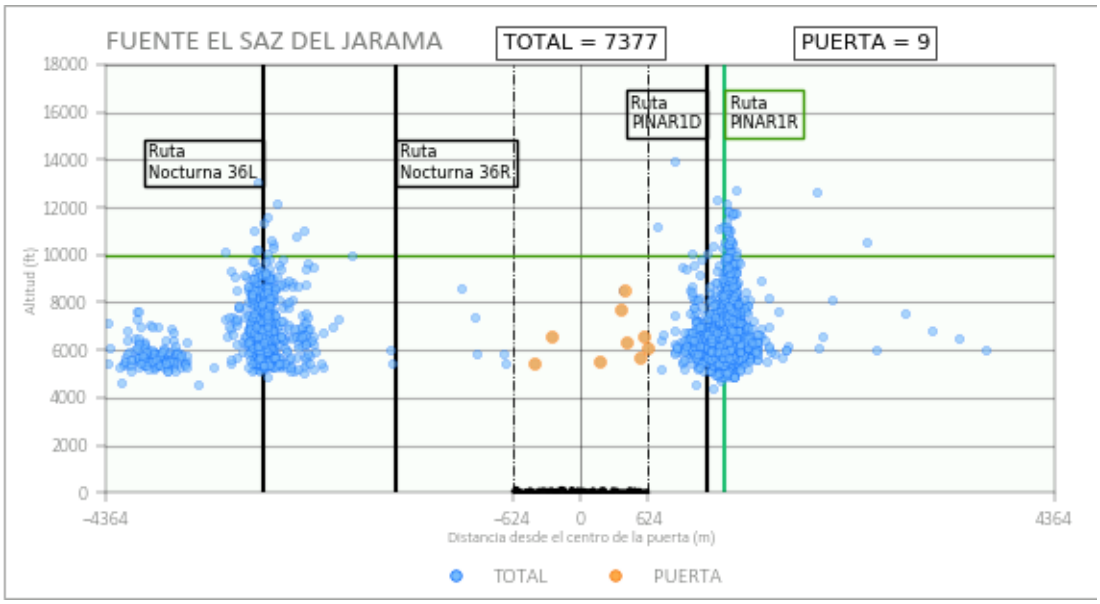
FUENTE EL SAZ DEL JARAMA
TOTAL = 7377
PUERTA = 9
Ruta Nocturna 36L
Ruta Nocturna 36R
Ruta PINAR1D
Ruta PINAR1R
Altitud (ft)
18000
16000
14000
12000
10000
8000
6000
4000
2000
0
-4364
-624
0
624
4364
Distancia desde el centro de la puerta (m)
TOTAL
PUERTA

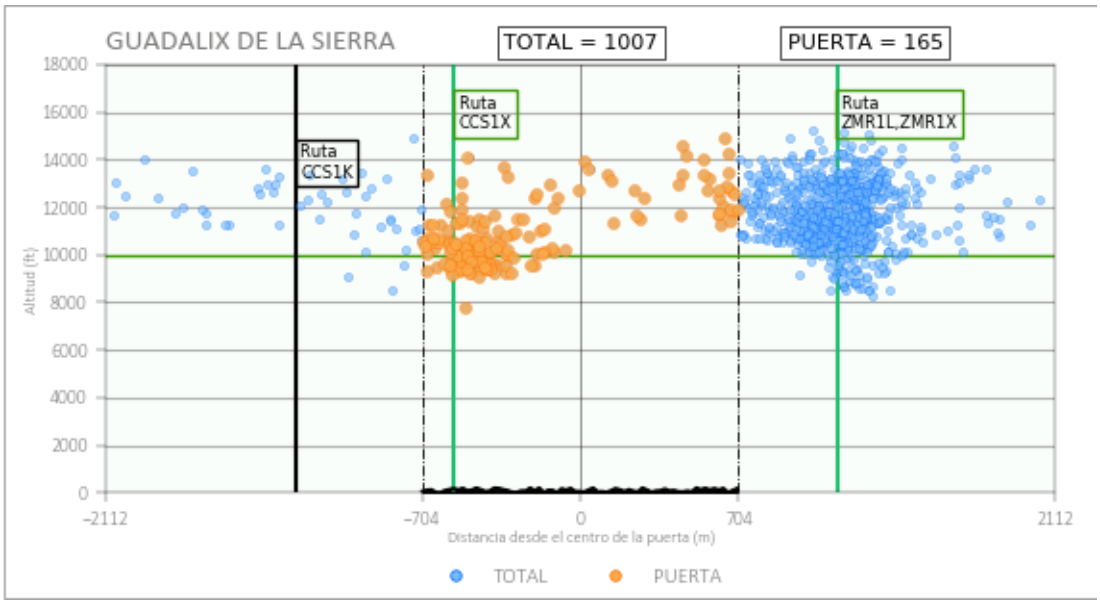
GUADALIX DE LA SIERRA
TOTAL = 1007
PUERTA = 165
Ruta CCS1K
Ruta CCS1X
Ruta ZMR1L,ZMR1X
Altitud (ft)
18000
16000
14000
12000
10000
8000
6000
4000
2000
0
-2112
-704
0
704
2112
Distancia desde el centro de la puerta (m)
TOTAL
PUERTA

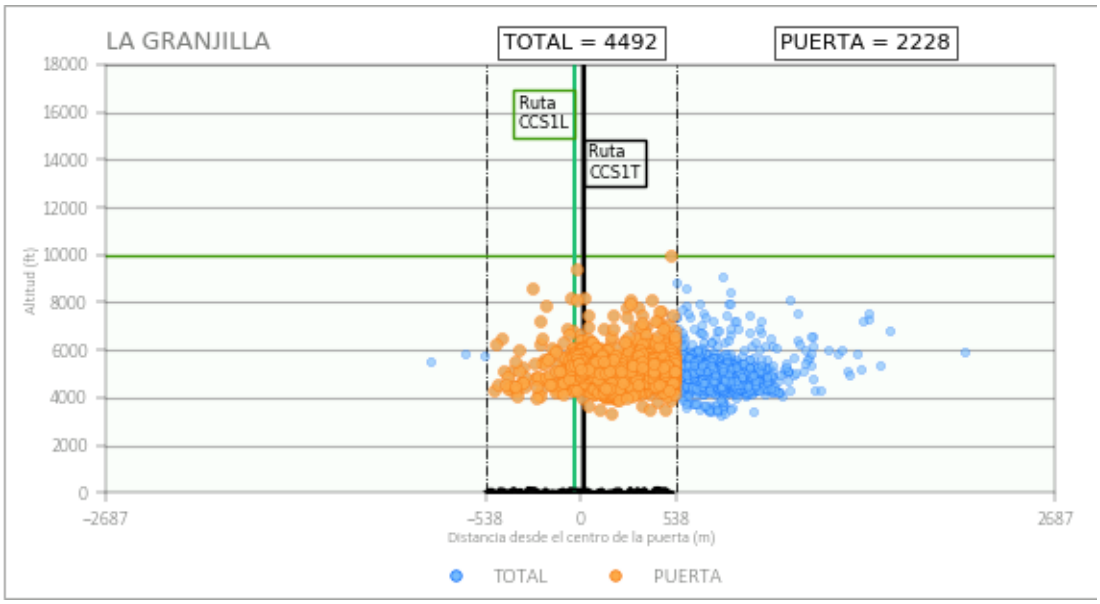
LA GRANJILLA
TOTAL = 4492
PUERTA = 2228
Ruta CCS1L
Ruta CCS1T
18000
16000
14000
12000
10000
8000
6000
4000
2000
0
Altitud (ft)
-2687
-538
0
538
2687
Distancia desde el centro de la puerta (m)
TOTAL
PUERTA

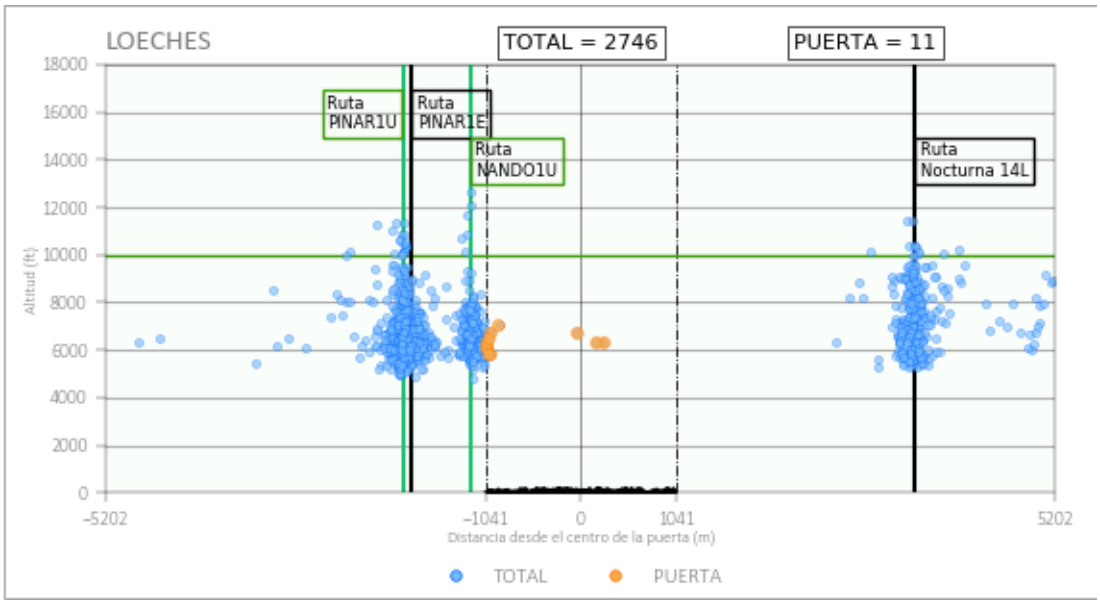
LOECHES
TOTAL = 2746
PUERTA = 11
Ruta PINAR1U
Ruta PINAR1E
Ruta NANDO1U
Ruta Nocturna 14L
Altitud (ft)
18000
16000
14000
12000
10000
8000
6000
4000
2000
0
-5202
-1041
0
1041
5202
Distancia desde el centro de la puerta (m)
TOTAL
PUERTA

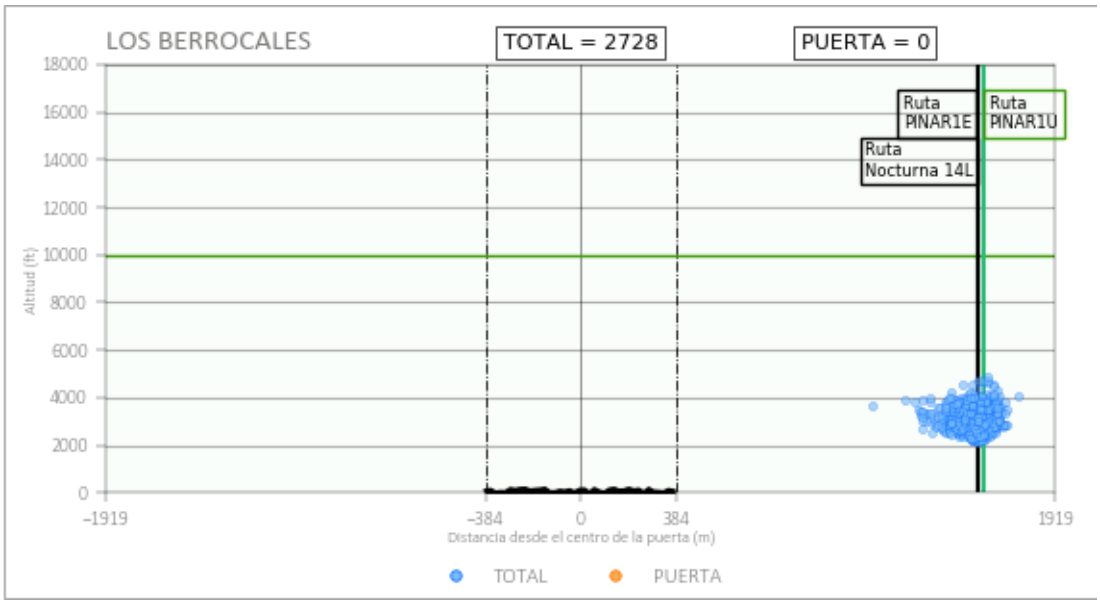
LOS BERROCALES
TOTAL = 2728
PUERTA = 0
Ruta PINAR1E
Ruta PINAR1U
Ruta Nocturna 14L
18000
16000
14000
12000
10000
8000
6000
4000
2000
0
Altitud (ft)
-1919
-384
0
384
1919
Distancia desde el centro de la puerta (m)
TOTAL
PUERTA

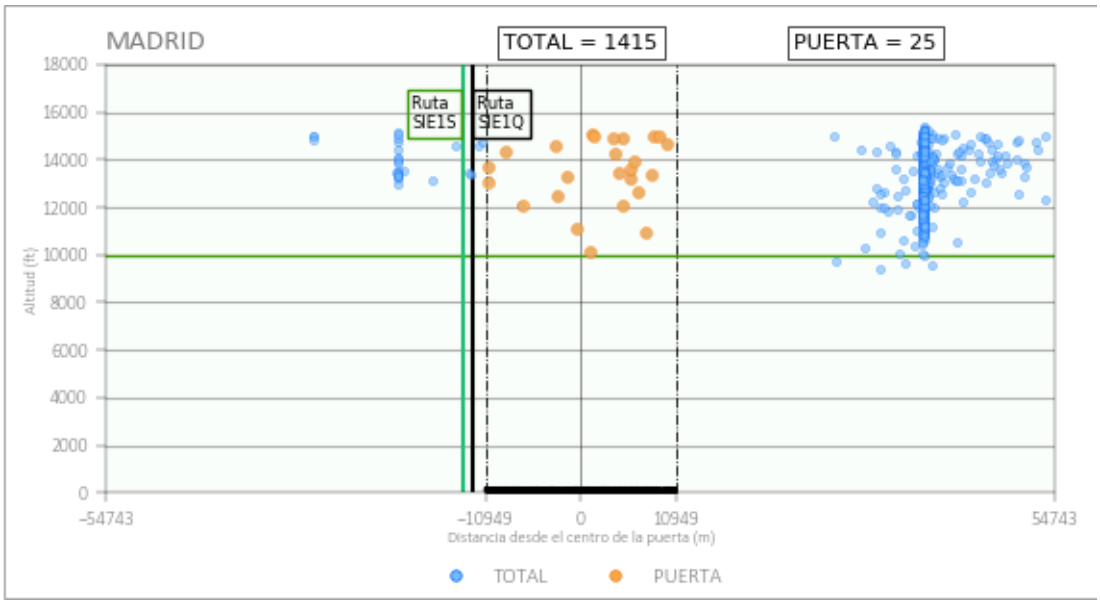
MADRID
TOTAL = 1415
PUERTA = 25
Ruta SIE1S
Ruta SIE1Q
18000
16000
14000
12000
10000
8000
6000
4000
2000
0
Altitud (ft)
-54743
-10949
0
10949
54743
Distancia desde el centro de la puerta (m)
TOTAL
PUERTA

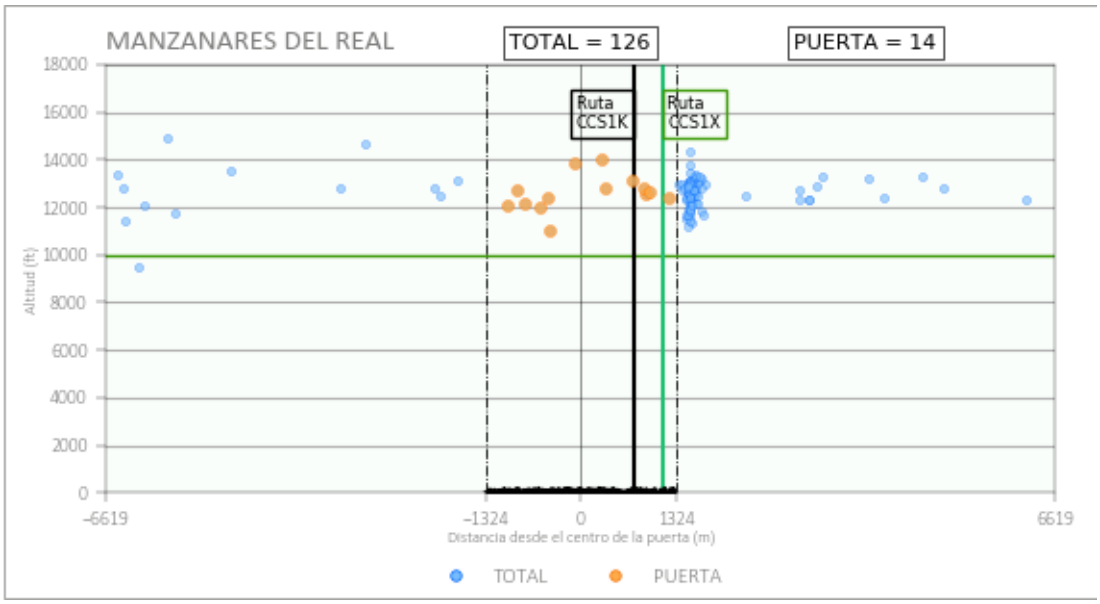
MANZANARES DEL REAL
TOTAL = 126
PUERTA = 14
Ruta CCS1K
Ruta CCS1X
18000
16000
14000
12000
10000
8000
6000
4000
2000
0
Altitud (ft)
-6619
-1324
0
1324
6619
Distancia desde el centro de la puerta (m)
TOTAL
PUERTA

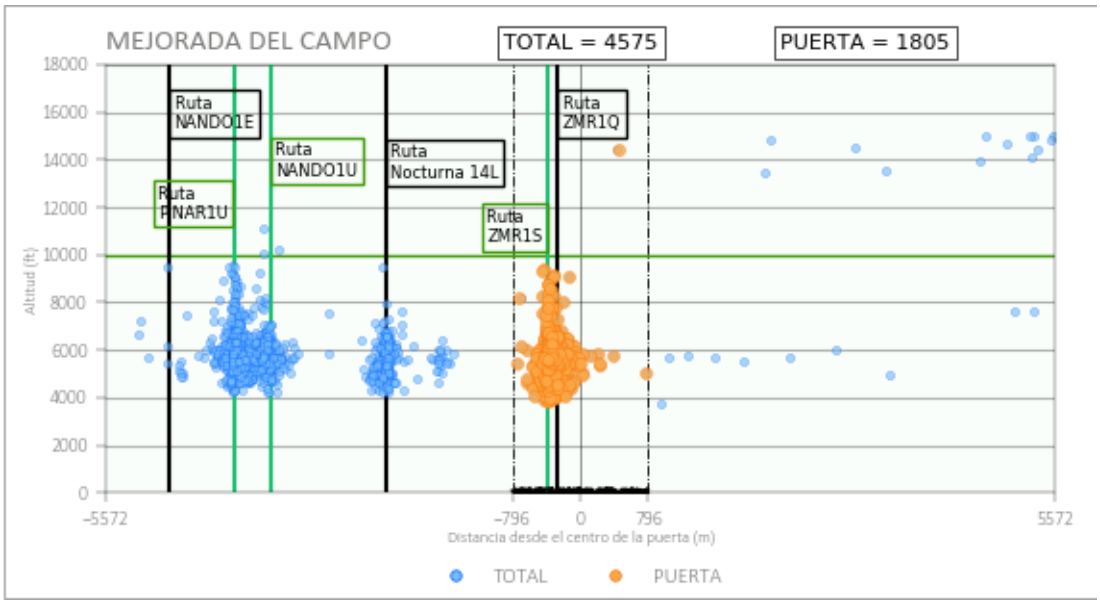
MEJORADA DEL CAMPO
TOTAL = 4575
PUERTA = 1805
Ruta NANDO1E
Ruta NANDO1U
Ruta Nocturna 14L
Ruta ZMR1Q
Ruta PNAR1U
Rutta ZMR1S
18000
16000
14000
12000
10000
8000
6000
4000
2000
0
Altitud (ft)
-5572
-796
0
796
5572
Distancia desde el centro de la puerta (m)
TOTAL
PUERTA

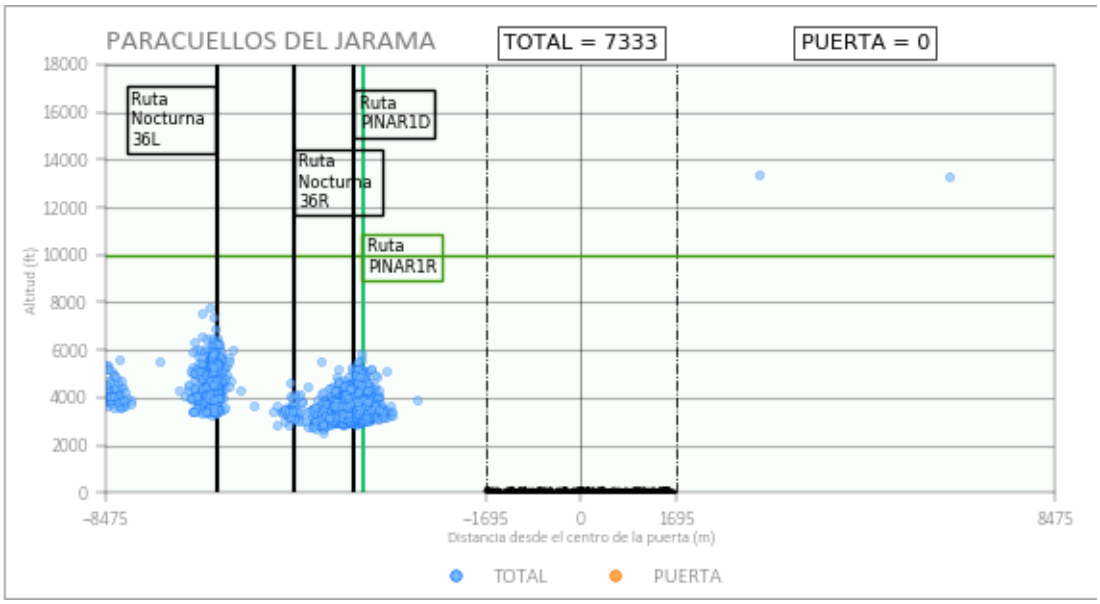
PARACUELLOS DEL JARAMA
TOTAL = 7333
PUERTA = 0
Ruta Nocturna 36L
Ruta Nocturna 36R
Ruta PINAR1D
Ruta PINAR1R
Altitud (ft)
18000
16000
14000
12000
10000
8000
6000
4000
2000
0
-8475
-1695
0
1695
8475
Distancia desde el centro de la puerta (m)
TOTAL
PUERTA

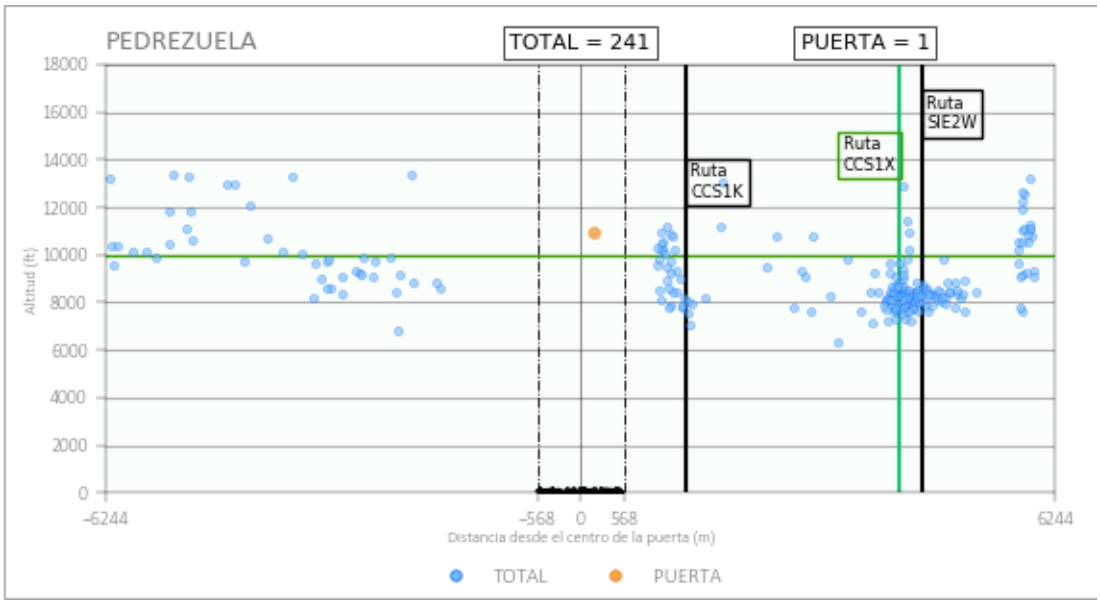
PEDREZUELA
TOTAL = 241
PUERTA = 1
Ruta CCS1K
Ruta CCS1X
Ruta SIE2W
Altitud (ft)
18000
16000
14000
12000
10000
8000
6000
4000
2000
0
-6244
-568
0
568
6244
Distancia desde el centro de la puerta (m)
TOTAL
PUERTA

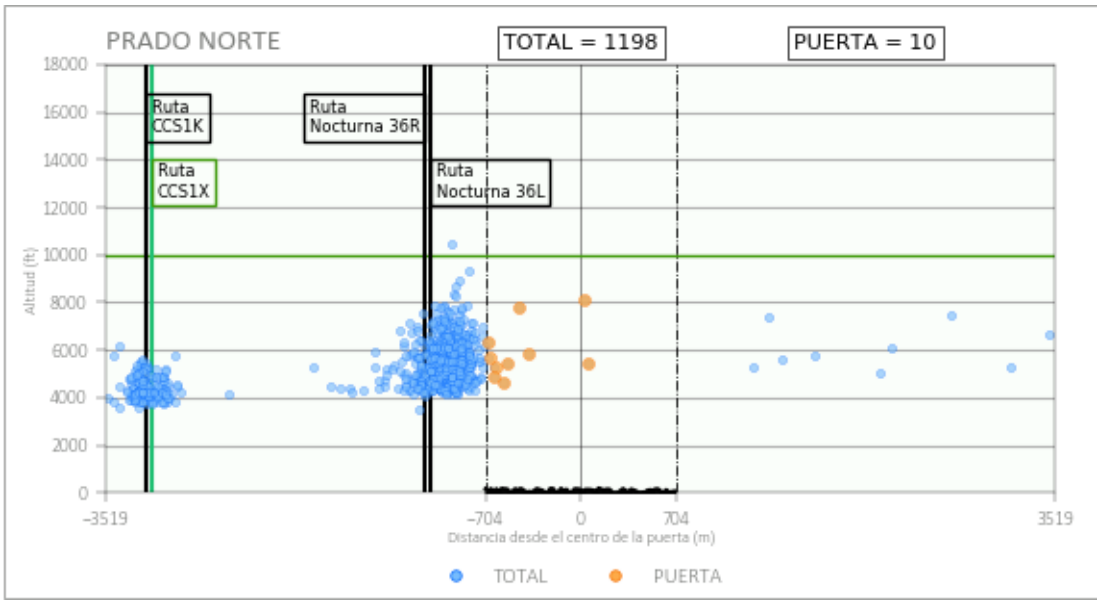
PRADO NORTE
TOTAL = 1198
PUERTA = 10
Ruta CCS1K
Ruta CCS1X
Ruta Nocturna 36R
Ruta Nocturna 36L
Altitud (ft)
18000
16000
14000
12000
10000
8000
6000
4000
2000
0
-3519
-704
0
704
3519
Distancia desde el centro de la puerta (m)
TOTAL
PUERTA

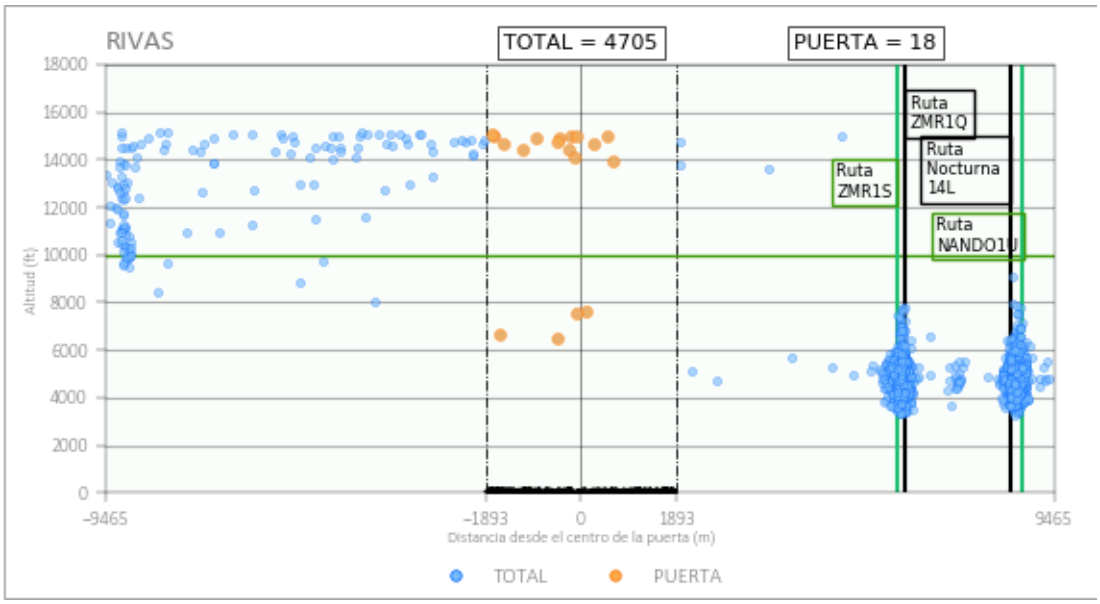
RIVAS
TOTAL = 4705
PUERTA = 18
Ruta ZMR1Q
Ruta Nocturna 14L
Ruta ZMR1S
Ruta NANDO1U
18000
16000
14000
12000
10000
8000
6000
4000
2000
0
Altitud (ft)
-9465
-1893
0
1893
9465
Distancia desde el centro de la puerta (m)
TOTAL
PUERTA

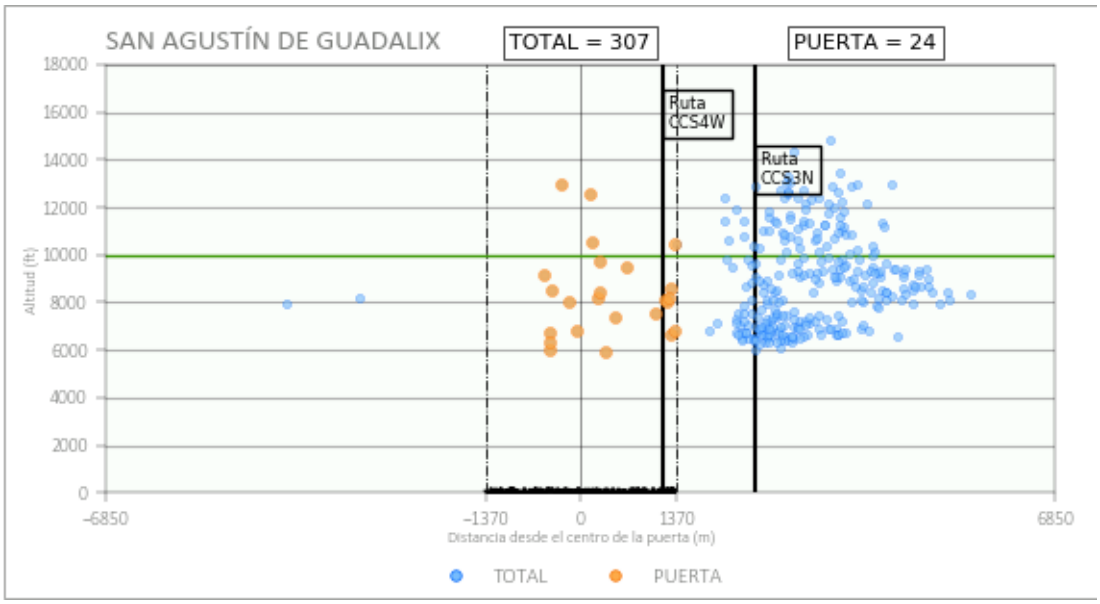
SAN AGUSTÍN DE GUADALIX
TOTAL = 307
PUERTA = 24
Ruta CCS4W
Ruta CCS3N
Altitud (ft)
18000
16000
14000
12000
10000
8000
6000
4000
2000
0
-6850
-1370
0
1370
6850
Distancia desde el centro de la puerta (m)
TOTAL
PUERTA

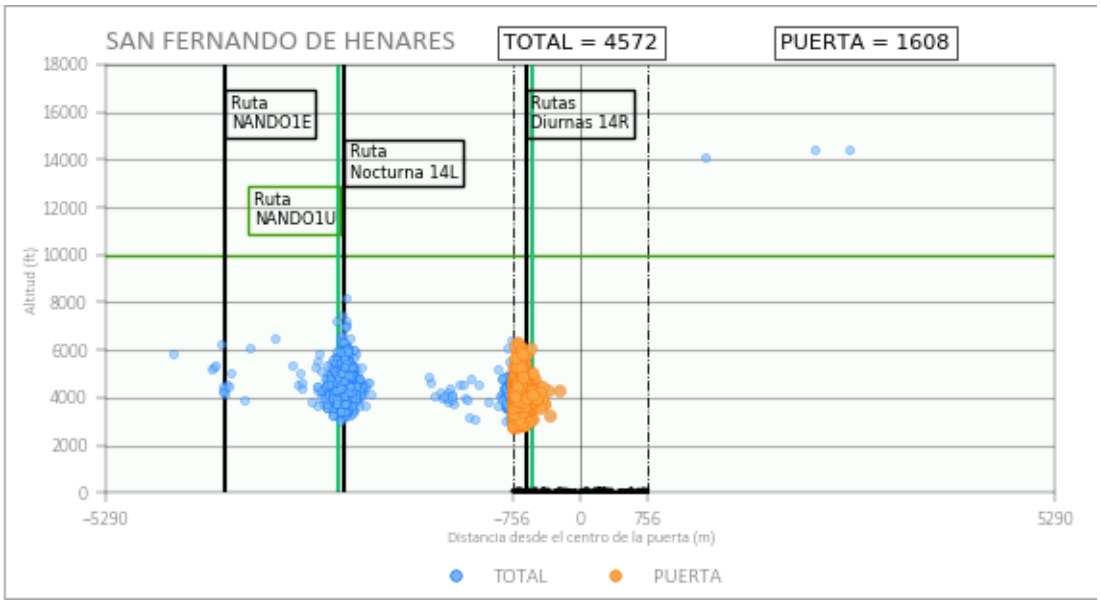
SAN FERNANDO DE HENARES
TOTAL = 4572
PUERTA = 1608
Ruta NANDO1E
Ruta Nocturna 14L
Ruta NANDO1U
Rutas Diurnas 14R
Altitud (ft)
18000
16000
14000
12000
10000
8000
6000
4000
2000
0
-5290
-756
0
756
5290
Distancia desde el centro de la puerta (m)
TOTAL
PUERTA

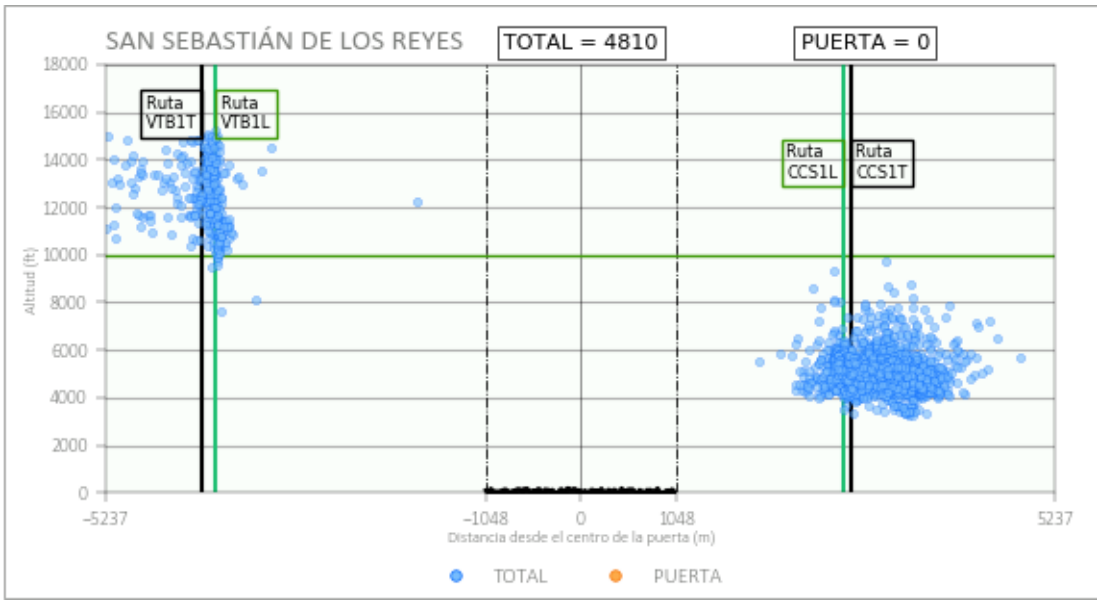
SAN SEBASTIÁN DE LOS REYES
TOTAL = 4810
PUERTA = 0
Ruta VTB1T
Ruta VTB1L
Ruta CCS1L
Ruta CCS1T
Altitud (ft)
18000
16000
14000
12000
10000
8000
6000
4000
2000
0
-5237
-1048
0
1048
5237
Distancia desde el centro de la puerta (m)
TOTAL
PUERTA

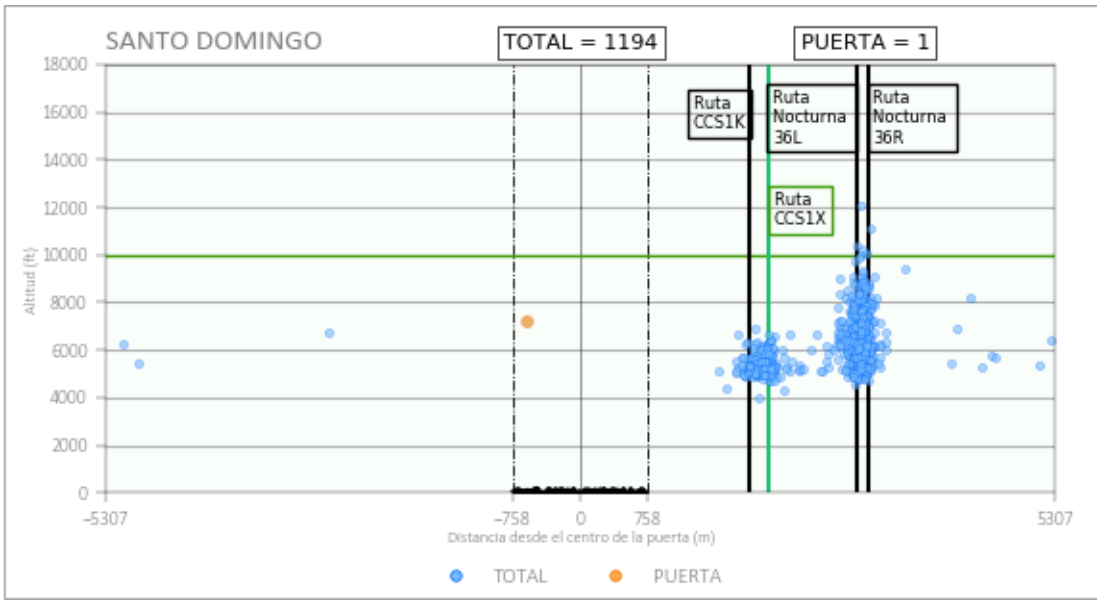
SANTO DOMINGO
TOTAL = 1194
PUERTA = 1
Ruta CCS1K
Ruta Nocturna 36L
Ruta Nocturna 36R
Ruta CCS1X
18000
16000
14000
12000
10000
8000
6000
4000
2000
0
Altitud (ft)
-5307
-758
0
758
5307
Distancia desde el centro de la puerta (m)
TOTAL
PUERTA

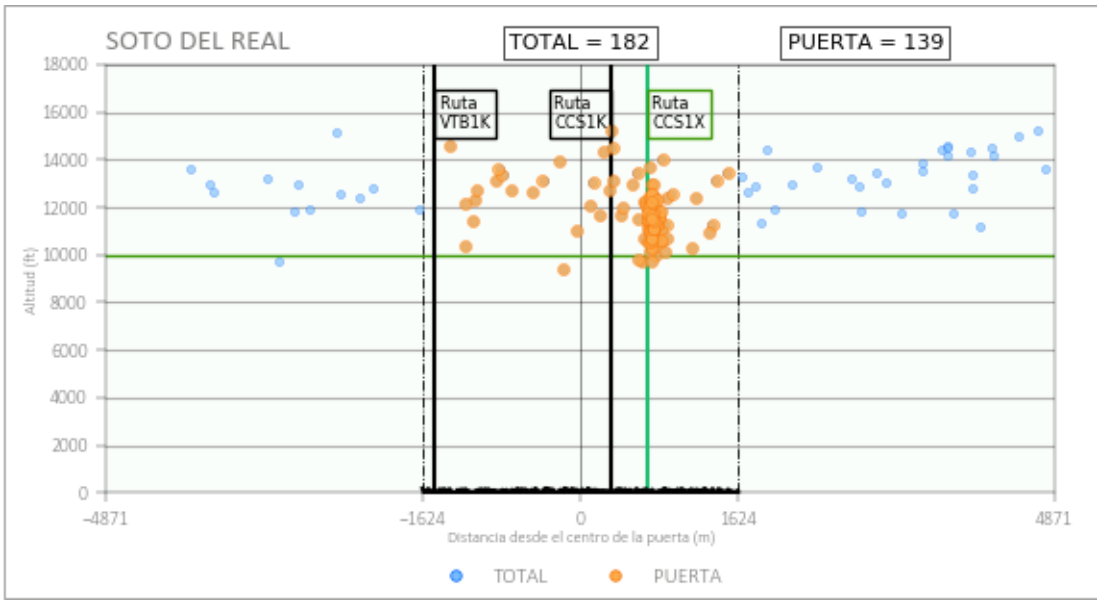
SOTO DEL REAL
TOTAL = 182
PUERTA = 139
Ruta VTB1K
Ruta CCS1K
Ruta CCS1X
18000
16000
14000
12000
10000
8000
6000
4000
2000
0
Altitud (ft)
-4871
-1624
0
1624
4871
Distancia desde el centro de la puerta (m)
TOTAL
PUERTA

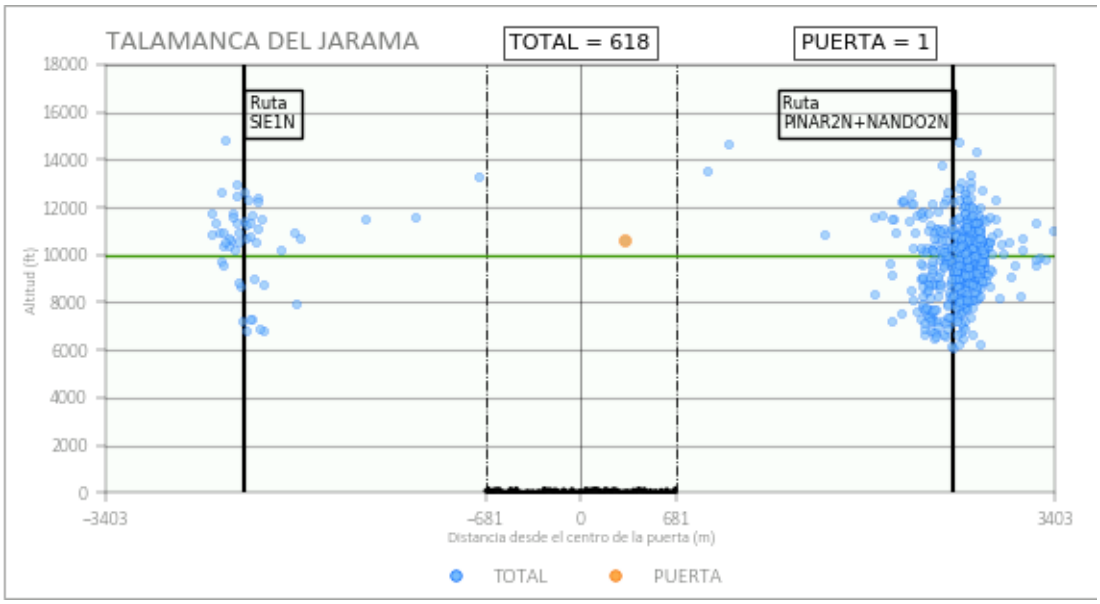
TALAMANCA DEL JARAMA
TOTAL = 618
PUERTA = 1
Ruta SIE1N
Ruta PINAR2N+NANDO2N
Altitud (ft)
18000
16000
14000
12000
10000
8000
6000
4000
2000
0
-3403
-681
0
681
3403
Distancia desde el centro de la puerta (m)
TOTAL
PUERTA

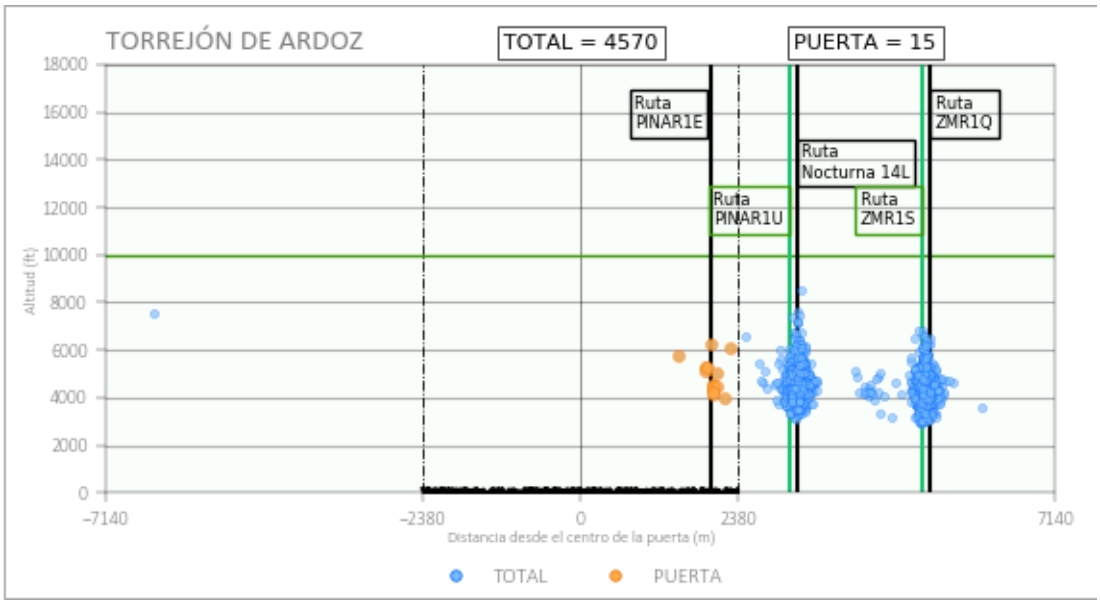
TORREJÓN DE ARDOZ
TOTAL = 4570
PUERTA = 15
Ruta PINAR1E
Ruta PINAR1U
Ruta Nocturna 14L
Ruta ZMR1S
Ruta ZMR1Q
Altitud (ft)
18000
16000
14000
12000
10000
8000
6000
4000
2000
0
-7140
-2380
0
2380
7140
Distancia desde el centro de la puerta (m)
TOTAL
PUERTA

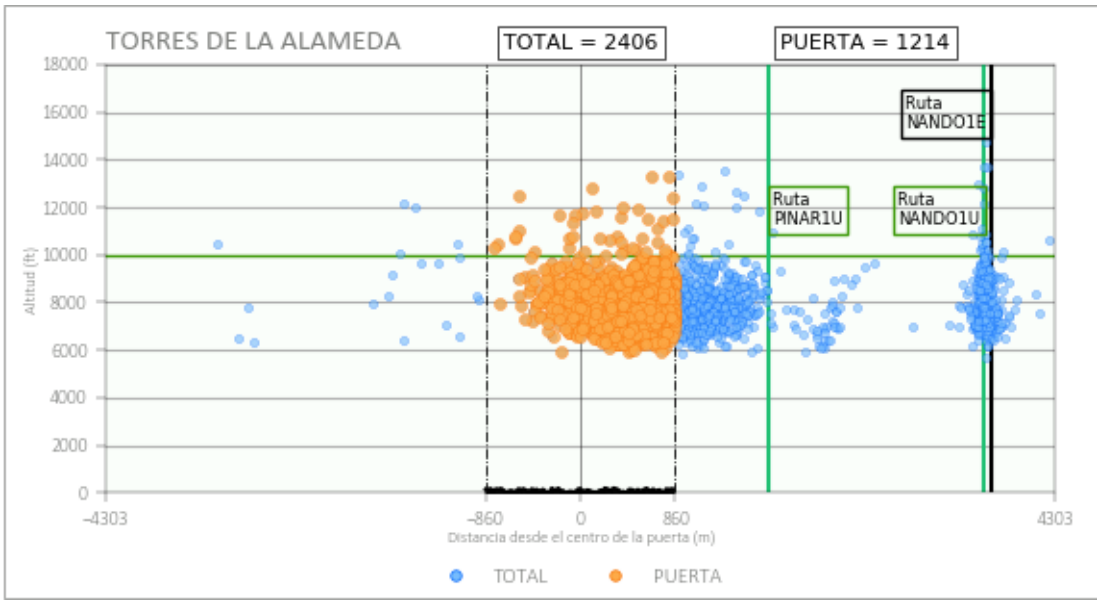
TORRES DE LA ALAMEDA
TOTAL = 2406
PUERTA = 1214
Ruta NANDO1E
Ruta PINAR1U
Ruta NANDO1U
Altitud (ft)
18000
16000
14000
12000
10000
8000
6000
4000
2000
0
-4303
-860
0
860
4303
Distancia desde el centro de la puerta (m)
TOTAL
PUERTA

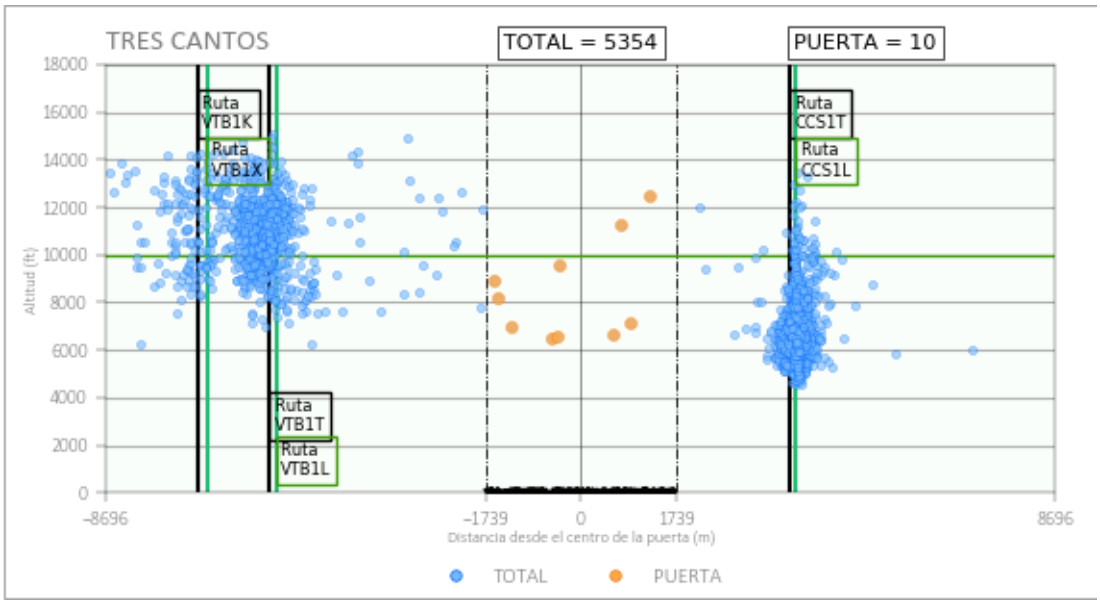
TRES CANTOS
TOTAL = 5354
PUERTA = 10
Ruta VTB1K
Ruta VTB1X
Ruta VTB1T
Ruta VTB1L
Ruta CCS1T
Ruta CCS1L
Altitud (ft)
18000
16000
14000
12000
10000
8000
6000
4000
2000
0
-8696
-1739
0
1739
8696
Distancia desde el centro de la puerta (m)
TOTAL
PUERTA

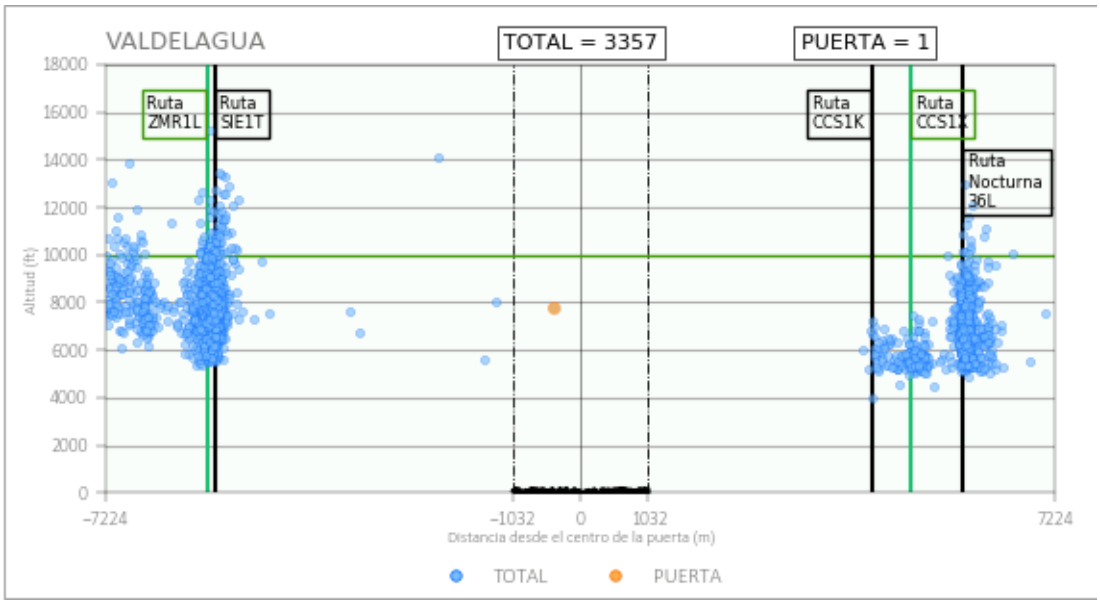
VALDELAGUA
TOTAL = 3357
PUERTA = 1
Ruta ZMR1L
Ruta SIE1T
Ruta CCS1K
Ruta CCS1X
Ruta Nocturna 36L
Altitud (ft)
18000
16000
14000
12000
10000
8000
6000
4000
2000
0
-7224
-1032
0
1032
7224
Distancia desde el centro de la puerta (m)
TOTAL
PUERTA

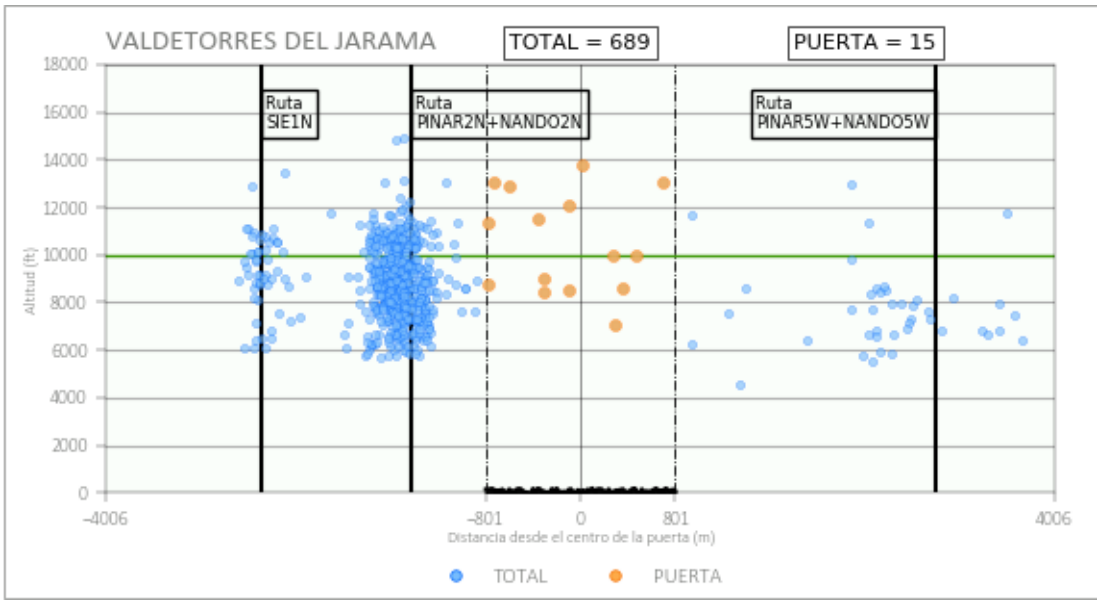
VALDETORRES DEL JARAMA
TOTAL = 689
PUERTA = 15
Ruta SIE1N
Ruta PINAR2N+NANDO2N
Ruta PINAR5W+NANDO5W
Altitud (ft)
18000
16000
14000
12000
10000
8000
6000
4000
2000
0
-4006
-801
0
801
4006
Distancia desde el centro de la puerta (m)
TOTAL
PUERTA

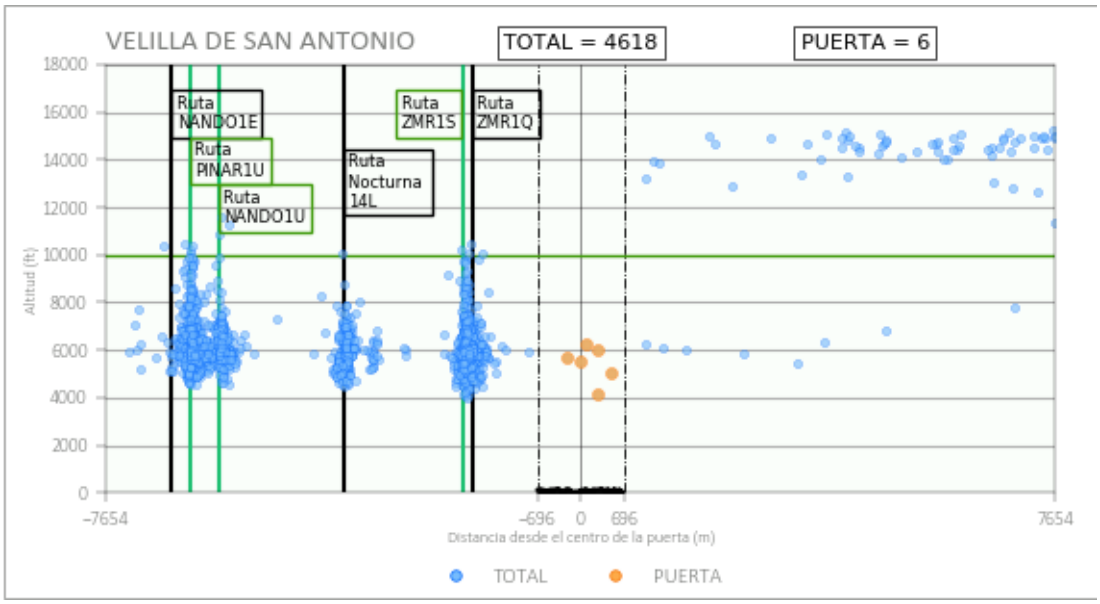

La reproducción total o parcial de este documento no está permitida en ningún formato, físico o electrónico, sin la autorización previa y por escrito del Laboratorio de Monitorado de EMS Brüel & Kjær Ibérica, S. A.

San Sebastián de los Reyes, 01 de diciembre del 2018